







ESTUDIO GEOHIDROLÓGICO EN EL ACUÍFERO DE CHETUMAL, QUINTANA ROO

NFORME FINAL

Subcoordinación de Hidráulica Urbana - Coordinación de Hidráulica Jiutepec, Morelos

Por la Comisión de Agua Potable y Alcantarillado del Estado de Quintana Roo (CAPA)

Othón P. Blanco, Quintana Roo

México 2016











CONTENIDO

| Introducción | 9 |
|---|-----------------|
| Metodología | 11 |
| Objetivos y Alcances | 13 |
| 1. RESUMEN EJECUTIVO | 15 |
| 1.1. Geofísica y Geohidrología | 15 |
| 1.2. Diagnóstico de las PTARs | 16 |
| 1.2.1. PTAR Subteniente López y Huay P <u>i</u> x | 16 |
| 1.2.2. PTAR Fovissste V Etapa | 17 |
| 1.2.3. PTAR Centenario | 18 |
| 1.3. Alcantalillado sanitario y pluvial | 19 |
| 1.3.1. Alcantarillado Sanitario | 19 |
| 1.3.2. Alcantarillado Pluvial | 20 |
| 2. INTRODUCC I ÓN | 23 |
| 2.1. Marco físico | 24 |
| 2.1.1. Fisiografía | $\overline{2}4$ |
| 2.1.2. Climatología | 25 |
| 2-1.3. Relieve y topografía | _2 7 |
| - 2.1.4. Geología | 27 |
| 2.1.5. Vegetación | 28 |
| 2.1.6. Flora | 129 |
| 2.1.7. Vías de acceso y comunicación | 29 |
| 2.1.8. Población y actividades económicas | 29 |
| 2.2. Antecedentes | 33 |
| 2.3. Zona de estudio | 36 |
| 2.4. Objetivos | 36 |
| 2.5. Alcances | 37 |
| 3. ANÁLISIS DE LA ZONA DE EST u dio | 39 |
| 3.1. Recopilación de información | 39 |
| 3.1.1. Levantamientos topográficos de la zona de estudio | 39 |
| 3.1.2. Estudios Geohidrológicos | 41 |
| 3.1.3. Infraestructura sanitaria de la ciudad de Chetumal | 53 |
| 3.1.4. Proyecto de sectores sanitarios | 56 |
| 3.2. Descripción de los recorridos de campo en la evaluación del desempeño operativo | |
| de las PTAR de la ciudad de Chetumal | 66 |
| 3.3. Descripción de los recorridos de campo en la evaluación del análisis Geohidrológico | 67 |
| 3.4. Descripción de los recorridos de campo en la evaluación del análisis sanitario y pluvial | 68 |

















| | 6.1.10. Visita técnica – evaluación in situ | 206 |
|--------------|---|------------------|
| | 6.1.11. Factores de desempeño | 219 |
| | 6.1.12. Actividades de mejora del desempeño y recomendaciones | 220 |
| | 6.1.13. Costos de inversión | 225 |
| | 6.1.14. Conclusiones de la PTAR Centenario | 226 |
| 6.2. | Planta de tratamiento de aguas residuales "Huay Pix" | 227 |
| | 6.2.1. Descripción general de la PTAR "Huay pix" | 227 |
| | 6.2.2 . Tren de Agua | 228 |
| | 6.2.3. Tren de Lodos | 233 |
| | 6.2.4. Equipo electromecáriico | 234 |
| | 6.2.5. Instalaciones civiles | 237 |
| | 6.2.6. Medición de unidades de proceso | 237 |
| | 6.2.7. Calidad del agua de la PTAR Huaypix | 239 |
| | 6.2.8. Caracterización influente = efluente 24 horas | _ 245 |
| | 6.2.9. Visita técnica – evaluación in situ | 247 |
| | 6.2.10. Factores de desempeño | 257 |
| | 6.2.11. Actividades de mejora del desempeño y lecomendaciones | 2 5 9 |
| | 6.2.12. Costos de inversión | 264 |
| | 6.2.13. Conclusiones de la PTAR Huay Pix | 265 |
| 6. 3. | Descripción general de la PTAR "Subteniente Lopez" | 265 |
| | 6.3.1. Información preliminar de la planta | 265 |
| | 6.3.2. Tren de Agua | 267 |
| + | 6.3.3. Tren de Lodos | 272'.' |
| 4 | 6.3.4. Equipo electromecánico | _ 273 |
| | 6.3.5. Instalaciones civiles | 275 |
| | 6.3.6. Medición de unidades de proceso | 278 |
| | 6.3.7. Calidad de agua | 278 |
| | 6.3.8. Caracterización influente – efluente 24 horas | - 286 |
| | 6.3.9. Visita técnica – evaluación in situ | 288 |
| | 6.3.10. Factores de desempeño | 299 |
| | 6.3.11. Actividades de mejora del desempeño y recomendaciones | 301 |
| | 6.3.12. Conclusiones de la PTAR Subteniente López | 306 |
| 6.4. | Planta de tratamiento de aguas residuales Fovissste V etapa | 307 |
| | 6.4.1. Descripción general de la PTAR "Fovissste V etapa" - | 307 |
| | 6.4.2. Tren de Agua | 309 |
| | 6.4.3. Reactor de aeración | 309 |
| | 6.4.4. Tanque de contacto de cloro | 311 |
| | 6.4.5. Tren de Lodos | 313 |
| | | |









| 6.4.6. Equipo electromecánico | 314 |
|--|--------------|
| 6.4.7. Instalaciones civiles | 315 |
| 6.4.8. Medición de unidades de proceso | 316 |
| 6.4.9. Calidad del agua de la PTAR Fovissste V etapa | 317 |
| 6.4.10. Caracterización influente – efluente 24 horas | 323 |
| 6.4.11. Visita técnica – evaluación in situ | 325 |
| 6.4.12. Factores de desempeño | 333 |
| 6.4.13. Actividades de mejora del desempeño y recomendaciones | 335 |
| 6.4.14. Costos de inversión | 338 |
| 6.4.15. Conclusiones del estudio realizado a la PTARs Fovissste V etapa | 339 |
| 7. SISTEMA DE ALCANTARILLADO | 341 |
| 7.1. Drenaje Sanitario | 341 |
| 7.1. F. Sistema de alcantaril <u>lado por vac</u> ío | 343 |
| 7.1.2. Sistema de alcantarillado de la ciudad de Chetumal | 343 |
| 7.1.3. Áreas de influencia de los cárcamos de bombeo | 347 |
| 7.1.4. Sentido del flujo de los cárcamos de aguas residuales | 349 |
| 7.1.5. Problemática existente en la infraestructura hidráulica usada para el | |
| desalojo del agua sanitaria. | 351 |
| -7.1.6. Cálculo de aportaciones de aguas residuales por cárcamo. | 355 |
| 7.1.7. Modelo de simulación sanitario | 356 |
| 7.2. Acciones identificadas | 417 |
| 7.3. Conclusiones específicas - | 1419 |
| 7.3.1.Recomendaciones | 4201 |
| 7.4. Drenaje Pluvial | 420 |
| 7.4.1. Sistema pluvial de ciudad de Chetumal | 422 |
| 7.4.2. Principales problemas de capacidad de desalojo óptimo | 424 |
| 7.4.3. Inundación del 17 al 19 de octubre del 2015 | 429 |
| 8. MAPAS DE ZONAS INUNDABLES. | 443 |
| 8.1. Delimitación de las áreas tributarias | - 443 |
| 8.1.1. Modelo Digital de Elevaciones | 443 |
| 8.1.2. Planimetría | 444 |
| 8.1.3. Traza urbana, nombres de calles, colonias y sitios importantes. | 445 |
| 8.1.4. Líneas de corriente principales | 446 |
| 8.1.5. Generación de subcuencas de aportación | 447 |
| 8.2. Hietogramas de precipitación | 455 |
| 8.2.1. Estaciones climatológicas | 455 |
| 8.2.2. Análisis de información pluviográfica | 455 |
| 8 2.3 Lluvias de proyecto | 458 |









| 8.2.4. Curvas Precipitación (hp mm) – Duración (d min) – Periodo de retorno (Tr años) | 459 |
|---|--------|
| 8.3. Modelo de simulación hidráulica | 464 |
| 8.4. Parámetros de simulación de alcantarillado pluvial | 465 |
| 8.5. Mapas de riesgo por inundación en la zona urbana de Chetumal | 472 |
| 8.5.1. Metodología para los mapas de vulnerabilidad y su aplicación | |
| en la ciudad de Chetumal | 473 |
| 8.6. Metodología para la elaboración de mapas de riesgo de daño estructural en vivienda | |
| por efectos de inundación | 487 |
| 8.7. Generación de mapas de riesgo de daño estructural en vivienda en la ciudad | |
| de Chetumal para diferentes periodos de retorno | 488 |
| 8.8. Cálculo d <u>el</u> Índice contra inundaciones (ICI) | 491 |
| 8.9. Cálculo del índice de inundaciones (IDI) | 496 |
| 8.10. Calles afectadas por las inundaciones | 499 |
| 8.11. Tirantes de inundación en diferentes colonias de Chetumal | 502 |
| 8.12. Áreas de inundación | 507 |
| 8.13. Acciones identificadas | 510 |
| 8.14. Conclusiones específicas. | 510 |
| 8.14.1. Recomendaciones | 511 |
| | |
| Bibliografía | 513 |
| Anexos | 519 |
| A. Vialidades con afectaciones para diferentes periodos de retorno | 519 |
| Ilustraciones | 541' ' |
| Tablas | 558 |
| | |









8. MAPAS DE ZONAS INUNDABLES.

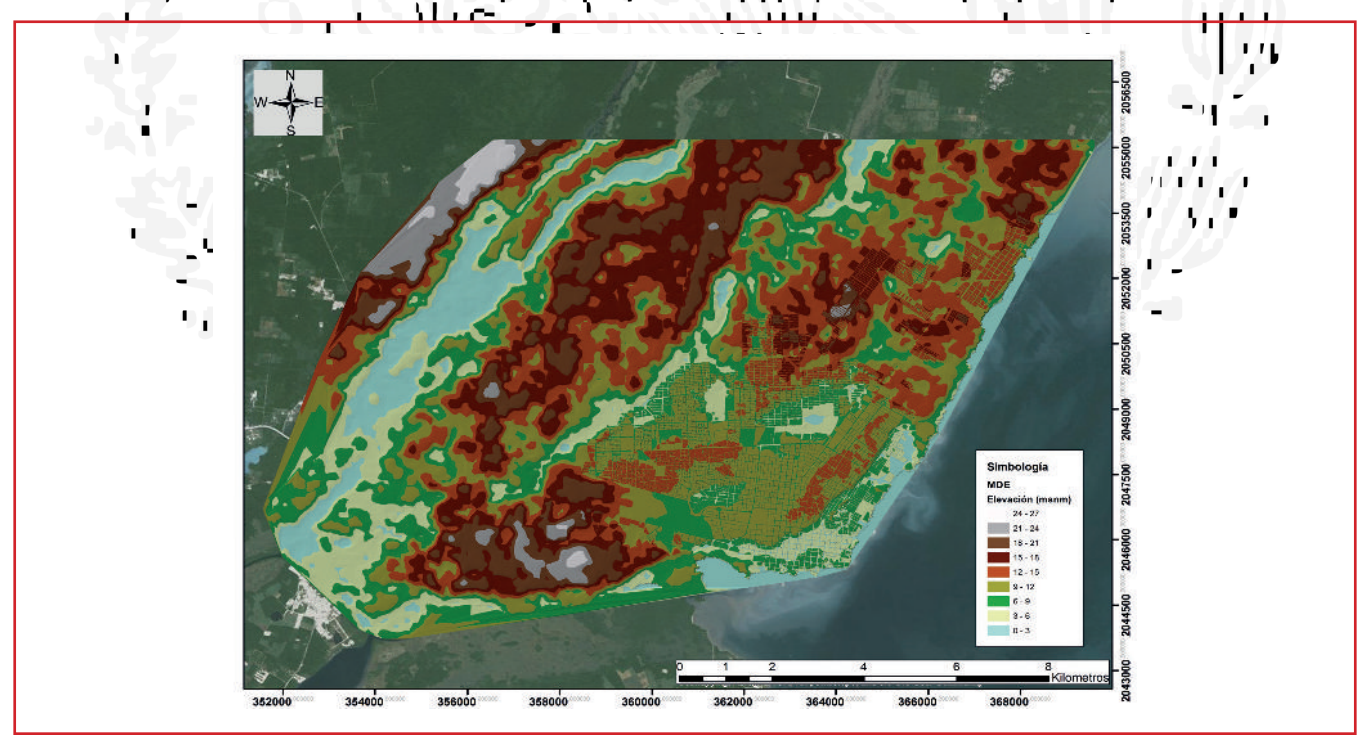
Para la construcción de los mapas de zonas inundables se requiere caracterizar la zona de estudio, por lo tanto se toma como referencia la metodología generada por Rodríguez et al (2015), en la cual se menciona la sistematización de los insumos necesarios para la creación de los mapas. Estos se determinan a partir de la construcción de un Modelo Digital de Elevaciones (MDE), planimetría de la zona urbana que resultara mediante un proceso descrito posteriormente las líneas principales de corriente. Se trabajará en el análisis hidrológico para conocer las lluvias de diseño, que permitirán construir el modelo de simulación hidráulica.

8.1. DELIMITACIÓN DE LAS ÁREAS TRIBUTARIAS:

8.1.1. Modelo Digital de Elevaciones

De acuerdo con el Instituto Nacional de Estadística y Geografía (INEGI, 2015), un modelo digital de elevación (MDE) es una representación visual y matemática de los valores de altura con respecto al nivel medio del mar, que permite caracterizar las formas del relieve y los elementos u objetos presentes en el mismo. En la Ilustración 8.1 se presenta el MDE generado con ayuda de las cartas Light Detection And Ranging -detecciones por luz y distancia- con abreviatura LIDAR proporcionadas por el INEGI. Esta información fue corroborada a través de levantamientos topográficos que cuenta la CAPA en su base de datos, ver Ilustración 8.1.









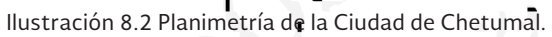




8.1.2. Planimetría

La planimetría de la zona, es un conjunto de métodos y procedimientos utilizados para obtener la representación a escala de todos los detalles relevantes del terreno sobre una superficie plana, prescindiendo del relieve y representando al objeto en forma horizontal.

Los datos de la planimetría se obtuvieron a partir de datos de la información proporcionada por el organismo operador de agua potable y se corroboraron a través de los datos del INEGI (AGEB´s), representándose las divisiones realizadas para el seccionamiento de las zonas de construcciones, ya sean delimitadas por avenidas o calles. En la Ilustración 8.2 se presenta la planta de la zona urbana de la ciudad de Chetumal.









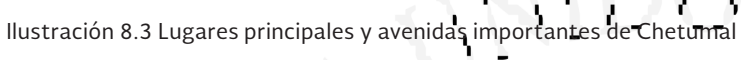




8.1.3. Traza urbana, nombres de calles, colonias y sitios importantes.

Parte de conocer el entorno de la ciudad de Chetumal, consiste en saber la ubicación de sitios de importancia; mediante los datos contenidos en el AGEB; estos datos nos permiten ubicar los sitios de importancia, así como establecer los nombres de las vialidades (ver Ilustración 8.3).

Además de tener la delimitación por colonias de la ciudad, identificándose 139 colonias en la ciudad (ver Ilustración 8.4).



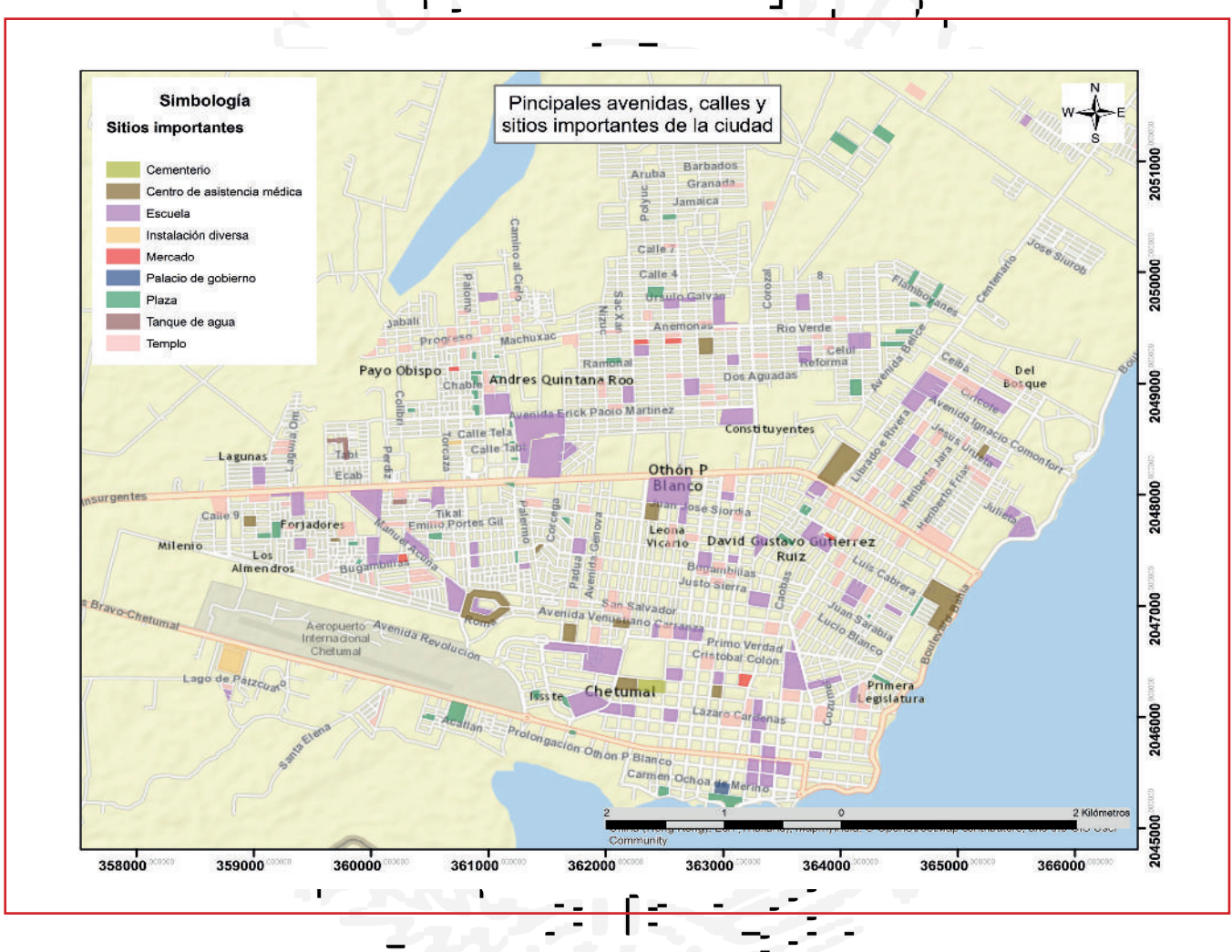


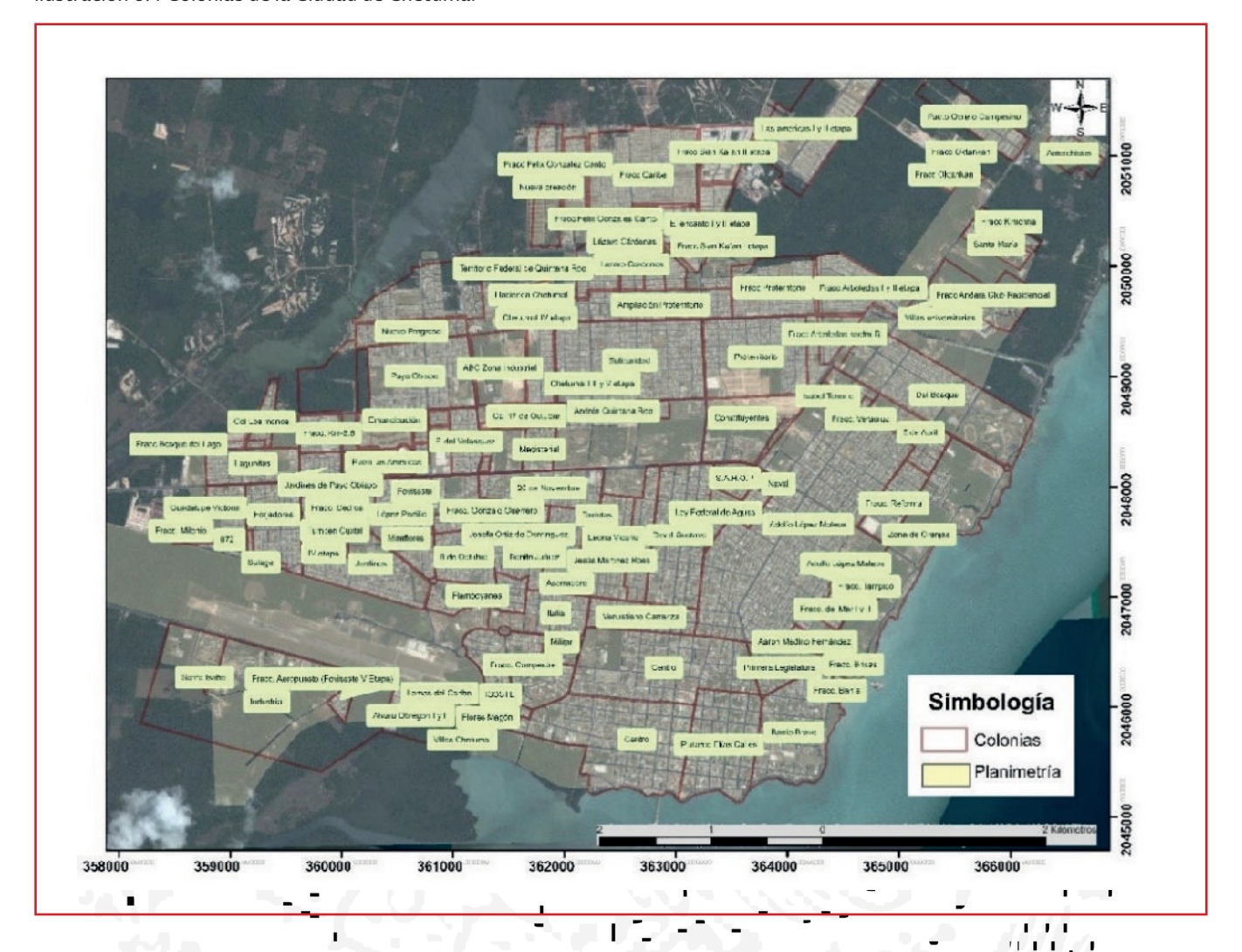








Ilustración 8.4 Colonias de la Ciudad de Chetumal



8.1.4. Líneas de corriente principales.

Con la información de la topografía y planimetría de la ciudad, fue posible obtener el Modelo Digital de Elevaciones considerando las calles de la ciudad, es decir la planimetría de ésta fue integrada dentro del MDE (ver Ilustración 8.1), una ventaja de este modelo, reside en la utilización para determinar las líneas de corriente a través de las calles de la ciudad (ver Ilustración 8.3), esto ayudara a conocer las zonas que se delimitan formado áreas denominadas microcuencas.

En la Ilustración 8.5, se muestran las líneas de corriente con las zonas de inundación dentro de la ciudad, en el que se observa que las líneas de corriente tienden a los niveles topográficos más bajos y coinciden con las zonas inundables de la ciudad.

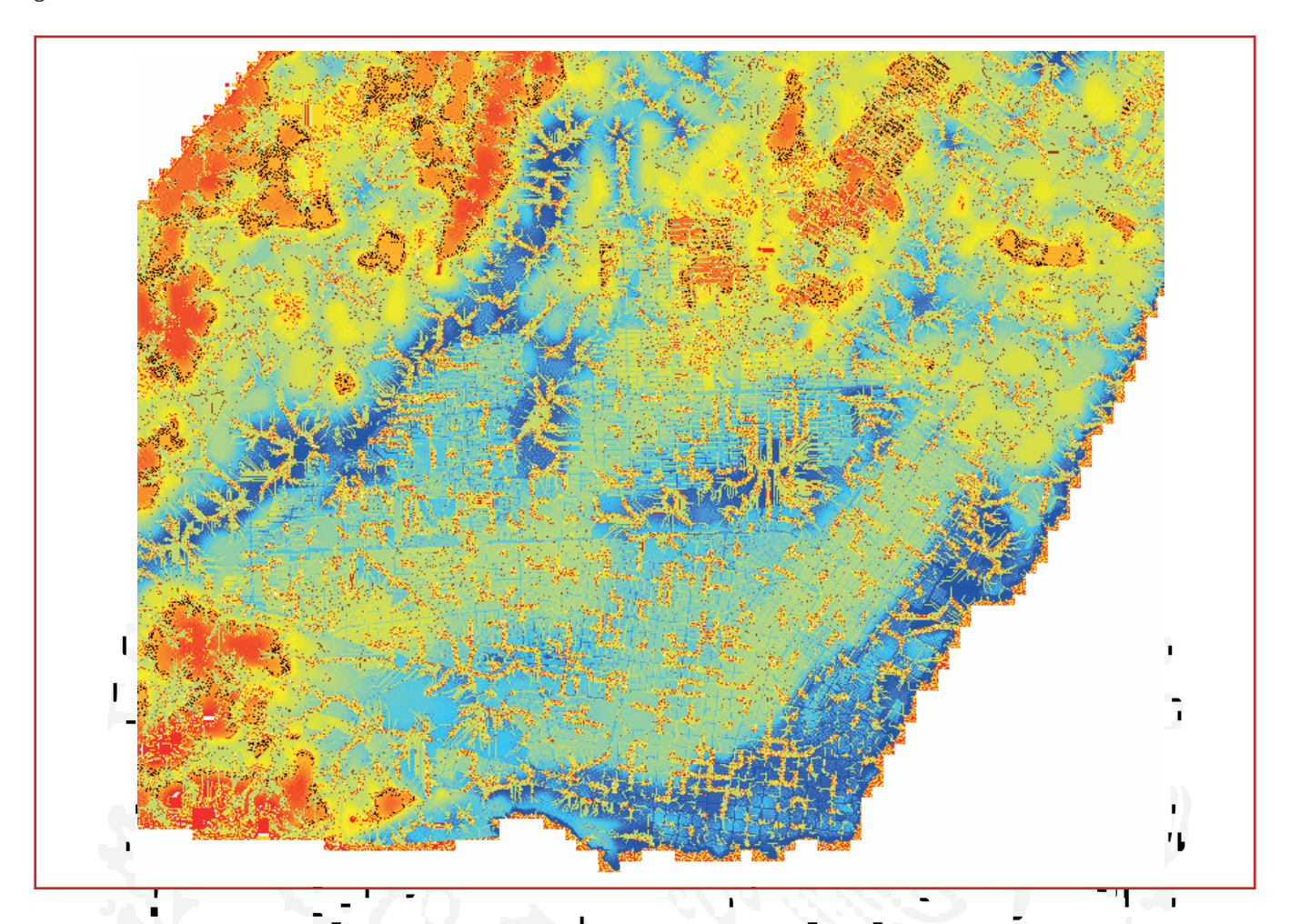








llustración 8.5 Líneas de corriente calculadas a partir del modelo digital de elevaciones en el que se incluye la planimetría (Rodríguez et al., 2012)



8.1.5. Generación de subcuencas de aportación

Para la generación de las microcueneas se tomó como punto de partida el MDE con zonas urbanas, el archivo se procesó con ayuda de un software que trabaje mediante algún Sistema de Información Geográfica (SIG). Se utilizó el programa ArcGis®, ya que permite trabajar datos con datos topográficos, bases de datos y facilita la delimitación de las microcuencas de acuerdo con las elevaciones registradas en el MDE.

La extensión del ArcGis utilizada es HecGeo-Hms®, la Ilustración 8.6-contiene los pasos a seguir para delimitar las áreas, ver Ilustración 8.7.

A continuación se da una breve explicación de los pasos que se siguieron para la delimitación.

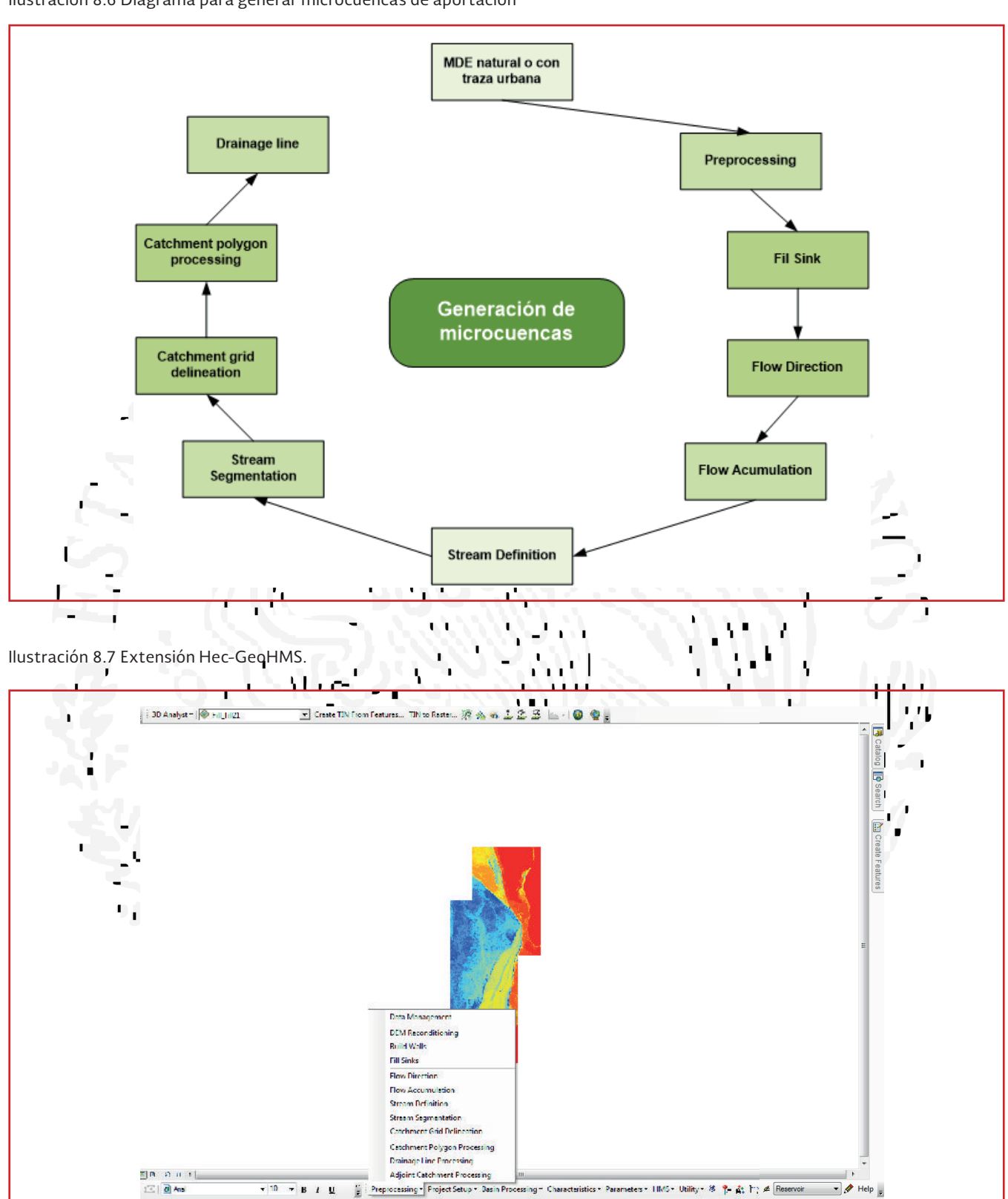








Ilustración 8.6 Diagrama para generar microcuencas de aportación



545435.55. 2312289.77 Meters









- 1. *Fill sinks* (relleno de sumideros), consiste en rellenar las depresiones del MDE, donde se aumenta la cota de las celdas vecinas, asignándole a dicha celda la menor cota de las celdas circundantes, ver Ilustración 8.8
- **2.** *Flow direction* (dirección de flujo), se define la dirección de la mayor pendiente, evaluando celda a celda las cotas circundantes del análisis, ver Ilustración 8.9
- 3. Flow accumulation (acumulación de flujo), se determinan el número de celdas que drenan a cada celda, una forma de calcularse manualmente es multiplicar el número de celdas por el área de cada celda, ver Ilustración 8.10
- 4. Stream definition (definición del flujo), etapa en la cual se clasifican las celdas con flujo procedente de un número mayor a un umbral definido por el usuario como pertenecientes a la red de drenaje ver Ilustración 8.10
- 5. Stream Segmentation (segmentación del flujo), se dividen los cauces en segmentos ver Ilustración 8.10
- 6. Catchment grid delineation (delimitación de las cuencas) en la cual se definen las cuencas por cada segmento del cauce ver Ilustración 8.11
- 7. Catchment Polygon Processing (proceso de una cuenca en polígono), proceso que convierte las subcuencas de malla a un formato de vector, con esto se conocen las áreas de aportación originadas por el escurrimiento que puede producirse ver Ilustración 8.12
- 8. Drainage line Processing (proceso del trazo de las líneas de corriente), se convierten los cauces de la malla a un formato de vector, ver Illustración 8,13

llustración 8.8 Ventana de Fill Sinks para introducir datos, b) Resultado de Fill Sinks.

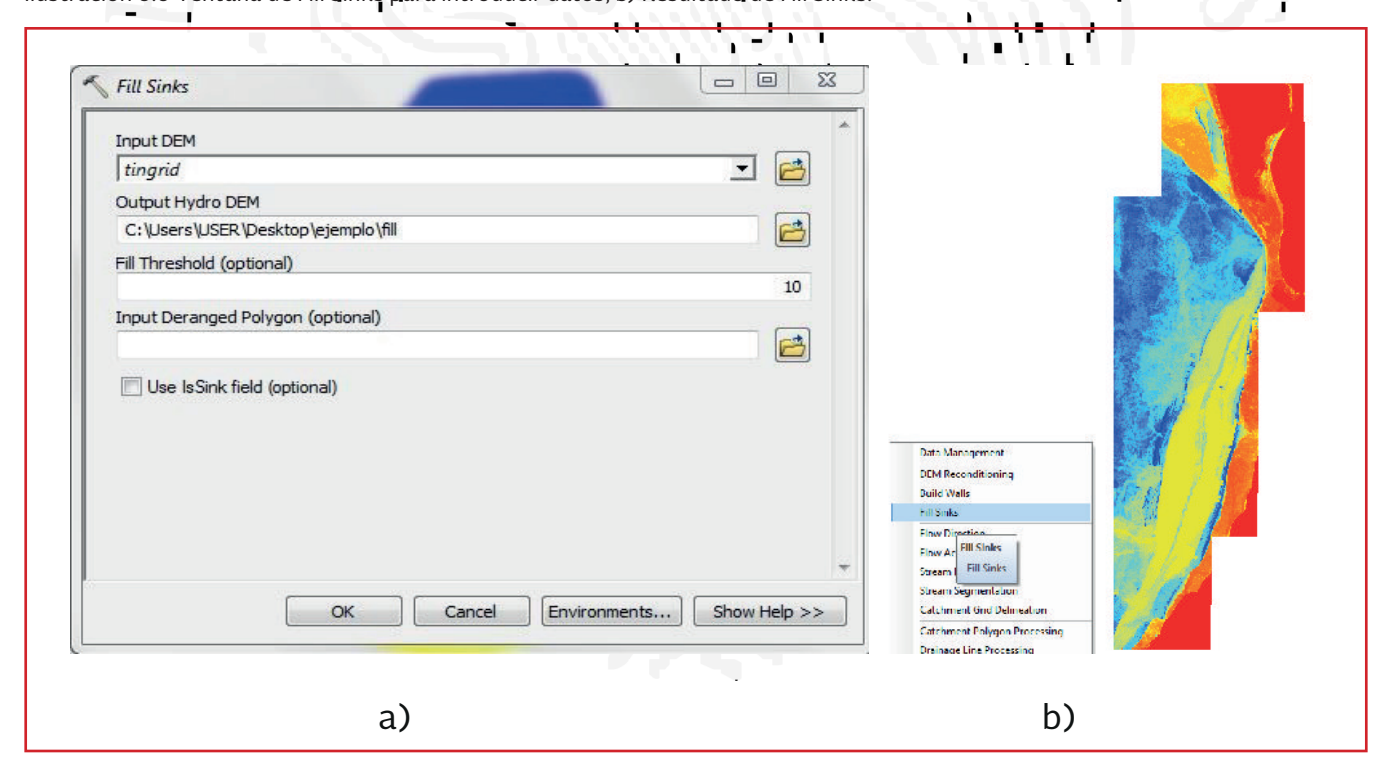


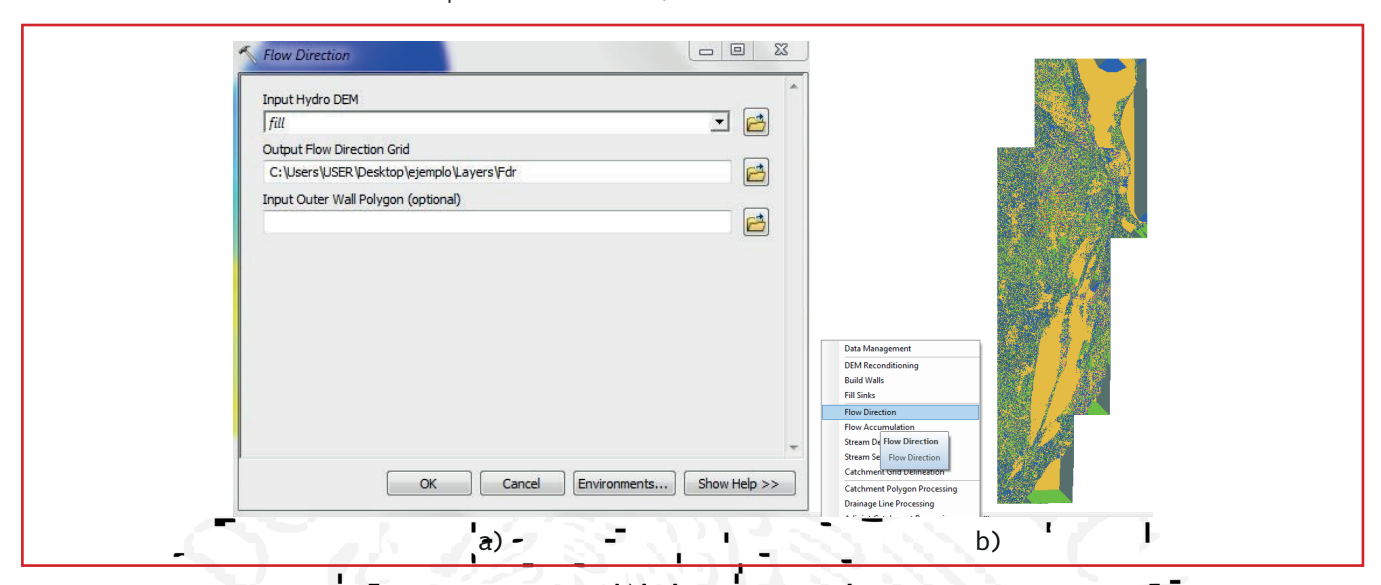




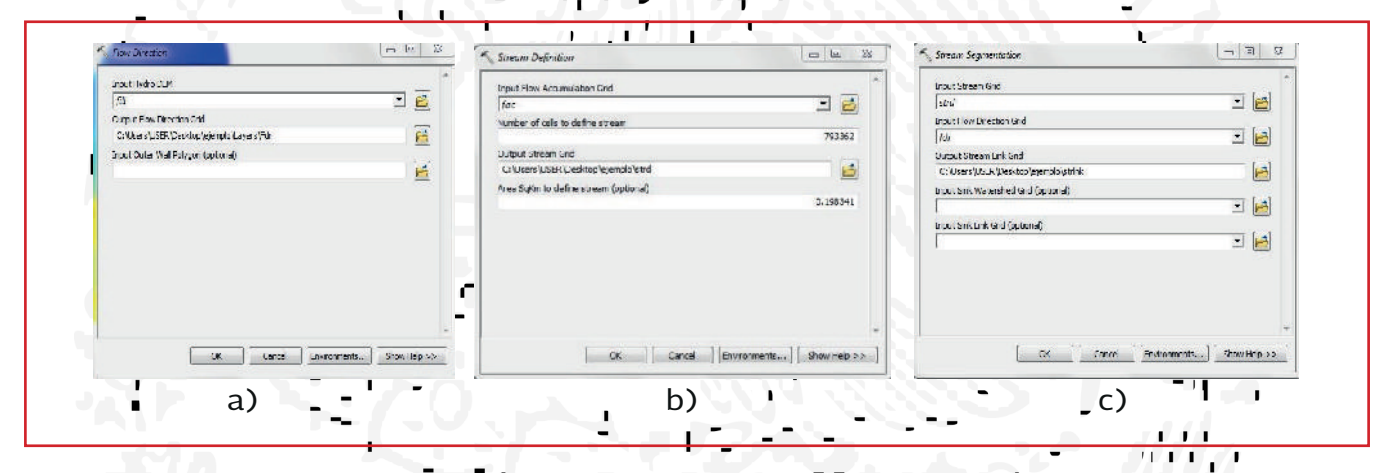




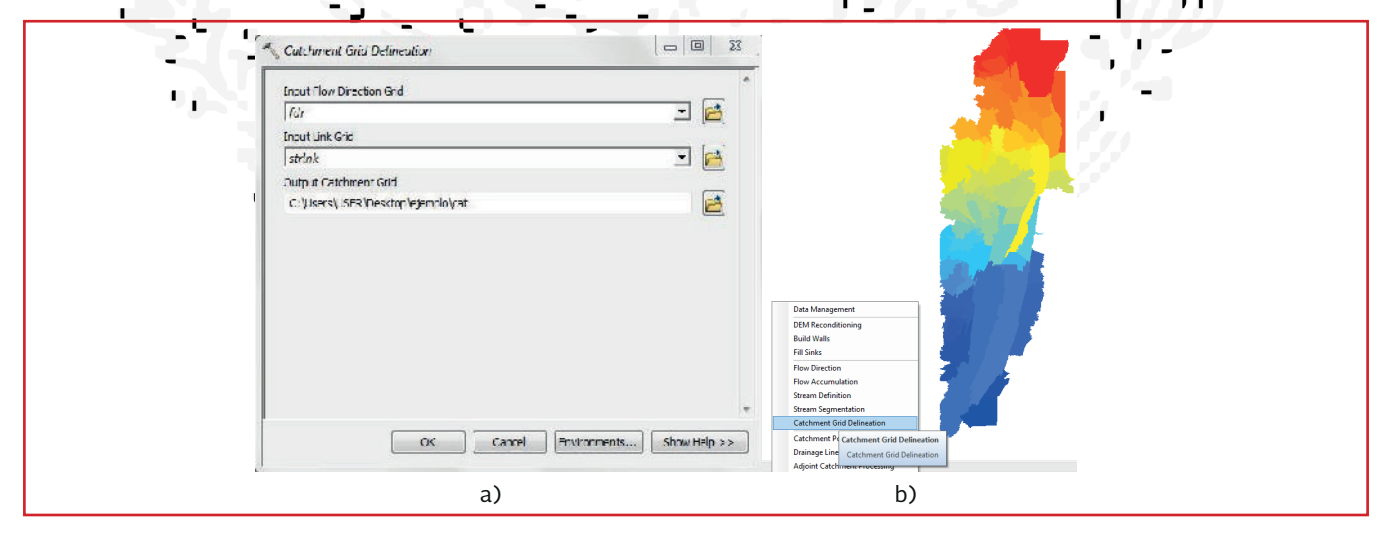
Ilustración 8.9 Ventana de Flow Direction para introducir datos, b) Resultado de Flow Direction.



llustración 8.10 a) Ventana principal de Flow Acumulation, b) Ventana Stream Definition, c) Ventana Stream Segmentation.



llustración 8.11 a) Ventana de la herramienta Catchment Grid, b) Resultado de Catchment Grid.



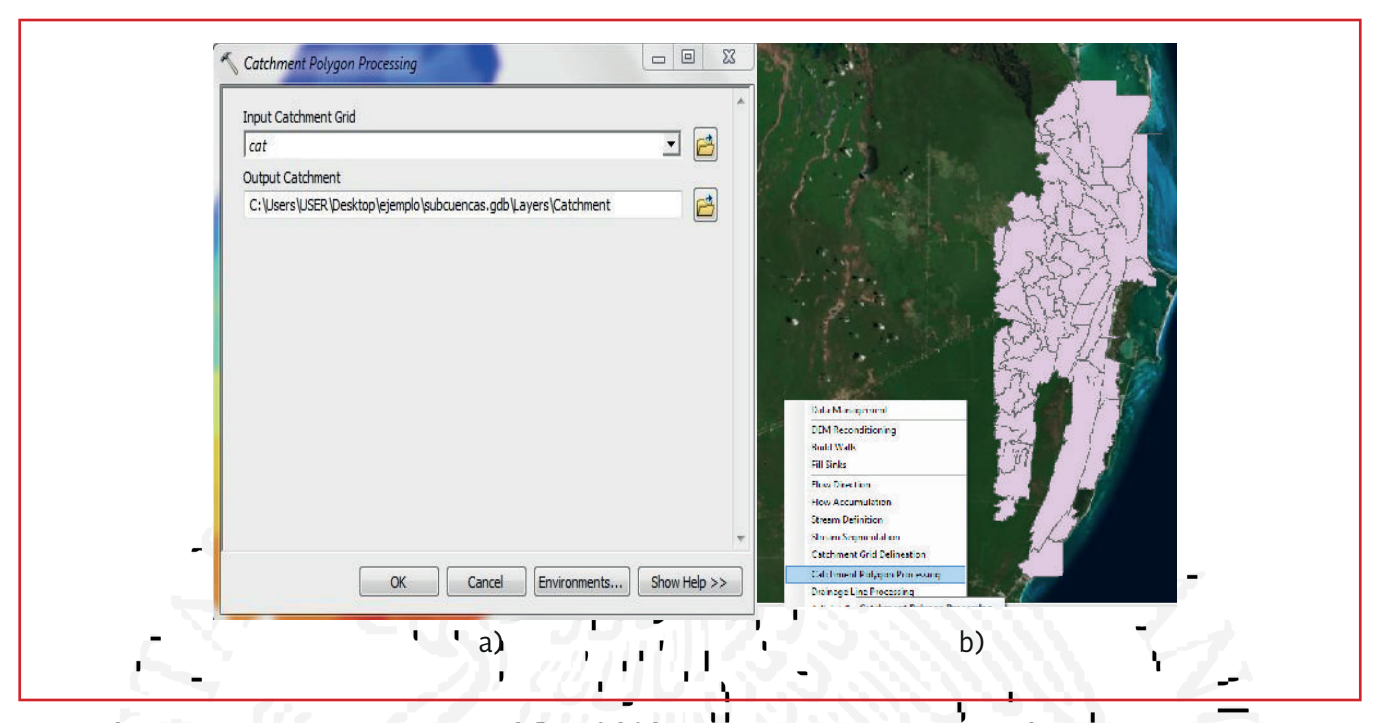




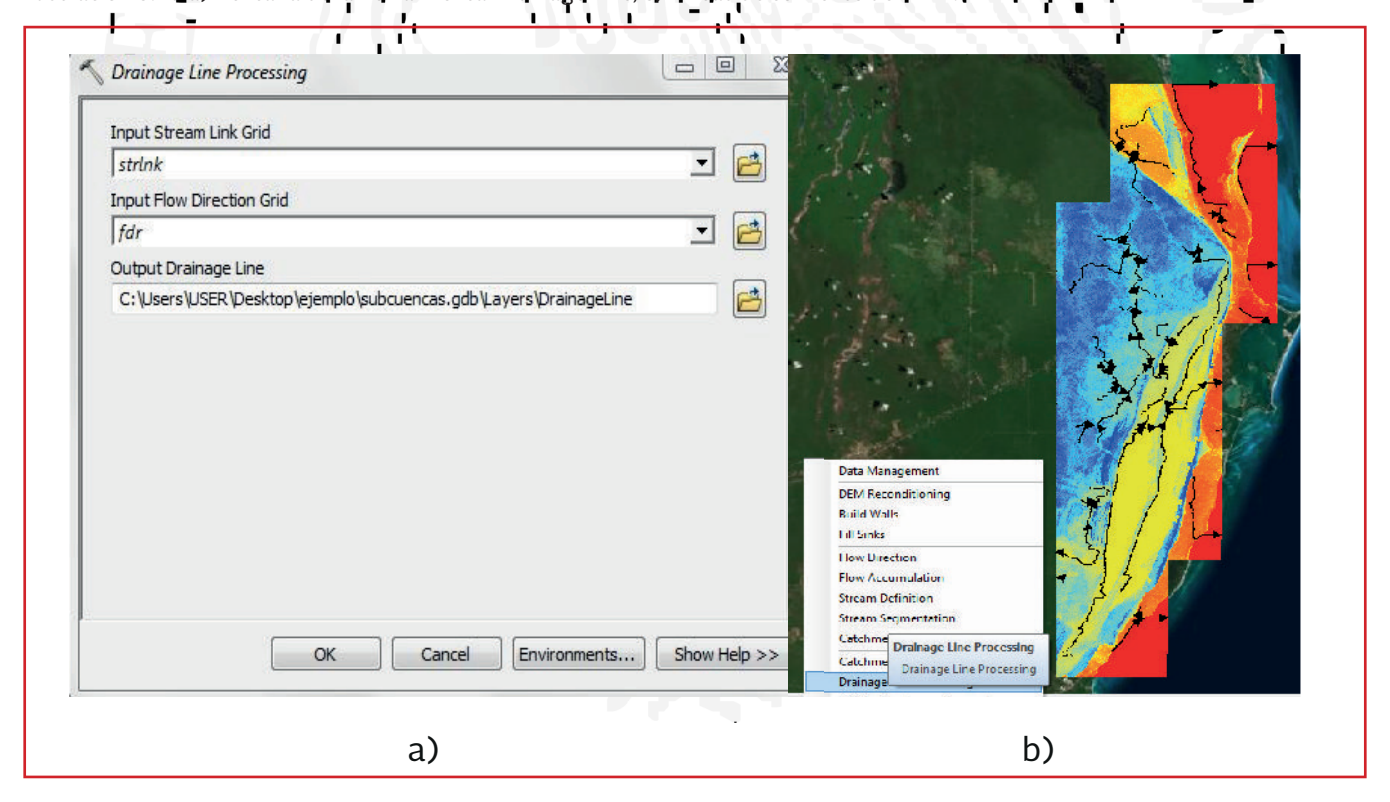




llustración 8.12 a) Ventana de la herramienta Catchment Polygon, b) Subcuencas obtenidas del MDT.



llustración 8.13 a) Ventana de la herramienta Drainage Line, b) Líneas de corriente del MDE.





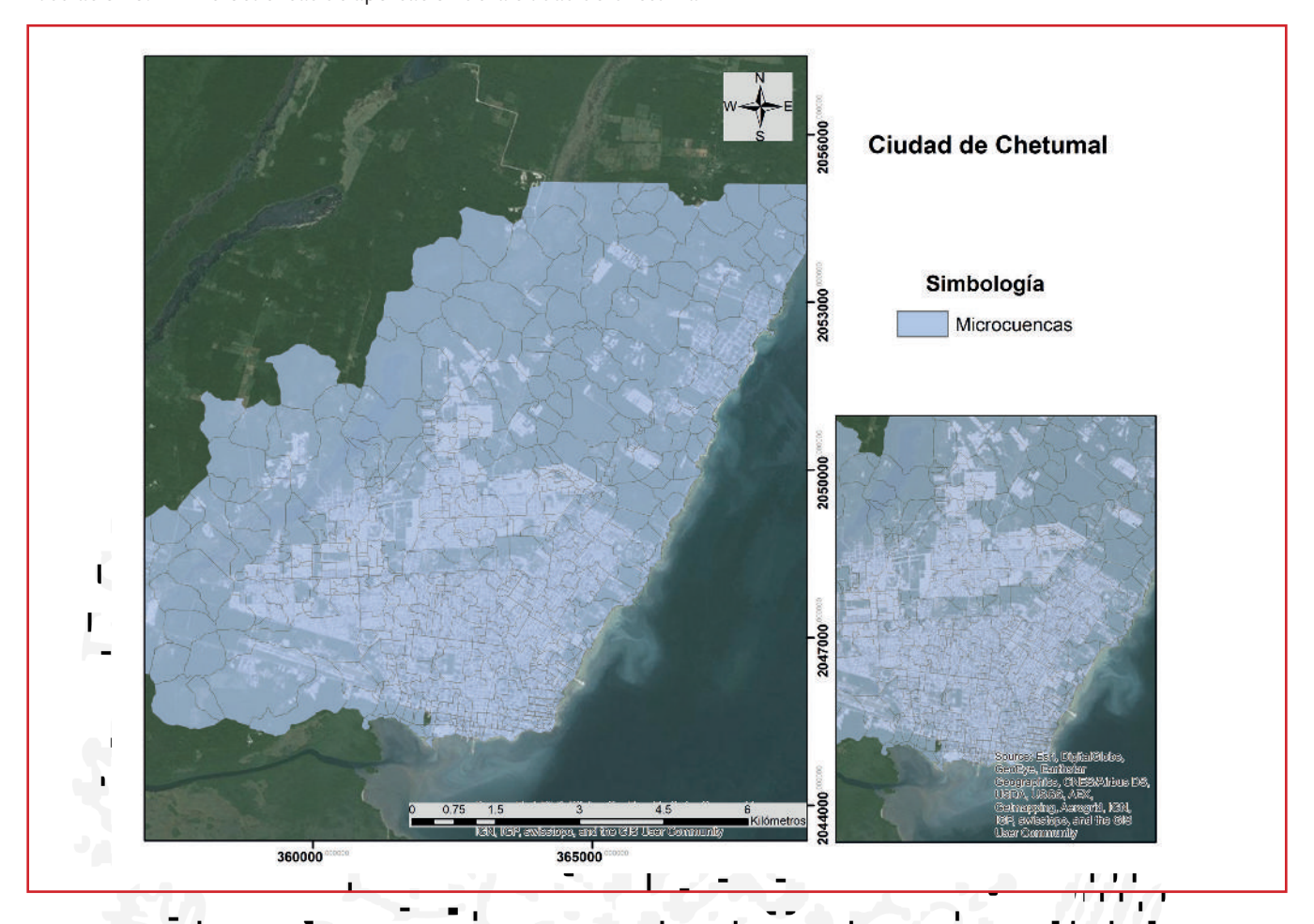






A partir del proceso descrito anteriormente, resultaron para la zona de estudio un total de 674 microcuencas de aportación para la ciudad de Chetumal (ver Ilustración 8.14)

Ilustración 8.14 Microcuencas de aportación de la ciudad de Chetumal



8.1.5.1. Caracterización de la subcuencas y microcuencas de aportación

Con el estudio realizado por Rodríguez et al (2012) se identificaron los usos de suelo de la zona en estudio, divididos en 4 rubros, Pavimento constituido por las calles, Áreas no desarrolladas conformado por el terreno natural, las casas habitación indicadas en el plano de planimetría, y los Parques y terrenos sin construir dentro de la mancha urbana indicados como Parques y Baldíos (Hustración 8.15).

Para el análisis de escurrimientos en calles y colectores pluviales, las cuencas de la zona de estudio se dividieron en microcuencas. En total se obtuvieron 674 (ver Ilustración 8.14) para cada una de ellas se calcularon sus parámetros siguientes: área, altura máxima y mínima (en msnm), porcentaje de área impermeable (ver Ilustración 8.16), pendiente de la cuenca (ver Ilustración 8.17), tiempo de concentración (ver Ilustración 8.18), etcétera.

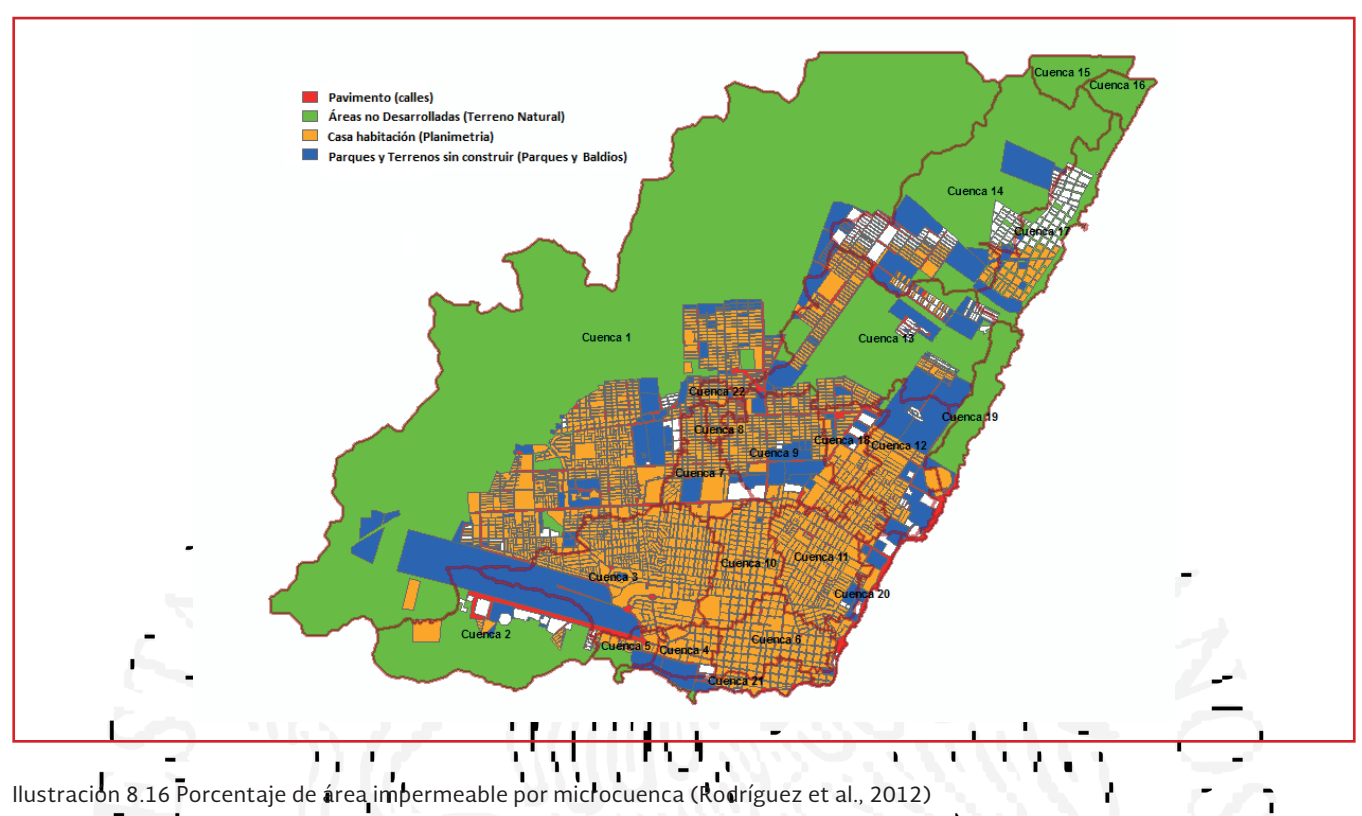


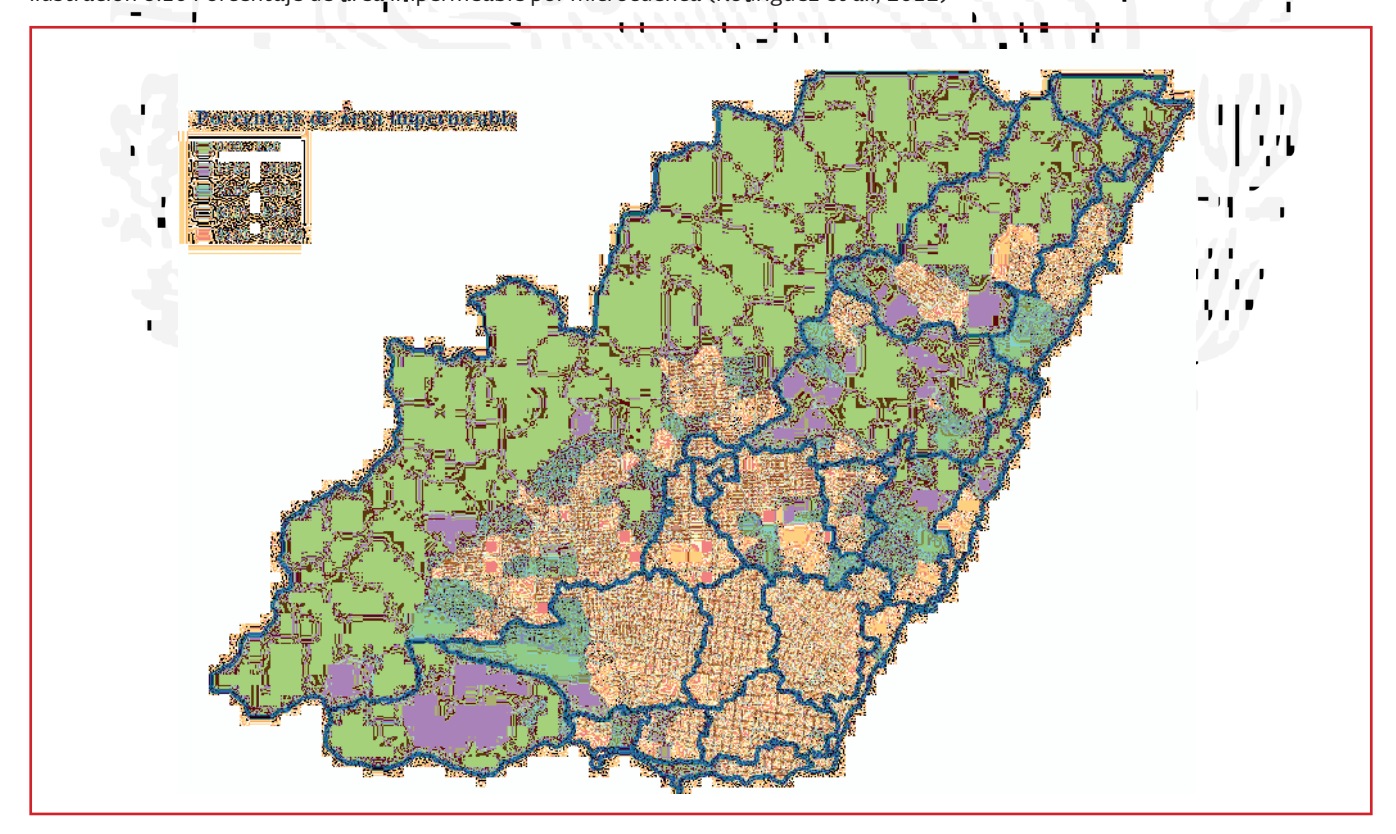






llustración 8.15 Usos del suelo (Rodríguez et al., 2012)













llustración 8.17 Pendiente (%) de las microcuencas (Rodríguez et al., 2012)

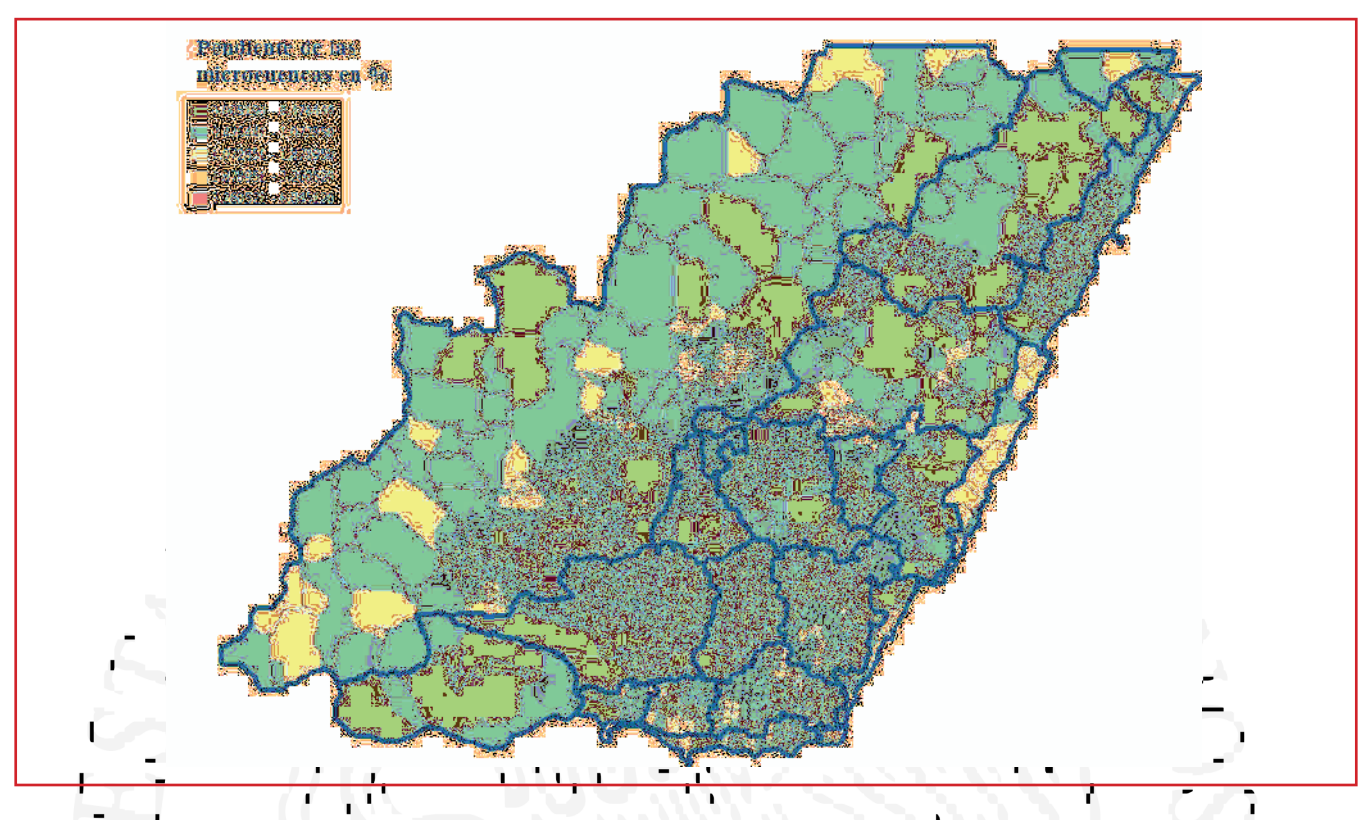
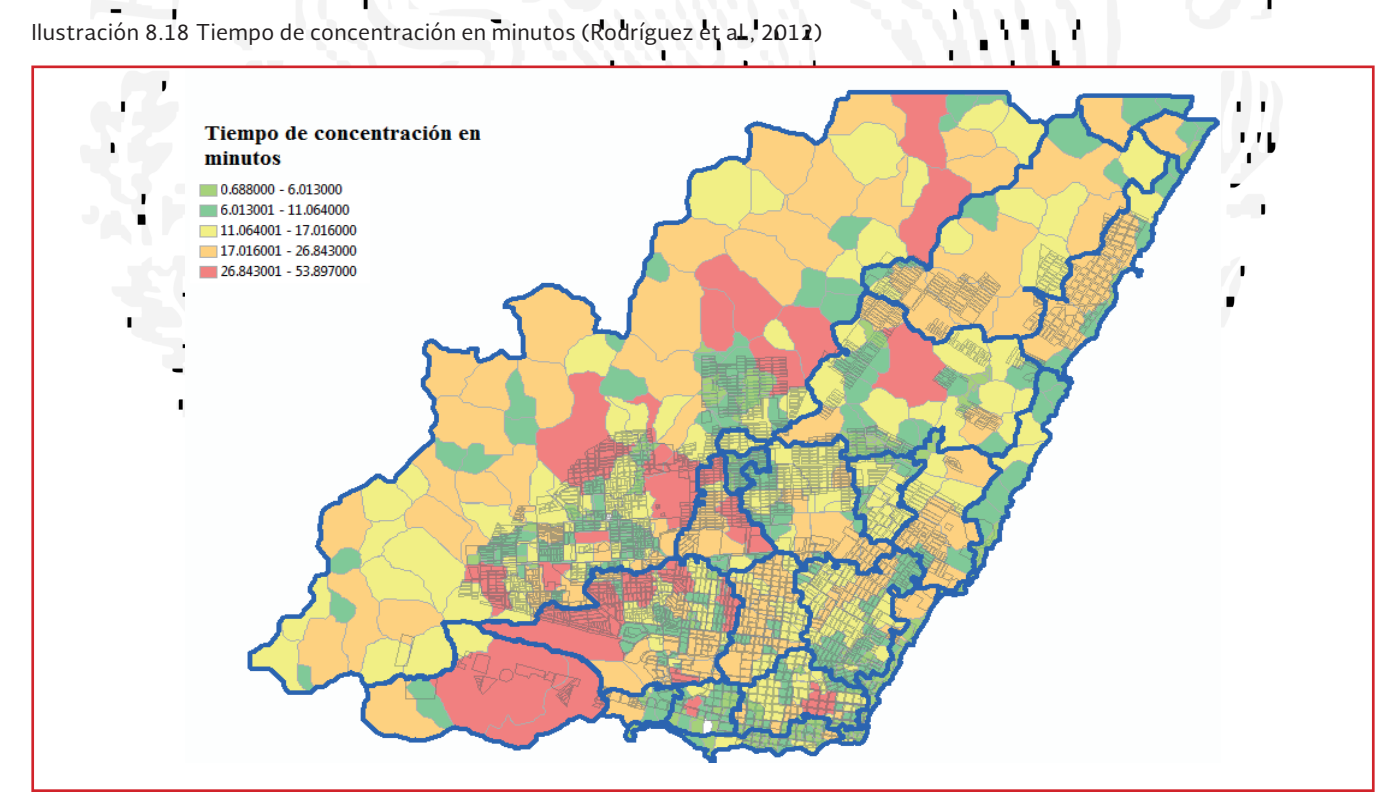


Ilustración 8.18 Tiempo de concentración en minutos (Rodríguez et al., 2012)











8.2. HIETOGRAMAS DE PRECIPITACIÓN

8.2.1. ESTACIONES CLIMATOLÓGICAS

Los hietogramas de precipitación se tomaron en base al estudio realizado por Rodríguez et al. en el año 2012, donde con la base ERIC III V2.0, se localizaron nueve estaciones pluviométricas en la zona, las cuales tenían un conjunto de datos mayores a 12 años, se corrigieron y estimaron datos faltantes de la serie, para posteriormente mediante un análisis de funciones de distribuciones de probabilidad obtener un relación de precipitación y periodo de retorno, ver Tabla 8.1.

Tabla 8.1 Lluvias Precipitación (mm)- Periodo de retorno (años) para las estaciones climatológicas (Rodríguez et al., 2012)

| Nombre de la Es- tación | Chetumal, Tec- nológico Othón P. Blanco | Chetumal, Obser- vatorio | Los Pozos, Othón P. Blanco | INIA, Caechet, Othón P. Blanco | Bacalar, Payo Obispo |
|----------------------------|---|--------------------------------|--|---|--|
| Número de esta- ción | 23153 | 23032 | 23015 | 23049 | 23002 |
| Mejor ajuste | Distribución expo- nencial 2 paráme- tros | Distribución Gum- bel Doble | Distribución Log Normal 2 paráme- tros | Distribución expo- nencial 2 paráme- tros | Distribución Normal (mo- mentos) |
| Error estándar | 20.40 | B.60 1 | 4.91 | 10.92 | _5.15 |
| Tr (años) | | | | | |
| - 2 | 110.63 | 100.8 | 82.03 | 104.06 | 65.09 |
| 5 | 167.38 | 154.45 | 115.61 | 157.41 | 88.33 |
| 10 | 207.31 | 194.55 | 137.78 | 196.05 | 102.29 |
| 25 | 260.37 | 251.1 | 165.78 | 248.68 | 119.08 |
| 50 | 301.6 | 297 . 48 | 186.64 | 290.66 | 131.3 |
| 100 | 344.15 | 347.99 | 207.49 | 334.94 | 143.38 |
| 200 | 388.19 | 403. 1 6 | 2 28.42 | 381.83 | 155.5 |

8.2.2. ANÁLISIS DE INFORMACIÓN PLÚVIOGRÁFICA

Para el análisis de la información pluviográfica, se utiliza una estación meteorológica automática (EMA), encargada de registrar datos a cada 10 minutos de diferentes parámetros como los son el viento, la temperatura, humedad relativa, radiación solal, entre otros. La EMA analizada está ubicada al sur del aeropuerto de Chetumal (ver Ilustración 8.19):

Estación: SMN EMAS CHETUMAL, QROO

Operada por: Servicio Meteorológico Nacional (SMN – EMAS)









Longitud: 88°19'40" Latitud: 18°30'02" Altitud: 14

Inicio con registros el 25/04/2000

llustración 8.19 Localización de la EMA, Chetumal Quintana Roo y de las estaciones climatológicas (Rodríguez et al., 2012)



Para conocer la distribución temporal de la lluvia, se requiere calcular el promedio de lluvias que se presenta más veces en Chetumal. Dicha forma de lluvia se emplea para determinar las lluvias de diseño. Del análisis se tiene:

• Generación de la lluvia acumulada en cada tormenta (ver Tustración 8.20 e Ilustración 8.21)

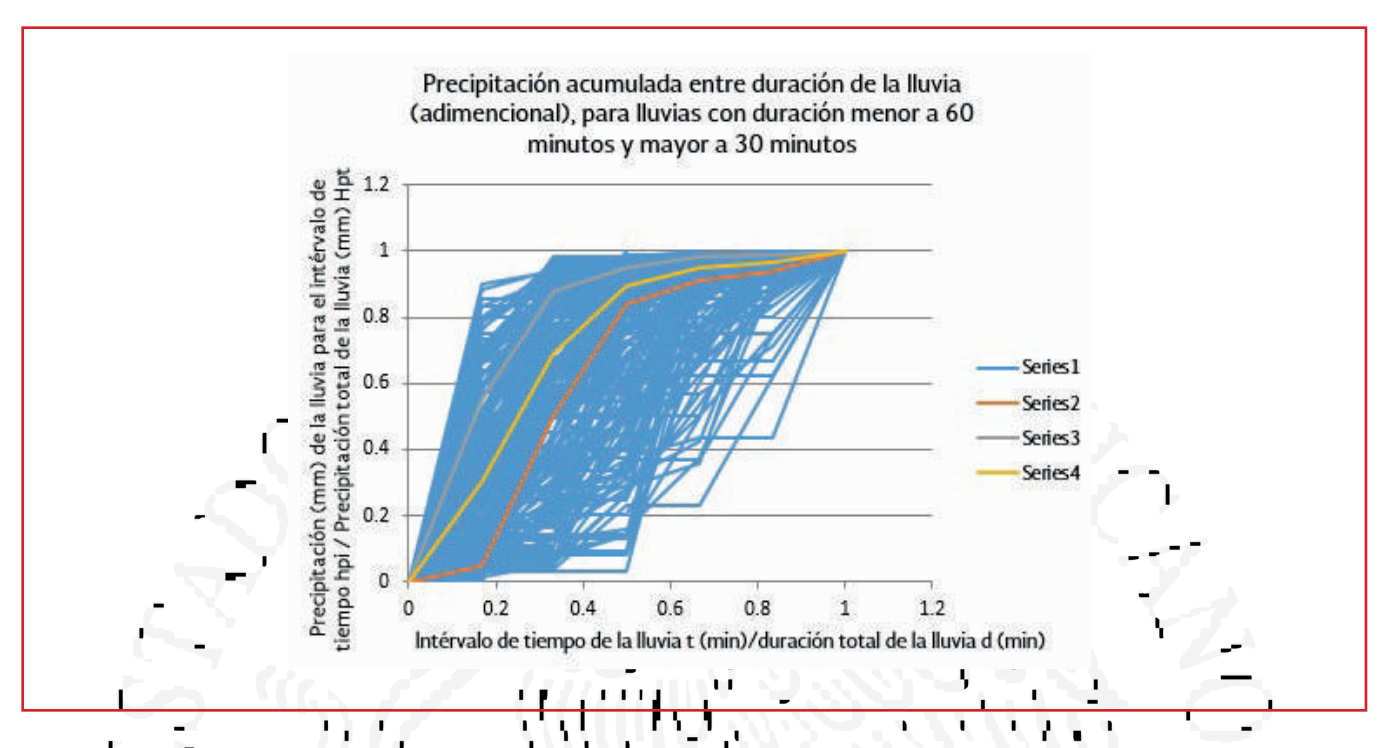




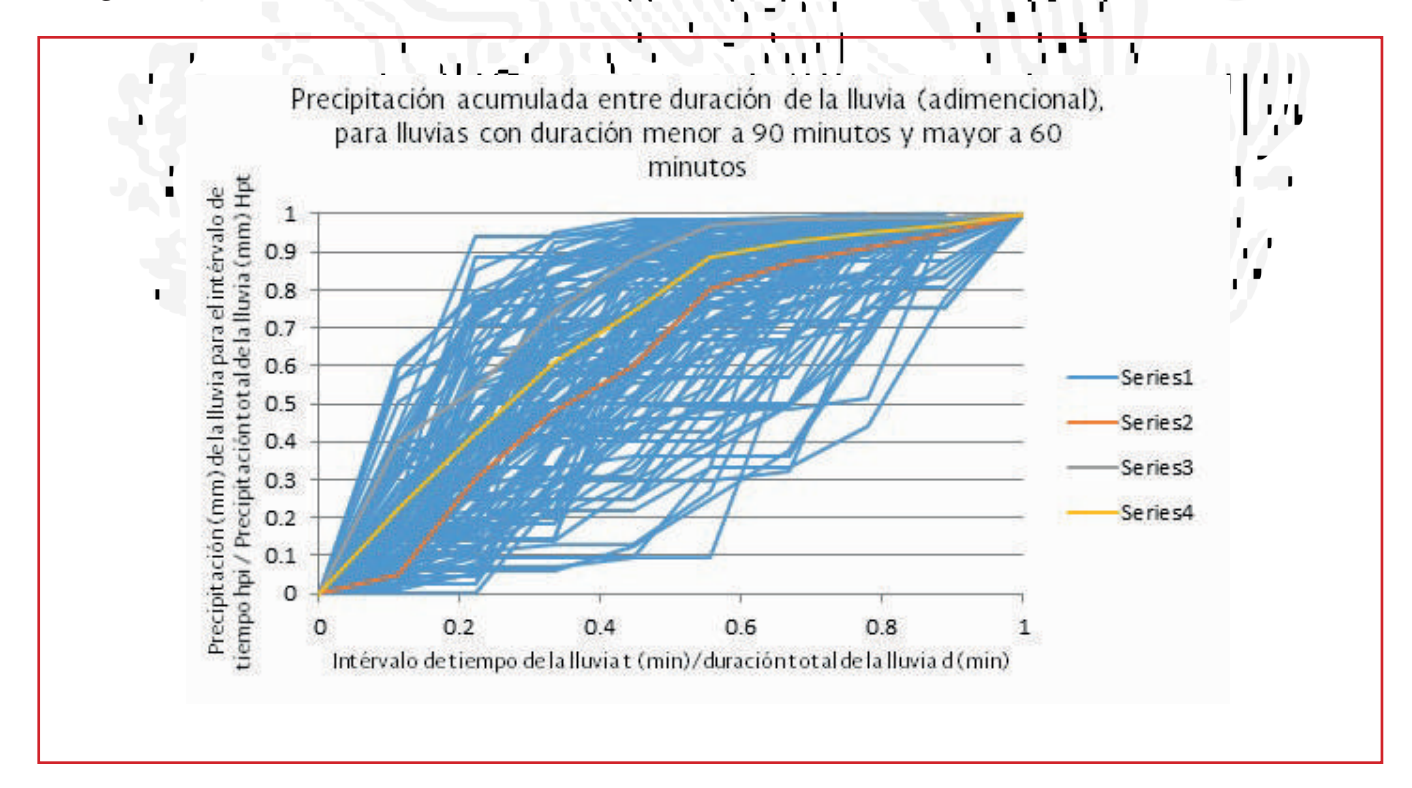




Ilustración 8.20 Lluvias acumuladas para cada tormenta (adimensional) con duración menor a 60 minutos y mayor a 30 minutos (Rodríguez et al., 2012)



llustración 8.21 Lluvias acumuladas para cada tormenta (adimensional) con duración menor a 90 minutos y mayor a 60 minutos (Rodríguez et al!, 2012)





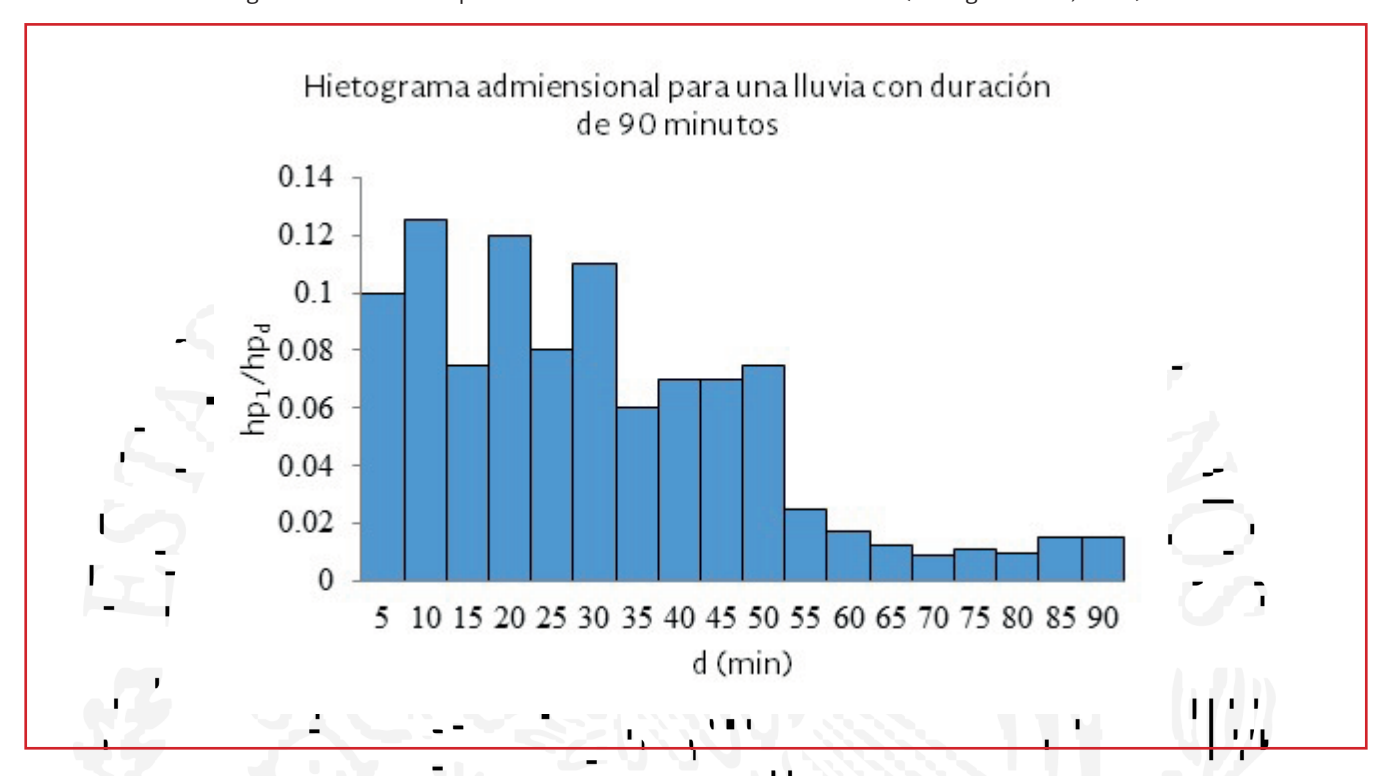






A partir de las distribuciones adimensionales medias, mostradas en la ilustración anterior, se construyeron los histogramas adimensionales para las lluvias de proyecto y que son presentados en la Ilustración 8.22 para una lluvia tipo con duración de 90 minutos. Estos Hietogramas adimensionales serán usados como base para construir las lluvias tipo para el análisis de los colectores.

llustración 8.22 Hietograma adimensional para una lluvia con duración de 90 minutos (Rodríguez et al., 2012)



8.2.3. LLUVIAS DE PROYECTO.

Para la determinación de las curvas altura-de precipitación — duración — periodo de retorno, y con la información generada (lluvias máximas acumuladas diarias para diferentes periodos de retorno mostradas en la Tabla 8.1, se procede a la desagregación de dichos eventos a lluvias con duraciones menores a 24 horas.

El método empleado es el denominado "Bell" que permite estimar la altura de precipitación para cualquier periodo de retorno y para cualquier duración. Esta relación lluvia – duración - periodo de retorno es directamente proporcional a la lluvia horaria con un periodo de retorno igual a dos años.

$$hp_T^d = [0.35 Ln(Tr) + 0.76][0.54d^{0.25} - 0.50] hp_{Tr=2}^{d=60}$$

Ecuación 8.1









Dónde:

d = Duración en minutos

Tr = Periodo de retorno en años

hp^d_T = Altura de precipitación para cualquier duración y para cualquier periodo de retorno

El interés en aplicar la ecuación arriba mostrada, radica en que los registros existentes de lluvias con cortas duraciones son escasos en la zona de estudio. Sin embargo se dispone de registros de lluvias máximas diarias de buena calidad y con longitudes de registro aceptables, por lo cual lluvias con duraciones menores a 24 horas pueden ser evaluadas en relación a ésta, para iguales periodos de retorno.

El éxito de aplicación de la ecuación anterior, radica en la correcta evaluación de la lluvia horaria con un periodo de retorno igual a dos años. Adicionalmente, para la evaluación de la lluvia horaria antes citada, se deberán realizar previamente dos correcciones al valor representativo de la lluvia máxima diaria, estimada en cada una de las estaciones, para un periodo de retorno de dos años. La primera es la corrección por intervalo fijo de observación y la segunda es debida a la reducción del área de la cuenca.

8.2.4. Curvas Precipitación (hp mm) – Duración (d min) – Periodo de retorno (Tr años)

Para la ciudad de Chetumal se caltularon las curvas Precipitación (hp mm) — Duración (d min) — Periodo de retorno (Tr años) y curvas Intensidad (I mm/hr) — Duración (d min) — Período de retorno (Tr años) domo el promedio de las curvas de las estaciones 23153 y 23032 y estas lluvias de diseño será usada para fines de la simulación. En la Tabla 8.2.

Tabla 8.2 Curvas de Precipitación (hp mm) – Duración (d min) – Periodo de retorno (Tr años) para la Ciudad de Chetumal

| Tr (años) | Duración (minutos) | | | | | | | | | |
|--------------|--------------------|---------------|------|-------|-------|-------|-------|-------|-------|-------|
| | 5 | 10 | 20 | 30 | 40 | 50 | 60 | 90 | 120 | 1440 |
| 2 | 17.3 | 25.9 | 36.2 | 43.0 | 48.3 | 52.7 | 56.5 | 65.5 | 72.5 | 159.1 |
| 5 | 22.9 | - 34.2 | 47.7 | 56.8 | 63.8 | 69.6 | 74.5 | 86.4 | 95.7 | 210.0 |
| 10 | 27.1 | 40.5 | 56.5 | 67.2 | 75.4 | 82.3 | 88.2 | 102.3 | 113.2 | 248.5 |
| 20 | 31.3 | 46.8 | 65.2 | 77.6 | 87-2 | 95.1 | 101.9 | 118.1 | 130.7 | 287.0 |
| 25 | 32.6 | 48.8 | 68.0 | 80.9 | 90.9 | 99.1 | 106.3 | 123.2 | 136.4 | 299.4 |
| 50 | 36.8 | 55.1 | 76.8 | 91.4 | 102.6 | 111.9 | 119.9 | 139.1 | 153.9 | 337.9 |
| 100 | 41.0 | 61.3 | 85.5 | 101.7 | 114.3 | 124.6 | 133.6 | 154.9 | 171.4 | 376.4 |
| 200 | 45.1 | 67.6 | 94.2 | 112.1 | 126.0 | 137.4 | 147.3 | 170.8 | 189.0 | 414.9 |









Con la información de las curvas Precipitación (hp mm) — Duración (d min) — Periodo de retorno (Tr años) de la Tabla 8.2 y los histogramas adimensionales para las lluvias de proyecto y que son presentados en los Hietogramas para las lluvias tipo para una duración de 90 minutos se muestran en la Tabla 8.3 y de la Ilustración 8.23 a la Ilustración 8.29.

Tabla 8.3 Hietograma de la precipitación para una duración de lluvia de 90 minutos y diferentes periodos de retorno.

| Forma del | Duración | Periodos de Retorno (Tr) | | | | | | | |
|-----------------|-------------|--------------------------|--------------|---------------|------------------|-----------------|----------------|-------------------|------|
| Hietogra- ma | (min) | 2 | 5 | 10 | 20 | 25 | 50 | 100 | 200 |
| 0.1 | 5 | 6.5 | 8.6 | 10.2 | 11.8 | 12.3 | 13.9 | 15.5 | 17.1 |
| 0.125 | 10 | 8.2 | 10.8 | 12.8 | 14.8 | 15.4 | 17.4 | 19.4 | 21.3 |
| 0.075 | 15 | 4.9 | 6.5 | 7.7 | 8.9 | 9.2 | 10.4 | 11.6 | 12.8 |
| 0.12 | 20 — | 7.9 | 10.4 | - 12.3 | 14. 2 | 14.8 | - 1 6.7 | 18.6 | 20.5 |
| 0.08 | 25 | 5.2 | 6.9 | 8.2 | 9.4 | 9.9 | 11.1 | 12.4 | 13.7 |
| 0.11 | 30 | 7.2 | - 9.5 | - 11.2 | _13.0 | 13.6 | 15.3 | l 17.0 | 18.8 |
| 0.06 | 35 | 3.9 | 5.2 | 6.1 | 7.1 | 7.4 | 8.3 | 9.3 | 10.2 |
| 0.07 | - 40 | 4.6 | 6!0 | 7,2 | 8.3 | 8.6 | 9.7 | 10.8 | 12.0 |
| 0.07 | 45 | 4.6 | 6.0 | 7.2 | 8.3 | 8.6 | 9.7 | 10.8 | 12.0 |
| 0.075 | - 50 | 4.9 | 6.5 | 7.7 | 8.9 | 9.2 | 10.4 | 1 1. 6 | 12.8 |
| 0.025 | 55 | 1.6 | 2.2 | 2.6 | 3.0 | 3.1 | 3.5 | 3.9 | 4.3 |
| 0.0175 | 60 | 1.1 | ا ۱.5 ۲ | 1.8 | 2.1 | 1 2. 2 1 | 2.41 | 2.7 | 3.0 |
| 0.0125 | 65 | 0.8 | 1.1 | 1.3 | 1.5 | 1.5 | 1.7 | 1.9 | 2.1 |
| 0.009 | 70 | 0.6 | - 0.8 | 1 0.9 | _' 1.1 | 1.1 | 1 :3 | 1.4 | 1.5 |
| 0.011 | 75 | 0.7 | 1.0 | 1.1 | 1.3 | 1.4 | 1.5 | 1.7 | 1.9 |
| 0.01 | 80 | 0.7 | 0.9 | 1.0 | 1112 | 1.2 | 1.4 | 1151 1 | 1.7 |
| 0.015 | 85 | 1.0 | 1.3 | 1.5 | 1.8 | 1.8 | 2.1 | 2.3 | 2.6 |
| 0.015 | 90 | 1.0 | 1.3 | 1.5 | 148 | 1.8 | 2.1 | 2.3 | 2.6 |

llustración 8.23 Hietograma de la precipitación para una duración de lluvia de 20 minutos y un periodo de retorno de 2 años

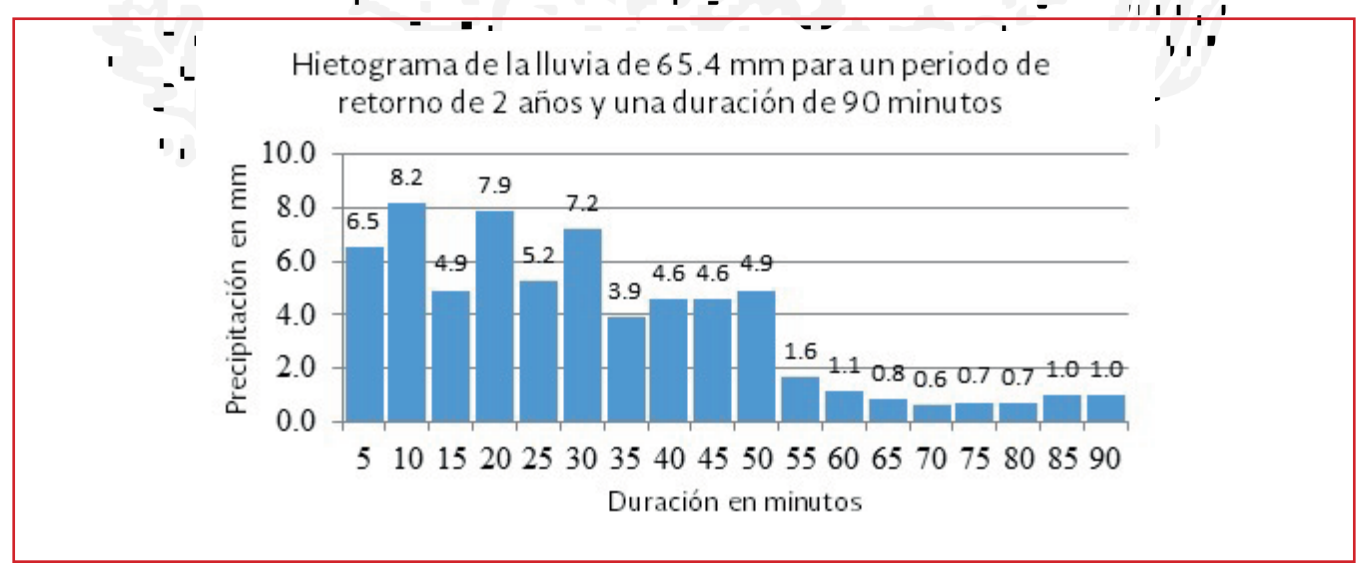










Ilustración 8.24 Hietograma de la precipitación para una duración de lluvia de 90 minutos y un periodo de retorno de 5 años

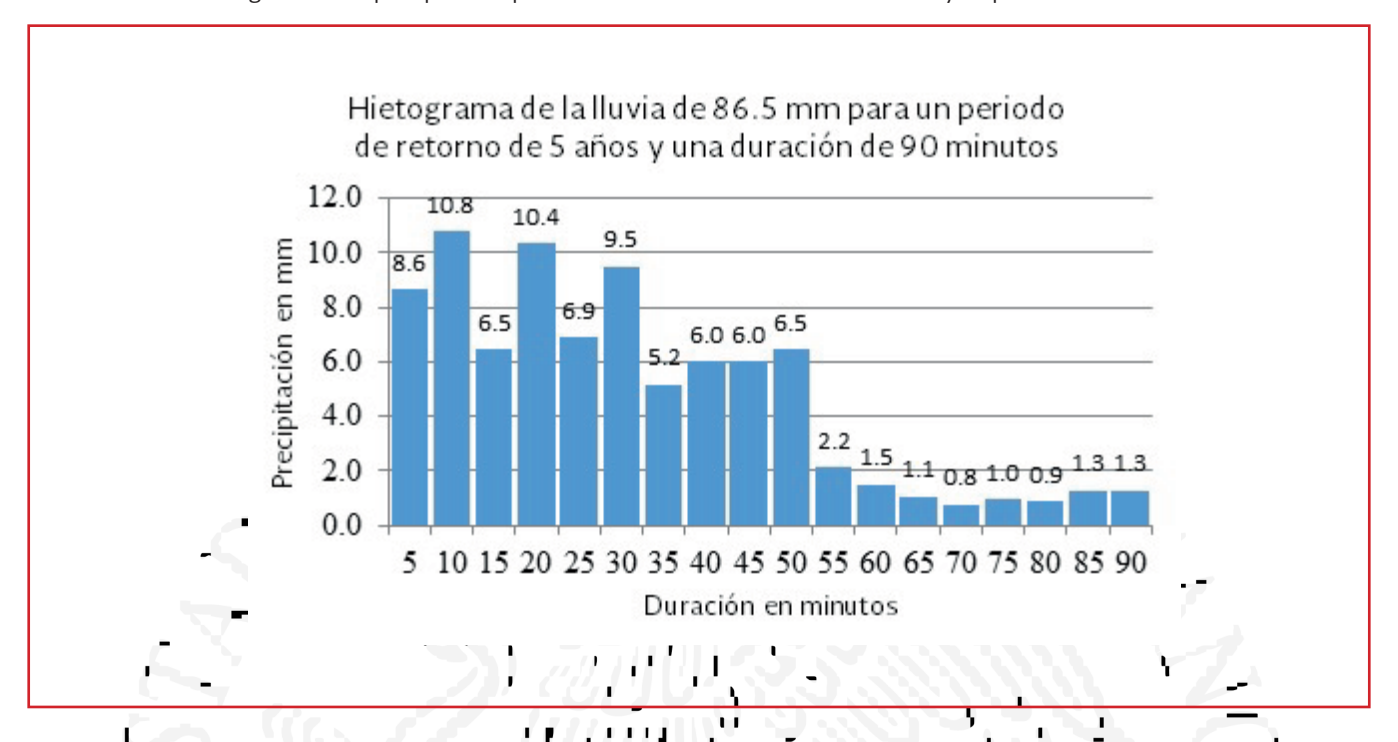


Ilustración 8.25 Hietograma de la precipitación para una duración de Iluvia de 90 minutos y un periodo de retorno de 10 años

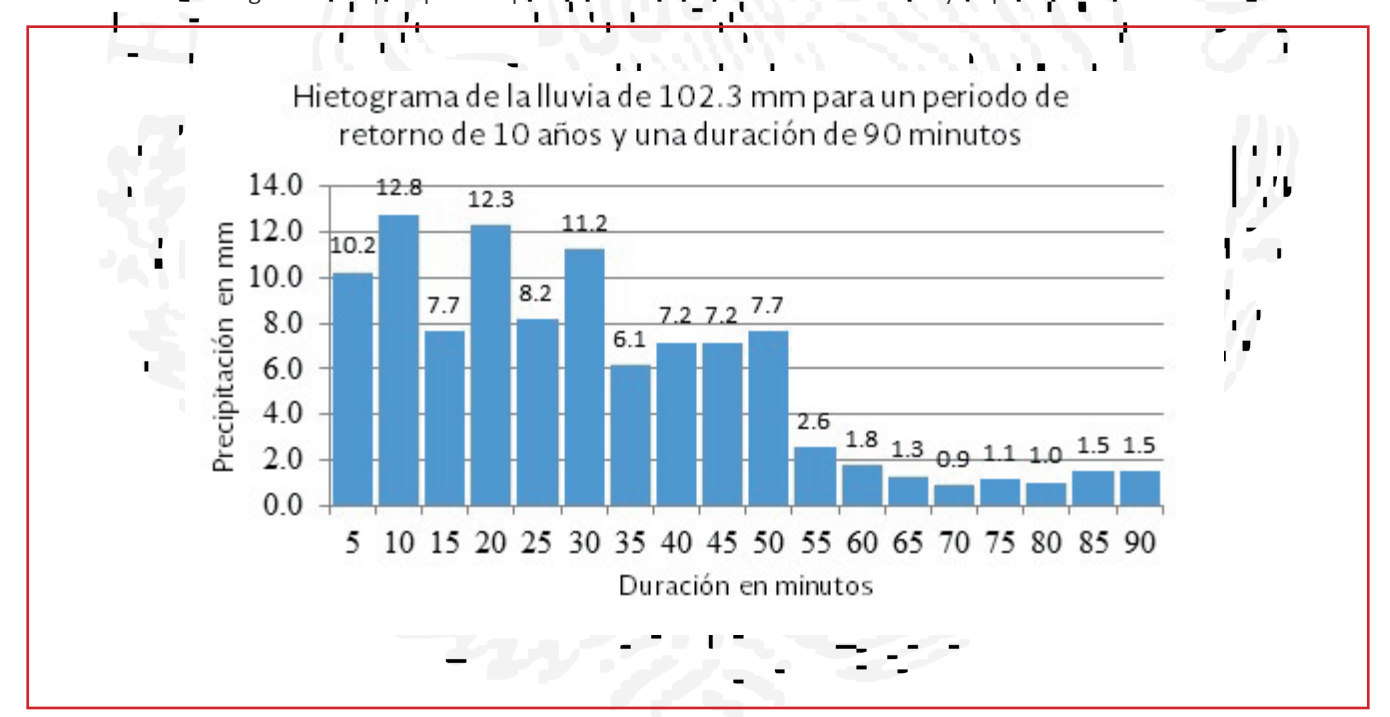


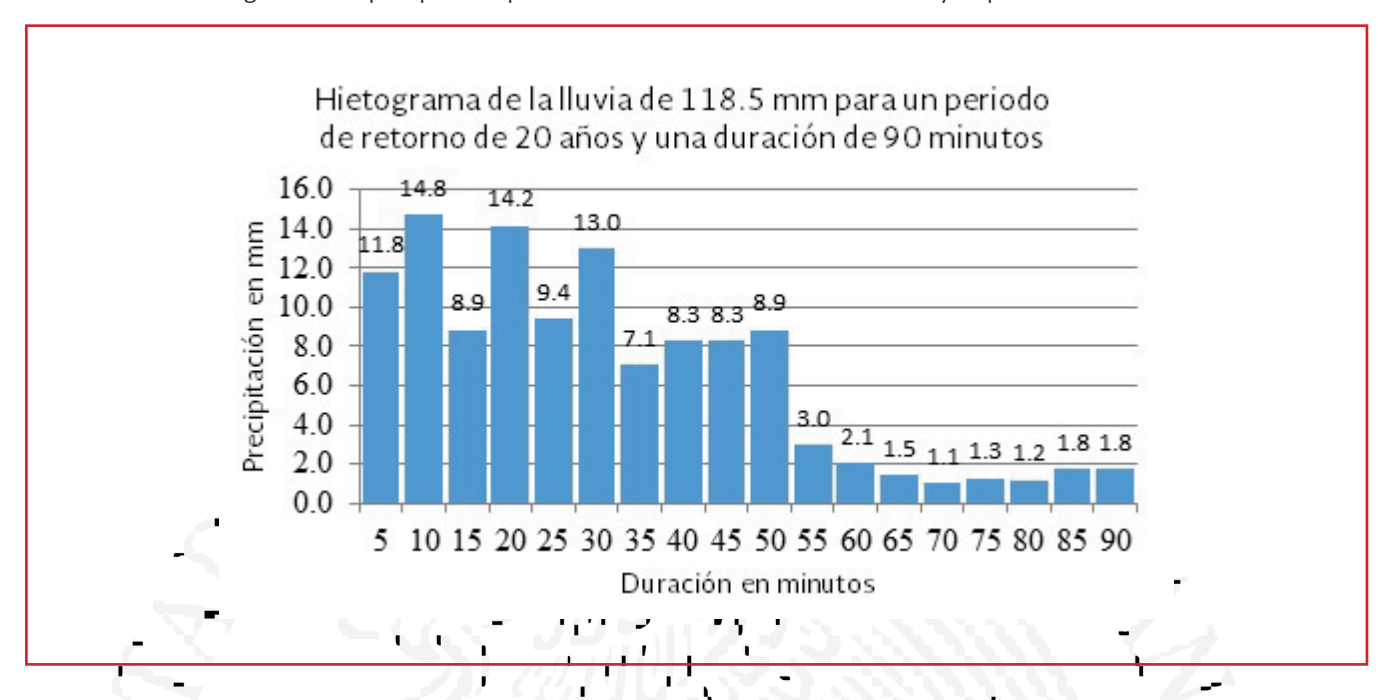








Ilustración 8.26 Hietograma de la precipitación para una duración de Iluvia de 90 minutos y un periodo de retorno de 20 años



llustración 8.27 Hietograma de la precipitación para una duración de lluvia de 90 minutos y un periodo de retorno de 25 años

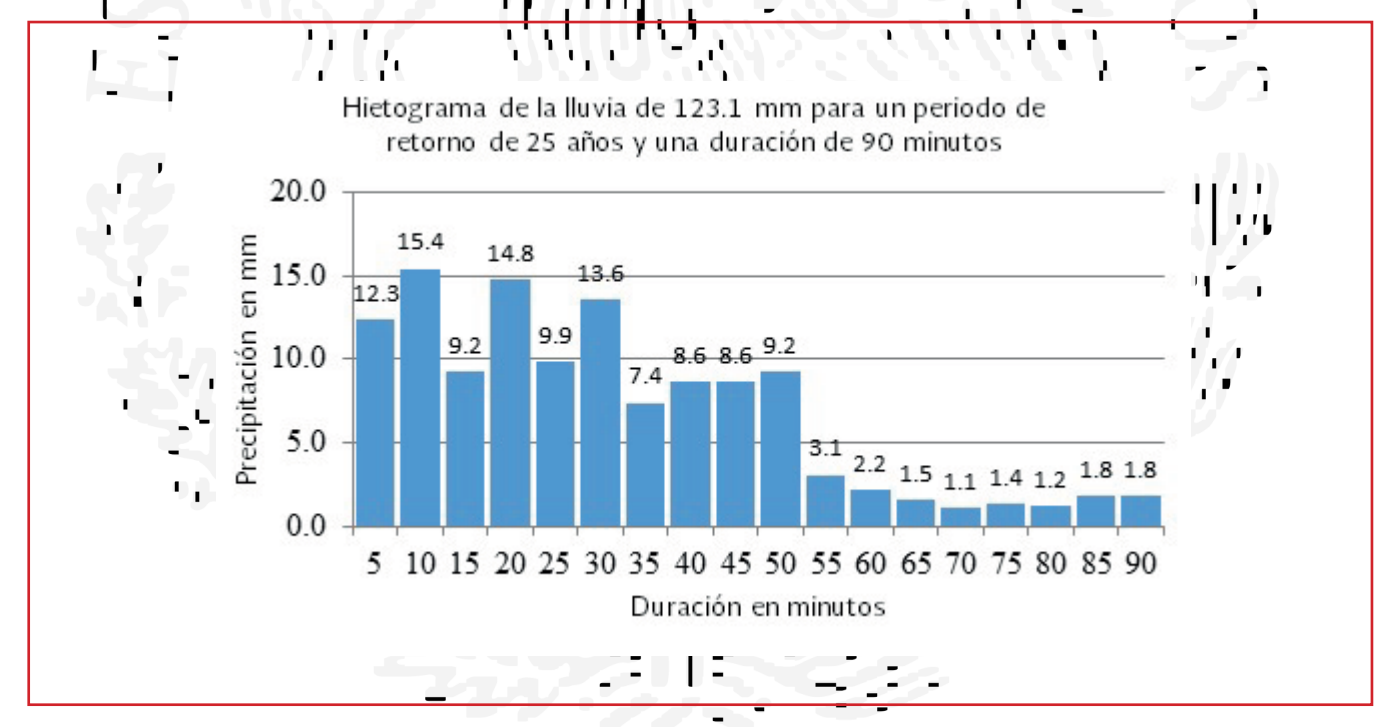


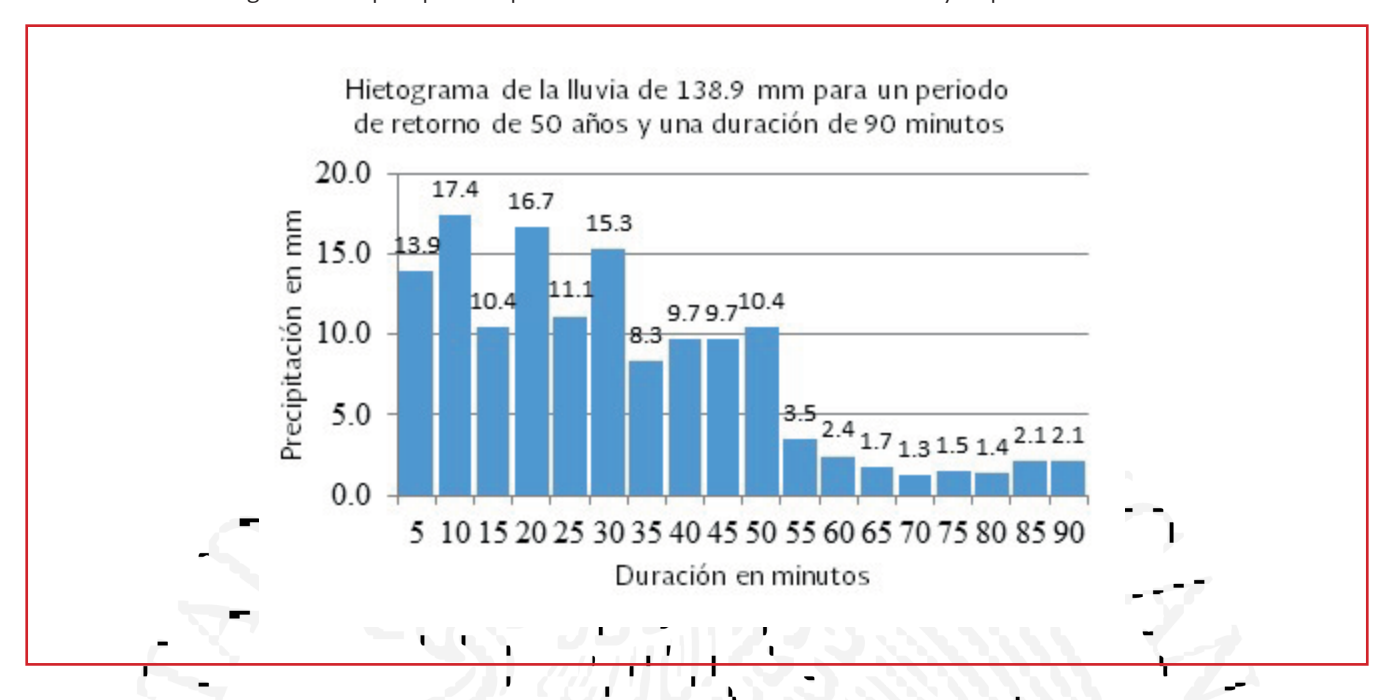








Ilustración 8.28 Hietograma de la precipitación para una duración de Iluvia de 90 minutos y un periodo de retorno de 50 años



llustración 8.29 Hietograma de la precipitación para una duración de lluvia de 90 minutos y un periodo de retorno de 100 años











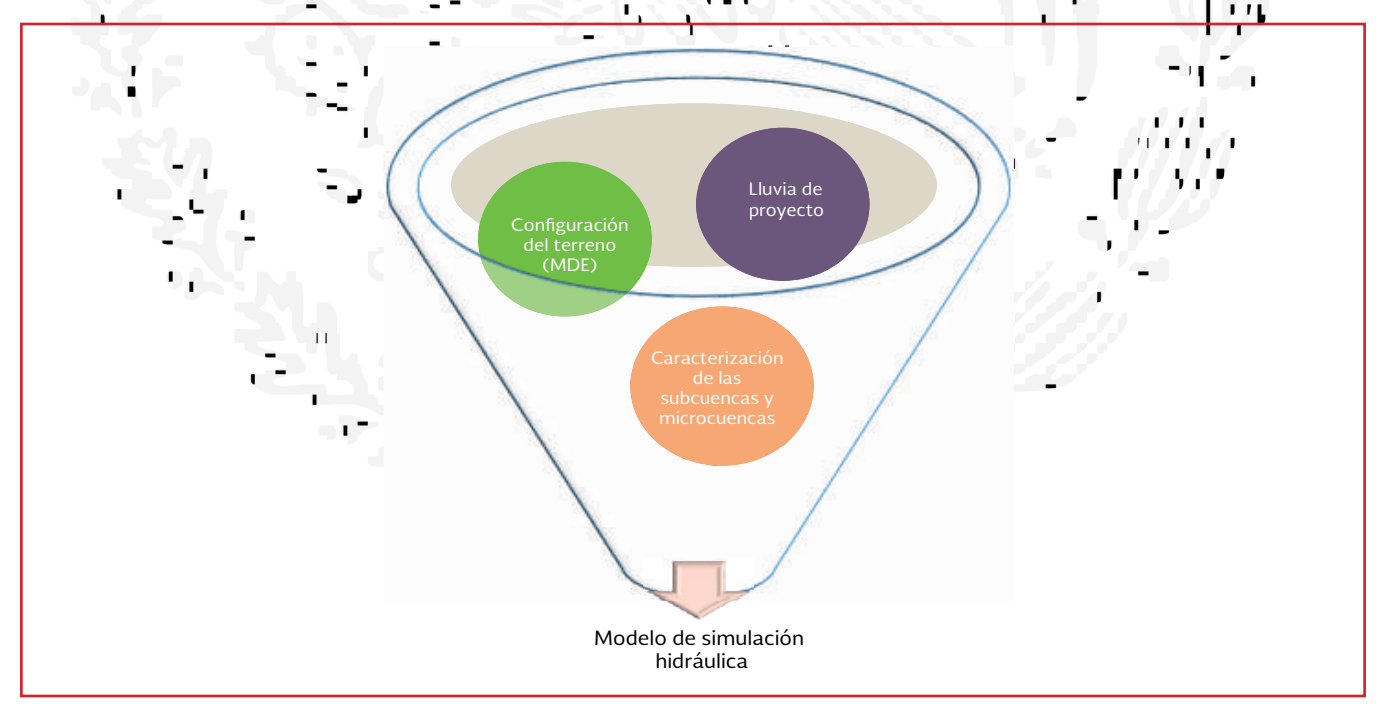
8.3. MODELO DE SIMULACIÓN HIDRÁULICA

Un modelo de simulación se puede definir como un instrumento o herramienta que permite representar el comportamiento de un sistema, mediante métodos matemáticos (ecuaciones) o físicos. A partir del siglo XX y con el auge de los equipos de cómputo, esta tarea de representar la realidad por medio de ecuaciones matemáticas se hizo menos compleja, porque los tiempos largos de procesamiento se han reducido y las capacidad de los equipos han aumentado de manera exponencial, a tal grado que en nuestro tiempo estas herramientas se encuentran al alcance de todos.

Los modelos de simulación hidráulica (que representa la realidad de los fenómenos relacionados con el agua por medio de ecuaciones matemáticas), se utilizan preferencialmente en el estudio de presas, redes de agua potable, alcantarillado y pluvial. Siendo un instrumento importante de diseño, revisión y control del sistema urbano. Para representar las condiciones de sitio, se requieren analizar y conocer las variables del sistema. Por lo que las variables principales que intervienen en estudio se presentan en Ilustración 8.30.

En los capítulos anteriores se generó la información necesario que requiere el modelo de simulación hidráulica, en el capítulo 6 se obtuvieron las lluvias de proyecto para diferentes probabilidades de ocurrencia, se construyó la configuración del terreno a través del MDE (con y sin infraestructura urbana), se delimitaron las subcuencas y migrocuencas de aportación y se caracterizaron a través de coeficientes de escurrimiento, uso del terreno, perímetro, longitud del cauce principal, rugosidad del terreno). Ahora se requiere analizar por medio de un programa que permita conocer la variación de los tirantes y velocidades.

llustración 8.30 Variables esenciales de un modelo de simulación hidráulica





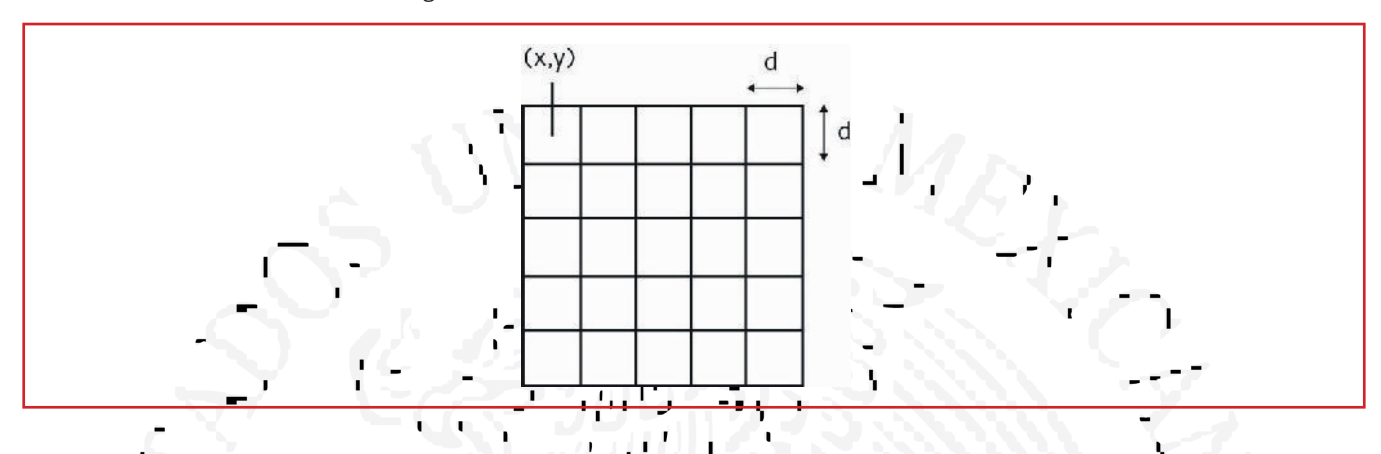






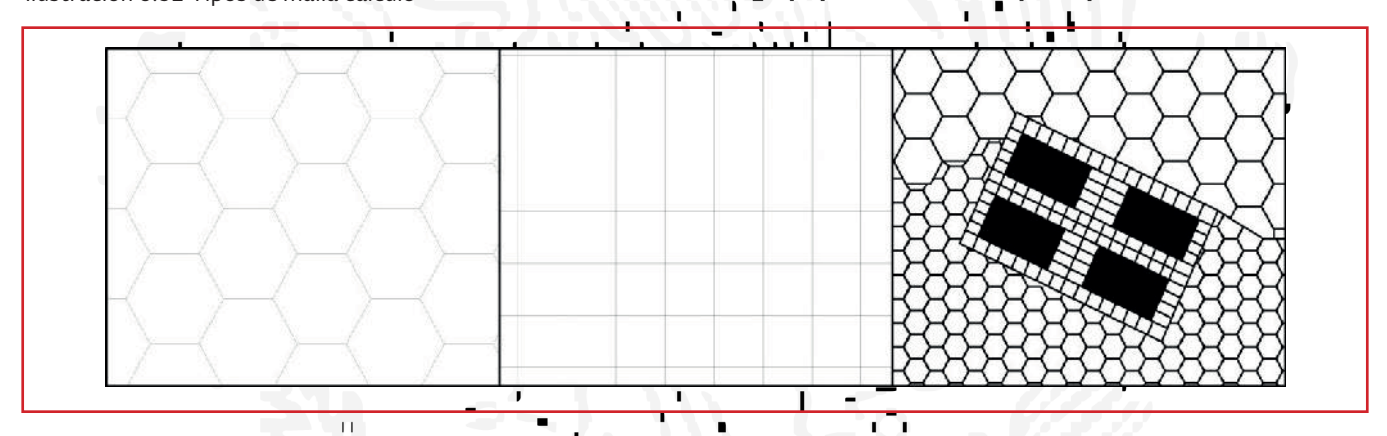
El modelo de simulación hidráulica utilizado es un modelo bidimensional, es decir si se encuentra en un plano de referencia x, y; el agua se pueda desplazar en ambos ejes en el tiempo, este desplazamiento se obtiene a partir de la solución numérica de las ecuaciones bidimensionales de Saint Venant por el método de diferencias finitas por medio de una malla de cálculo, ver Ilustración 8.31.

llustración 8.31 Malla de cálculo rectangular



Para generar un mallado, se toma una ponderación de las elevaciones de acuerdo con tamaño de la retícula, este valor permite analizar el sentido del flujo, la velocidad y nivel del agua para cada intervalo de análisis. Además se pueden trazar diferentes tipo de mallas (ver Ilustración 8.32)

Ilustración 8.32 Tipos de malla cálculo



8.4. PARÁMETROS DE SIMULACIÓN DE ALCANTARILLADO PLUVIAL

Con base en la información de topografía, planimetría y de uso de suelo se obtuvieron los parámetros hidrográficos de las microcuencas, mismos que serán usados para la conformación del modelo de simulación de colectores pluviales en la plataforma SWMM tal como se muestra en la Ilustración 8.33 y Ilustración 8.34.









Ilustración 8.33 Microcuencas en la plataforma de PCSWMM 2D

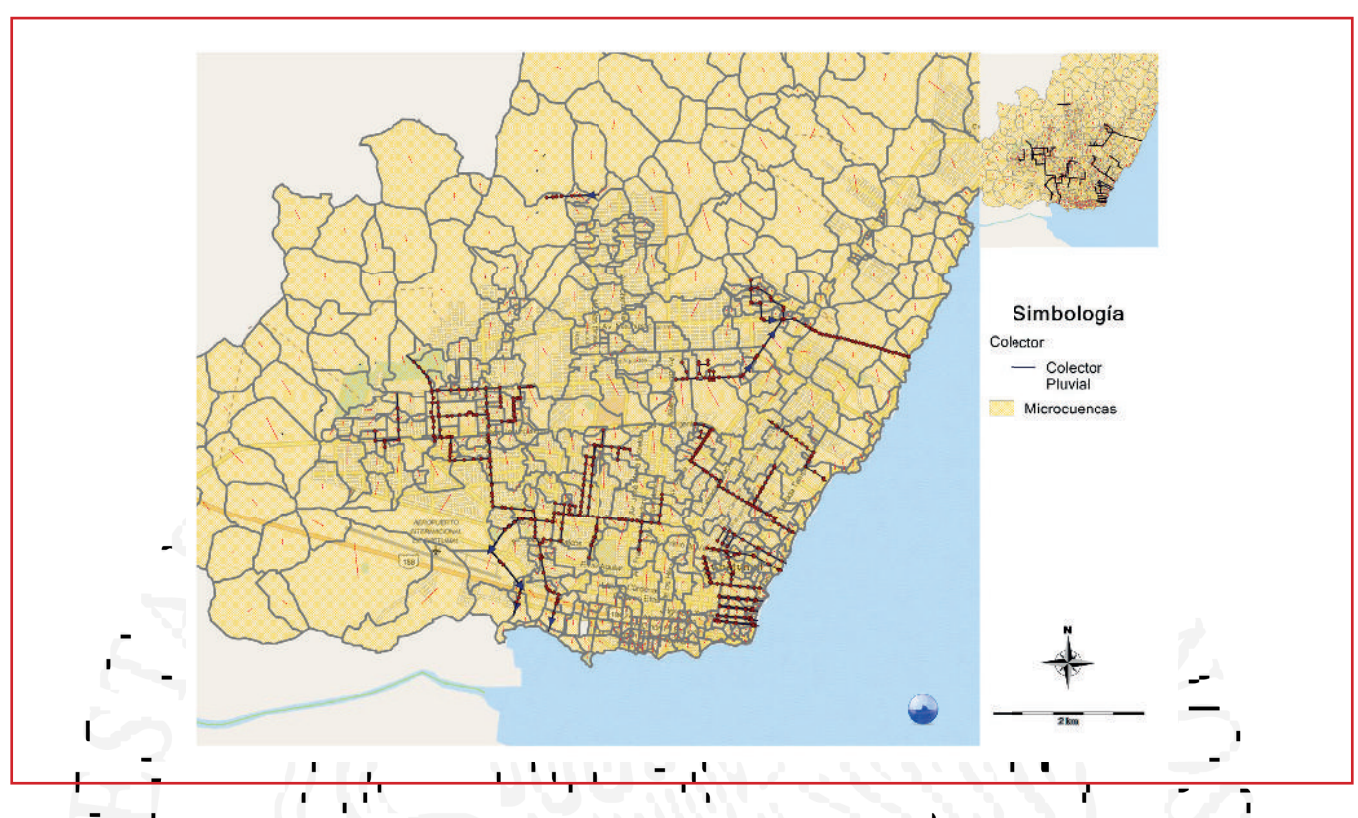
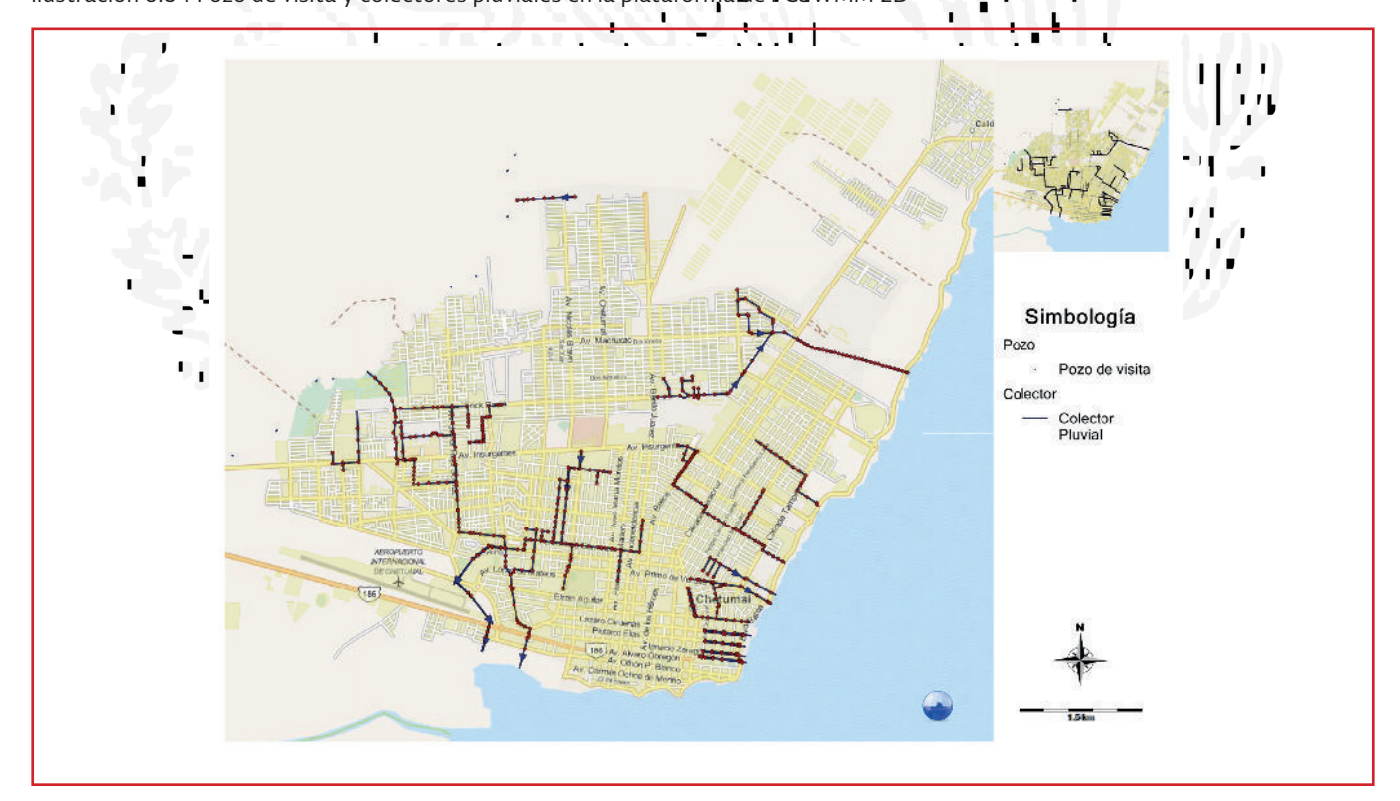


Ilustración 8.34 Pozo de visita y colectores pluviales en la plataforma de PCSWMM 2D





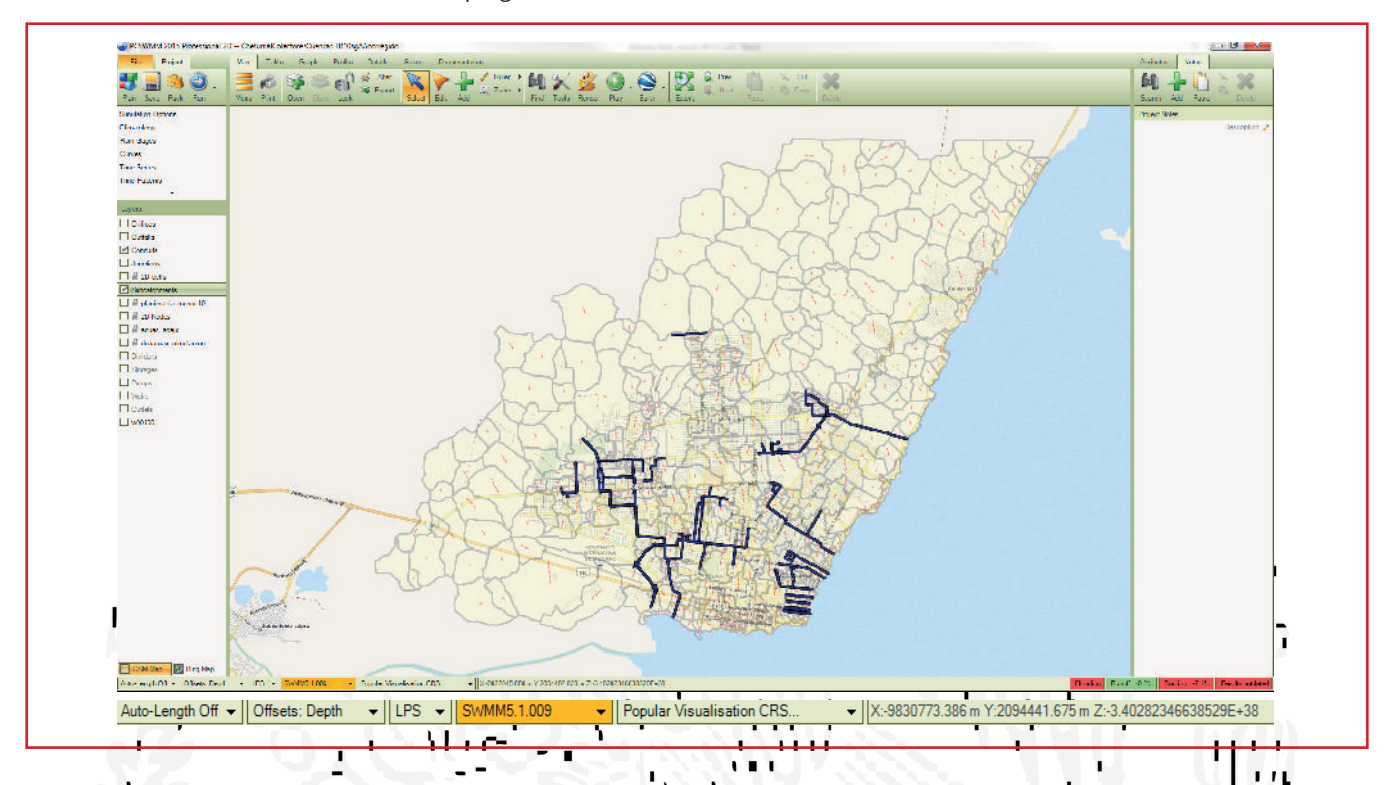






Para iniciar el proyecto se establecen los parámetros de cálculo: a) el análisis de los escurrimientos estará en unidades de l/s, no se activara el cálculo de la longitud automática de las tuberías y el análisis del tirante iniciara a partir de la profundidad inicial, ver Ilustración 8.35.

Ilustración 8.35 Parámetros del cálculo del programa 2D



Las opciones seleccionadas para la simulación serán: como método de infiltración el método de Horton, el método de cálculo hidráulico se realizará por medio de la onda cinemática, esta opción contribuirá a conocer el comportamiento del fluido con remansos.

El tiempo de análisis de la simulación se establece en una duración que dependerá el tiempo de lluvia introducido al programa.

Para el proceso de integración del modelo bidimensional, se comenzará por incorporar la lluvia, por ejemplo para un periodo de retorno determinado y utilizando una distribución predeterminada del programa la distribución seria como en la Ilustración 8.36.

Los datos que se introducirán son: la precipitación total (mm), la distribución de la lluvia (con un intervalo de 5 min para lluvia tipo y 10 minutos de los datos obtenidos por las EMAS), ver Ilustración 8.37.

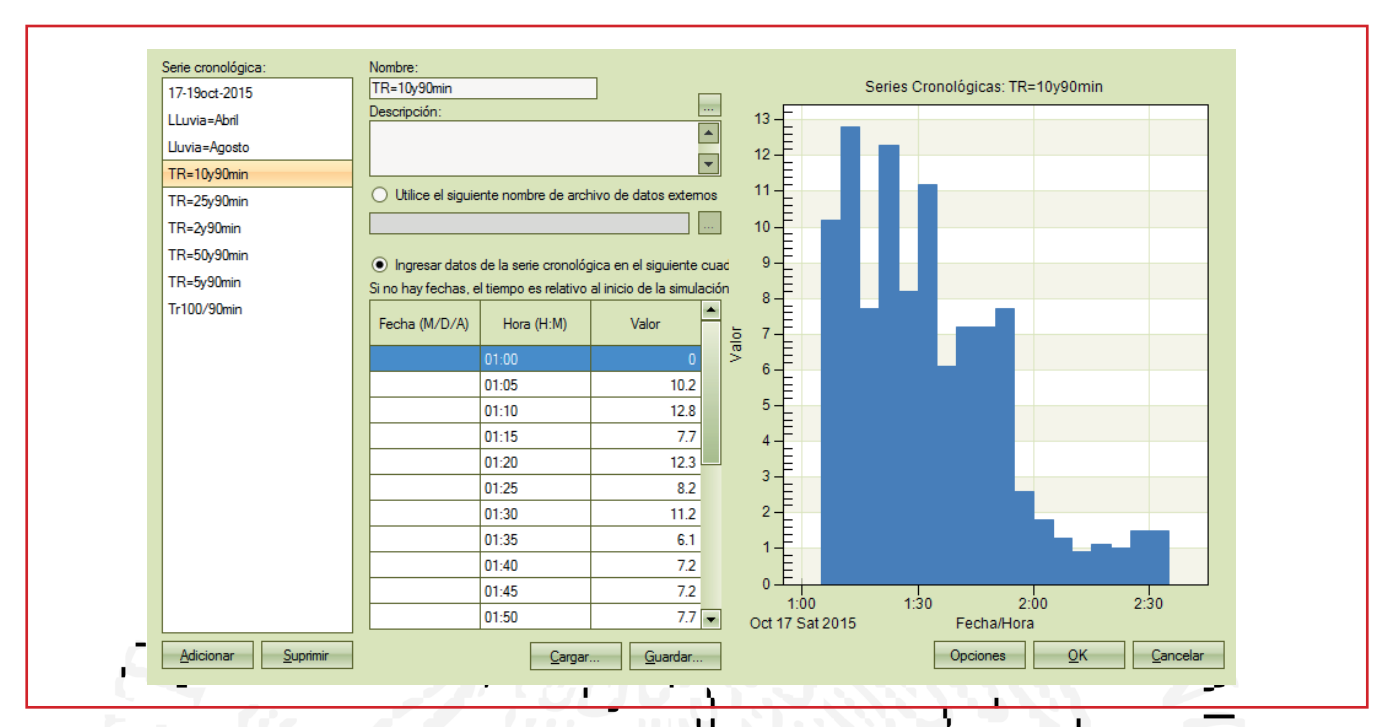


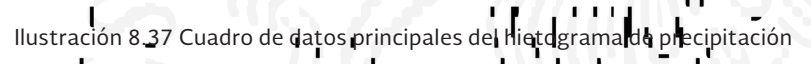


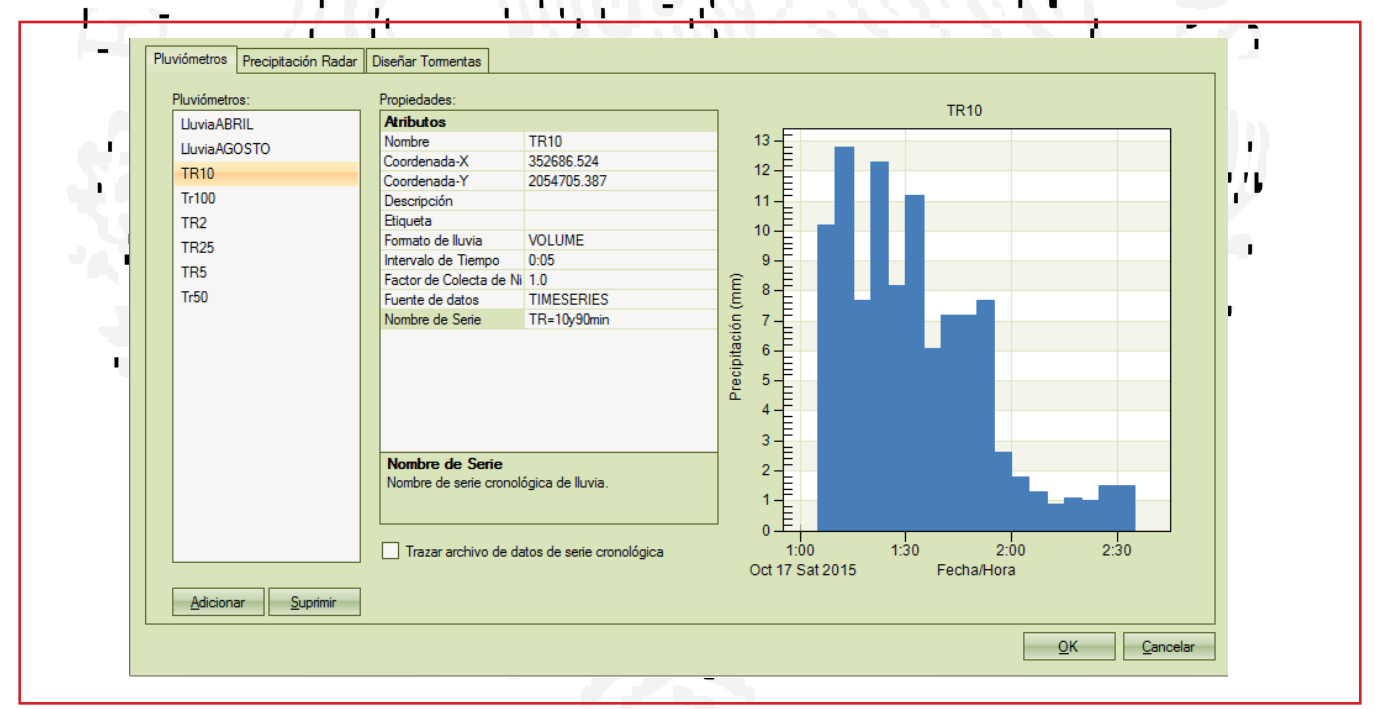




Ilustración 8.36 Distribución de la Iluvia con el método SUCS.









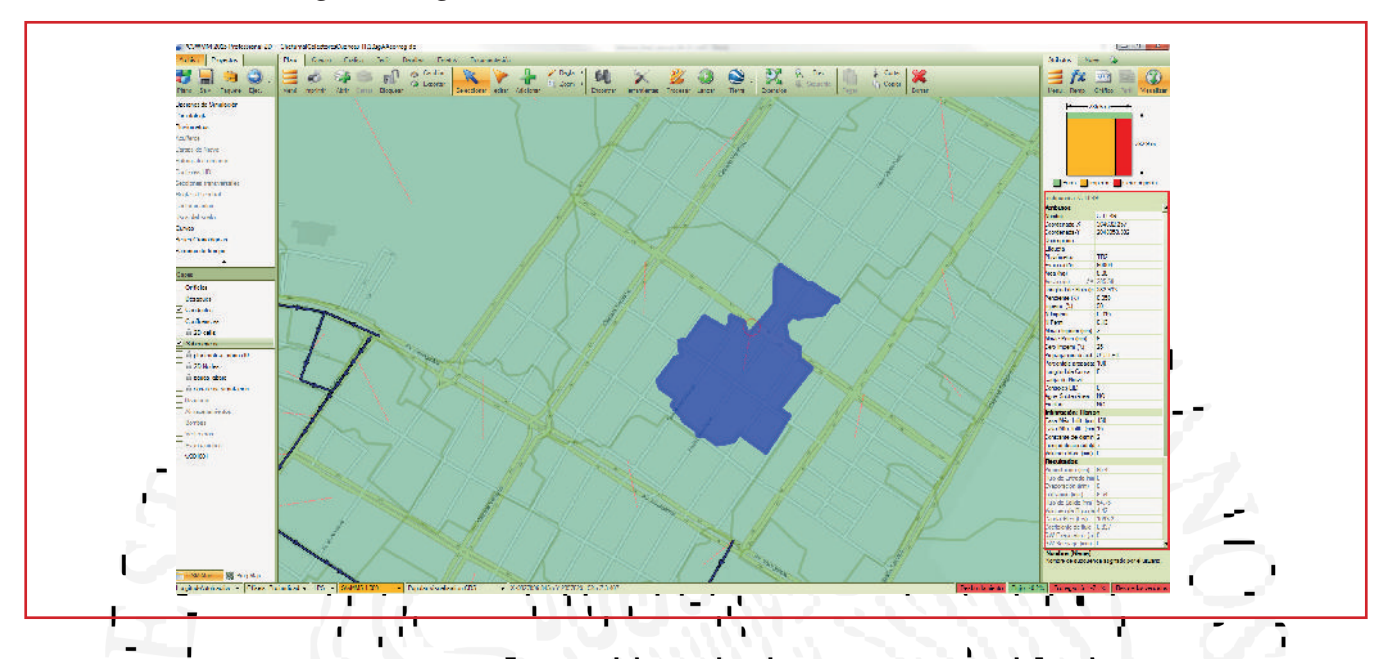






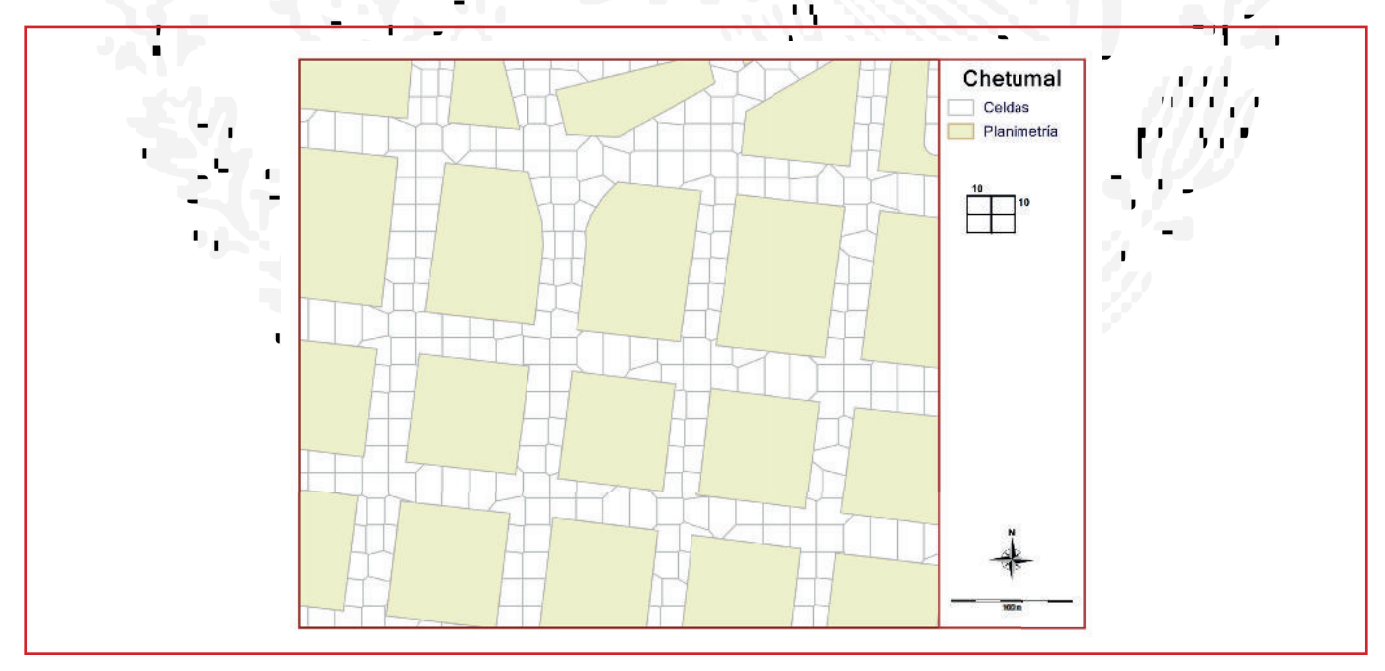
Para las subcuencas y microcuencas, el programa requiere de los parámetros geomorfológicos (área, pendiente de la cuenca, porcentaje impermeable, coeficientes de rugosidad y de almacenamiento), por lo que por medio de la base de datos generada en arcgis, el programa puede obtener los valores requeridos, ver Ilustración 8.38.

Ilustración 8.38 Parámetros geomorfológicos de la cuenca



Para la malla de análisis del escurrimiento, se generó con retícula cuadrangular de 20 x 20 m, con la cual se realizaran los cálculos para conocer los sentidos del flujo, ver llustración 8.39.

Ilustración 8.39 Dimesnionamiento de la malla de cálculo





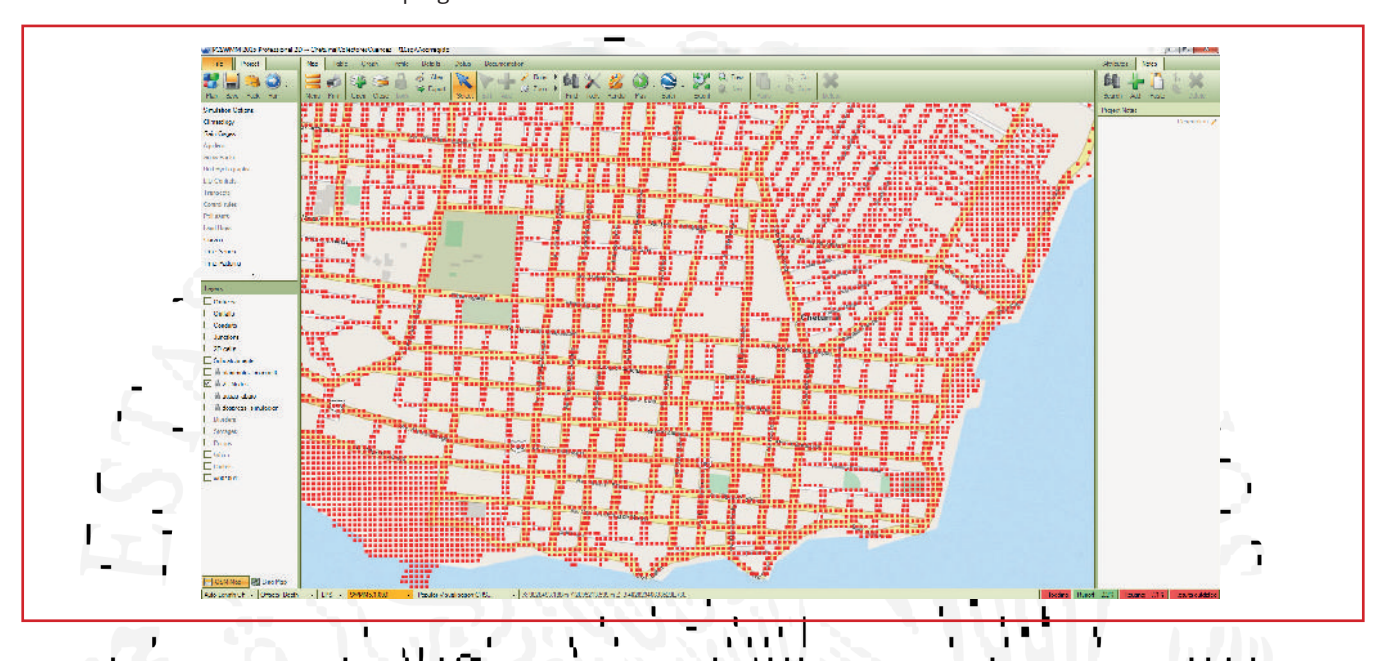






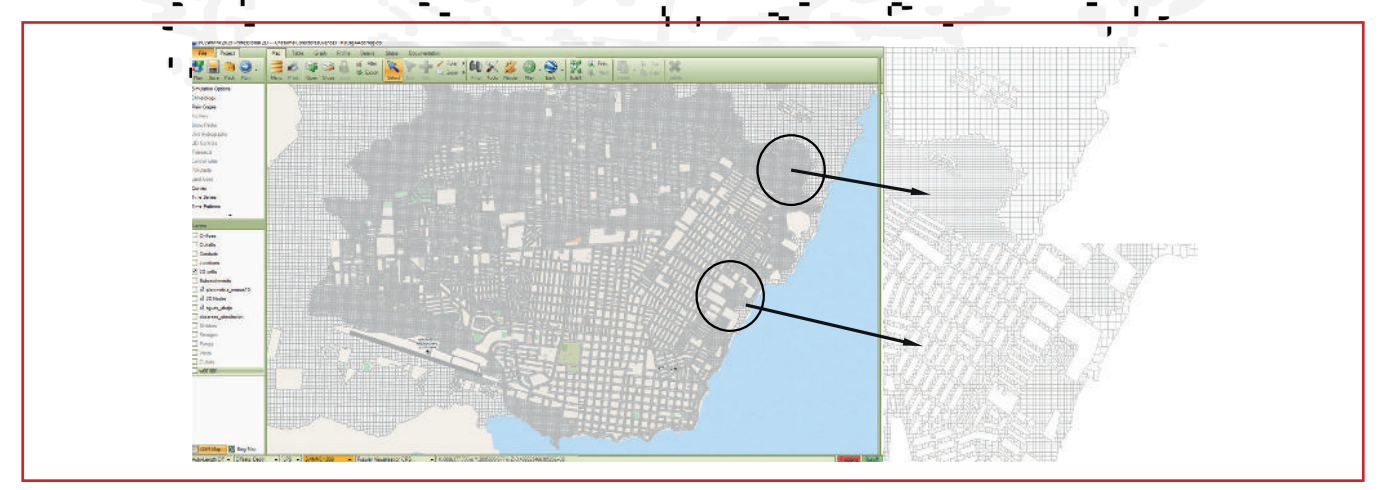
Parte de los procesos realizados es la obtención de los nodos para la generación de la malla de cálculo, se decidió utilizar una malla de cálculo irregular que no s ayudara a reducir los tiempo de procesamiento en lugares donde no se requieran un detalle especifico (fuera del área del estudio), se tomaron en cuenta las obstrucciones (manzanas), para la zona urbana se ubicaron nodos a una distancia de 15 metros, en las lagunas se colocaron nodos a 50 y 100 metros de distancia. El resultado de los nodos obtenidos se presenta en la Ilustración 8.40:

llustración 8.40 Nodos de cálculo del programa 2D



El proceso continúa con la generación de la malla de cálculo, con las diferentes distancias de los nodos se construyó una malla irregular, que en la zona urbana contara con oeldas rectangulares y en la zona de las lagunas forma hexagonal, con esto se considera una mayor resolución en la parte de las colonias de estudio, ver Ilustración 8.41.

llustración 8.41 formas de la celda utilizadas en el modelo matemático





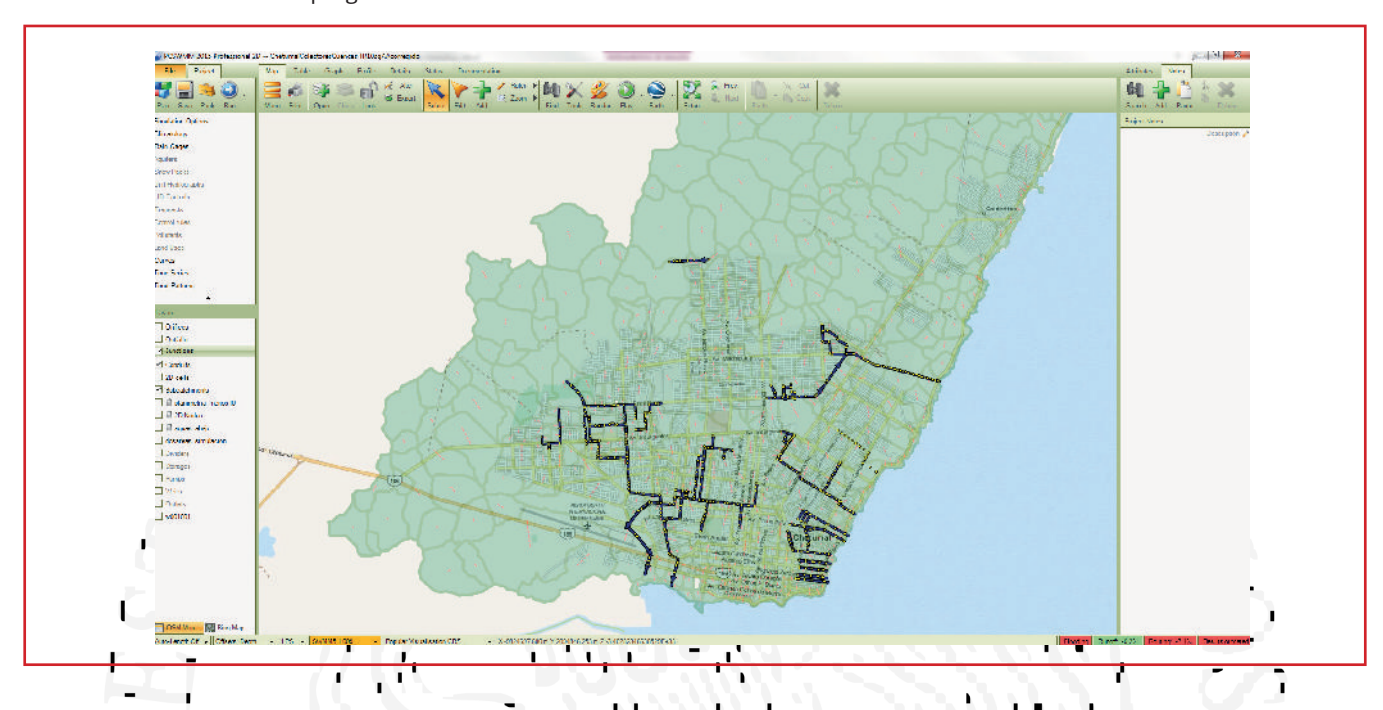






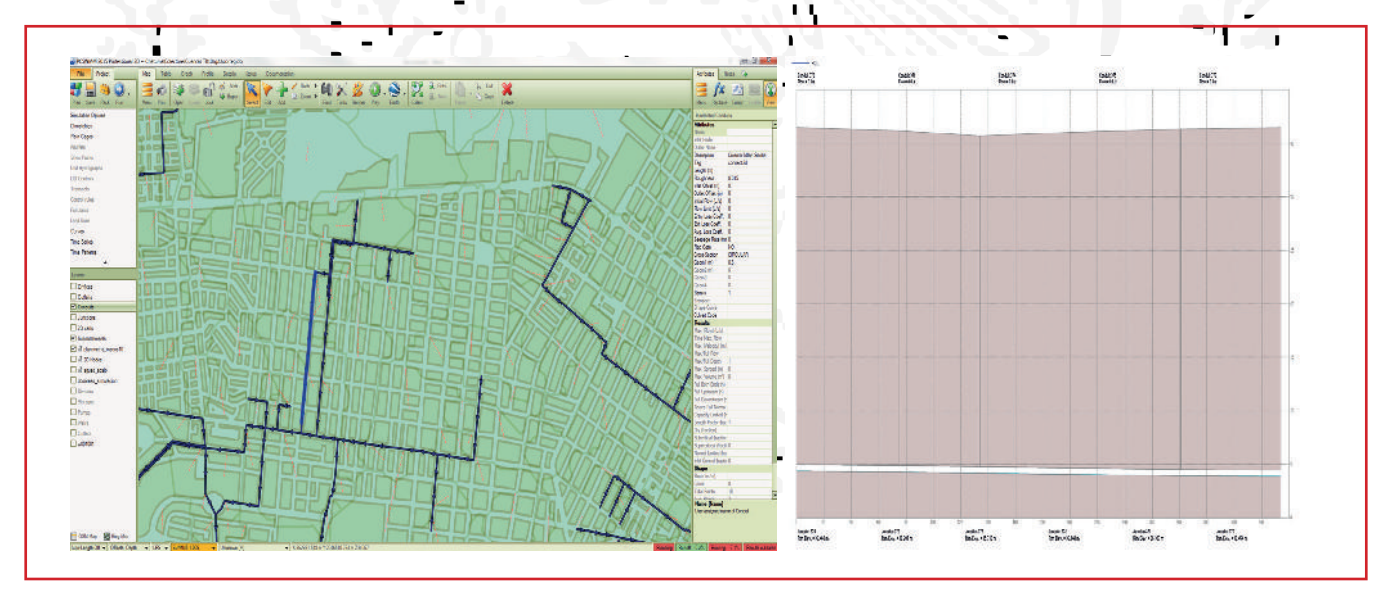
La Ilustración 8.42 presenta la interfaz del programa PCSWMM, en donde se tiene de color azul los conductos, como puntos los cruces de las calles y de color verde las subcuencas y microcuencas de aportación.

llustración 8.42 Interfaz del programa PCSWMM 2D



Ademas, se considero el realizar secciones de control, para conocer el comportamiento del flujo en diferentes interválos de tiempo (ver Ilustración 8.43).

llustración 8.43 Sección trasversal de una calle











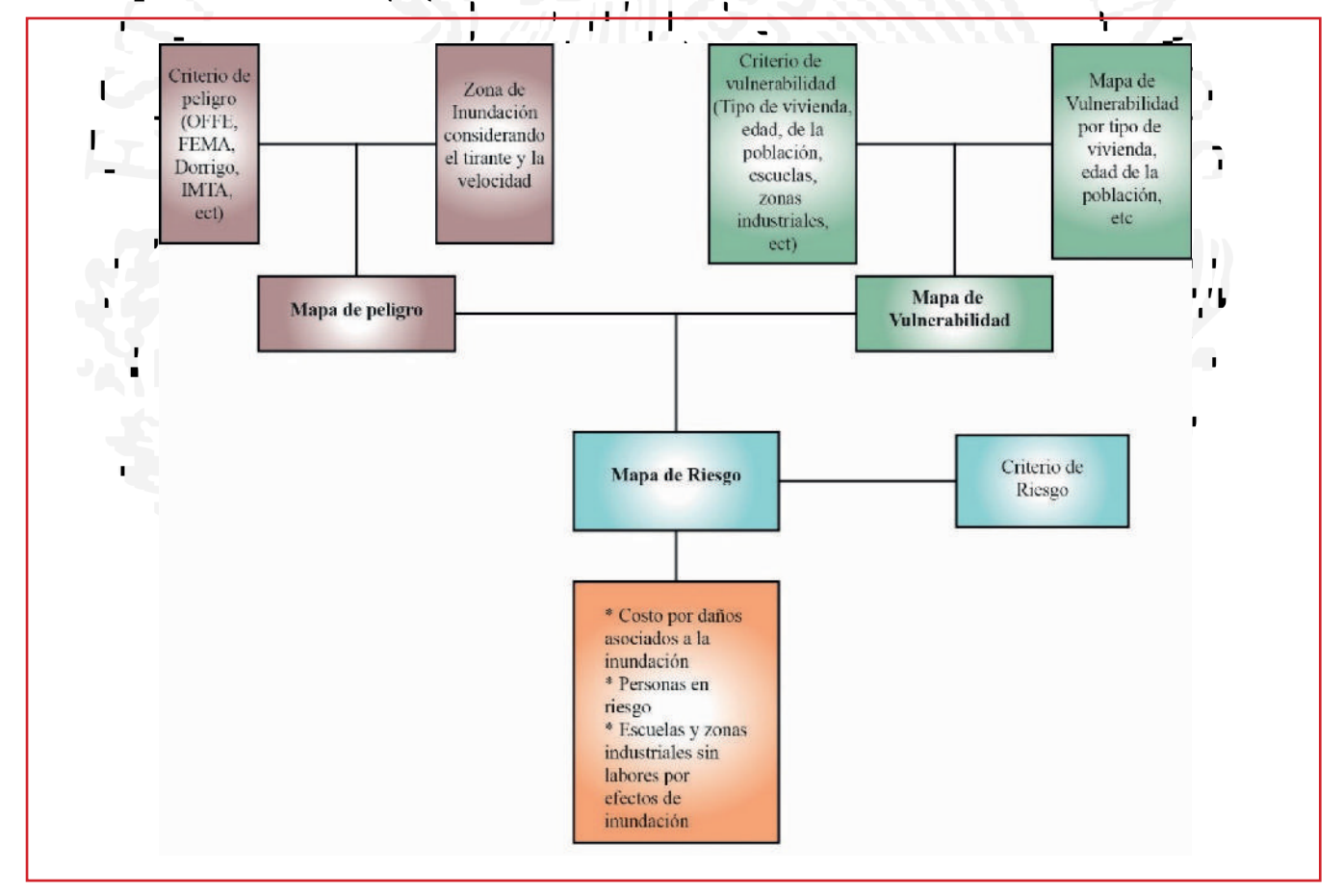
8.5. MAPAS DE RIESGO POR INUNDACIÓN EN LA ZONA URBANA DE CHETUMAL

Los mapas de riesgo se definen de acuerdo con lo descrito por Rodríguez et al (2015), donde en la Ilustración 8.44 primero se determinan los mapas de peligro a partir de un criterio definido y con base en el análisis hidráulico realizado con el modelo en dos dimensiones, en el que se calculan los tirantes y velocidades a lo largo de la ciudad, esto para las lluvias con diferentes periodos de retorno.

Asimismo se obtienen los mapas de vulnerabilidad, de acuerdo a un criterio definido, éste puede calcularse con base en el tipo de vivienda, edad de las personas, zonas escolares, zonas industriales, etc.

La unión del mapa de petigro y el mapa de vulnerabilidad y con base en un criterio de riesgo permite calcular los mapas de riesgo, de los cuales se obtienen los costos por daños generados por la inundación para diferentes periodos de retorno.

llustración 8.44 Metodología para definir los mapas de riesgo (Rodríguez et al, 2015)











8.5.1. METODOLOGÍA PARA LOS MAPAS DE VULNERABILIDAD Y SU APLICACIÓN EN LA CIUDAD DE CHETUMAL

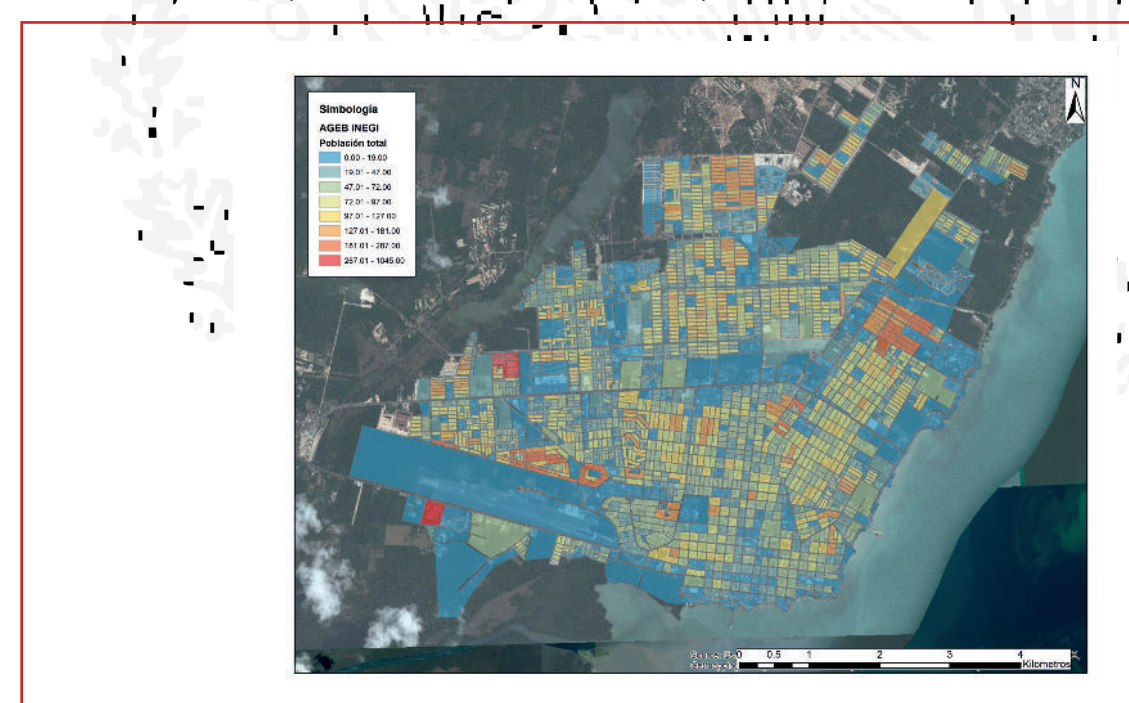
La metodología propuesta por Rodríguez et al (2015), toma como referencia información que previamente ya ha sido levantada en campo por el INEGI y que es de utilidad para la generación de los mapas de vulnerabilidad a un costo mínimo.

Para obtener los mapas de vulnerabilidad se considera la información contenida en las Áreas Geoestadística Básica (AGEB) que genera el INEGI, la información está contenida en archivos shape file y en éstos se puede encontrar información referente al nivel socioeconómico de la población, población económicamente activa, tipo de vivienda y número de habitantes, entre otros. En total el AGEB contiene 190 variables analizadas por manzana, pero varía dependiendo de lugar en el cual se llevó a cabo el censo.

8.5.1.1.Población afectada

Con los datos del AGEB, también es posible conocer la población afectada por manzana, en la Ilustración 8.45, se presenta en tonos rojos las manzanas que tienen una mayor población por manzanas (hasta 1 045 habitantes), caso contrario en color azul se tiene las manzanas con unas menores residentes (teniendo casos menores a 10 habitantes).

llustración 8.45 Población por manzanas de la ciudad de Chetumal por el AGEB











8.5.1.2.Rangos de vulnerabilidad y tipos de daños

De acuerdo a una recopilación histórica de eventos extremos realizada por CENAPRED – SEGOB, en la cual trataron de estimar la vulnerabilidad de cada municipio que componen el país, en la cual se tomó en cuenta la ocurrencia de decesos y monto en daños generados por algún evento hidrometeorológico, se elaboró la clasificación de la vulnerabilidad (ver Tabla 8.4) en donde se establecen tres rangos:

Vulnerabilidad Alta, en el que se presentan decesos, daños extraordinarios a las edificaciones y en el cual se ubicaron asentamientos irregulares dentro de los cauces de ríos y arroyos, así como en planicies de inundación o comunidades localizadas aguas abajo de obras hidráulicas como presas o bordos.

Vulnerabilidad Media, no se presentan decesos y los daños a la infraestructura de la ciudad son moderados.

Vulnerabilidad Baja, no se presentan asentamientos irregulares y el sistema de drenaje es eficiente

Tabla 8.4 Clasificación de la vulnerabilidad (CENAPRED - SEGOB, 2013)

| Vulnerabilidad | Efectos |
|----------------|--|
| Alta | Decesos |
| | Daños Extraordinarios |
| | Asentamientos irregulares en cauces, planicies de inundación o agua abajo de presas o bordos |
| Media • | Sin Decesos |
| _ 3- 31 | Daño moderado |
| Baja | No hay asentamientos irregulares |
| | Sistema de drenaje eficiente |
| | Daños mínimos |

8.5.1.3. Mapas de vulnerabilidad de la población

De acuerdo con Rodríguez et al (2015), de la información contenida en el AGEB se seleccionan las variables que involucran a la población más vulnerable, para esto se eligen la población mayor a 60 años y la población menor a cinco años. Ya que en caso de tener una emergencia de tipo hidrometeorológica son los más vulnerables. Con esta información se calcula el Índice de población vulnerable por manzana con la ecuación siguiente.

En la Tabla 8.5, se muestra el rango de vulnerabilidad dela población de acuerdo a la edad calculado con el índice de población vulnerable. En la Ilustración 8.46, se muestran las manzanas más vulnerables de acuerdo a la edad de la población.



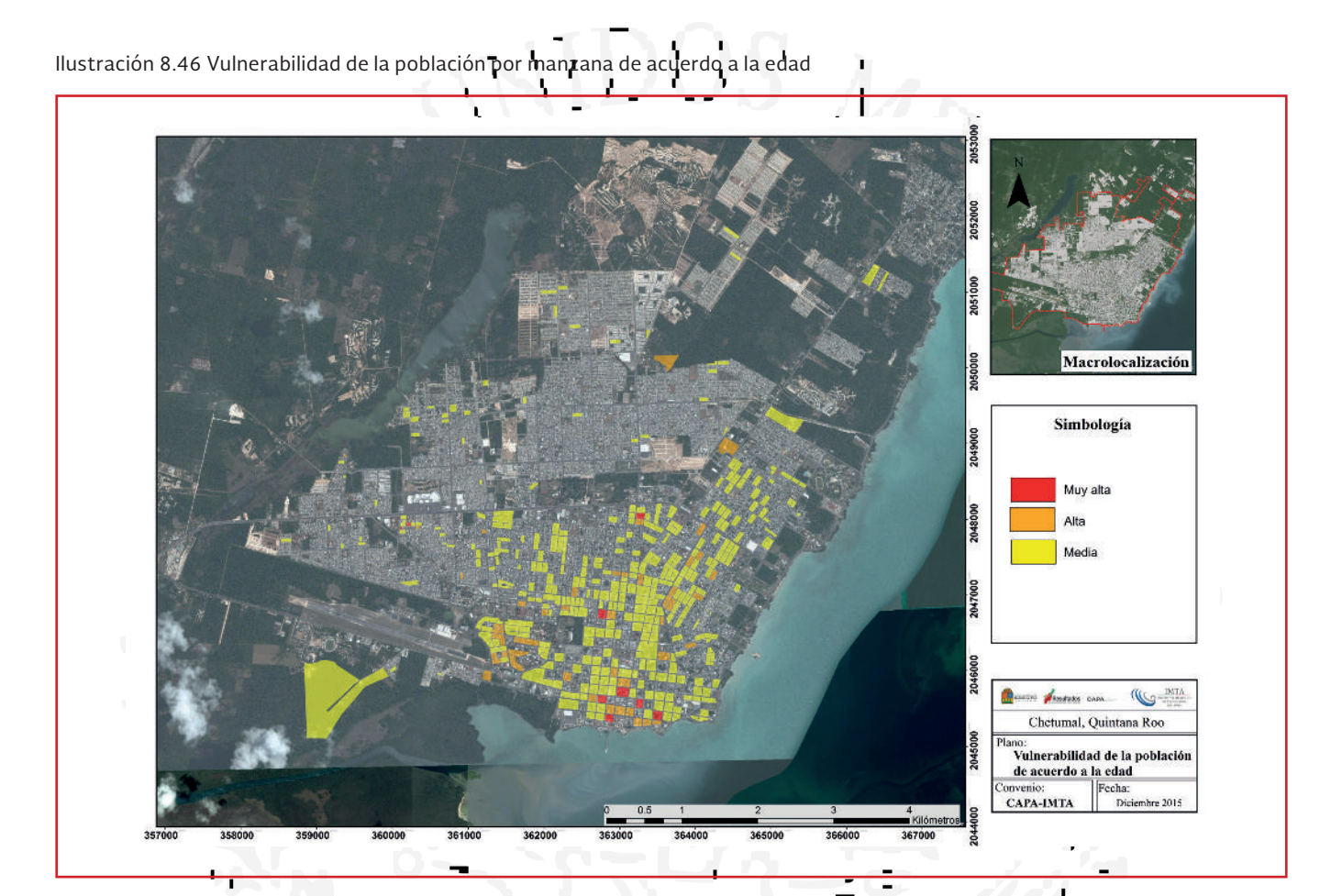






Tabla 8.5 Rango de Vulnerabilidad de la Población de acuerdo la edad (Rodríguez et. al, 2015)

| Vulnerabilidad | Índice de Población |
|----------------|---------------------|
| Muy Alta | > 0.40 |
| Alta | 0.31-0.40 |
| Media | 0.21-0.30 |
| Baja | 0.01-0.20 |
| Muy baja | 0.0-0.01 |



8.5.1.4.Mapa de vulnerabilidad considerando las viviendas con piso de tierra

En la parte de la vulnerabilidad de la infraestructura se determinó con base en un estudio de la Secretaria de Desarrollo Social (SEDESOL, 2013) que permite estimar las viviendas en pobreza. La SEDESOL especifica el Índice de Vivienda vulnerable en el cual se consideran las viviendas con piso de tierra o viviendas sin electricidad. El índice se calcula por manzana de acuerdo a la ecuación siguiente.

 $\label{eq:indicedevivienda} \textit{Indice de vivienda vul nerable} = \frac{\textit{Vivienda con piso de tierra}}{\textit{Viviendas totales}}$

Ecuación 8.3







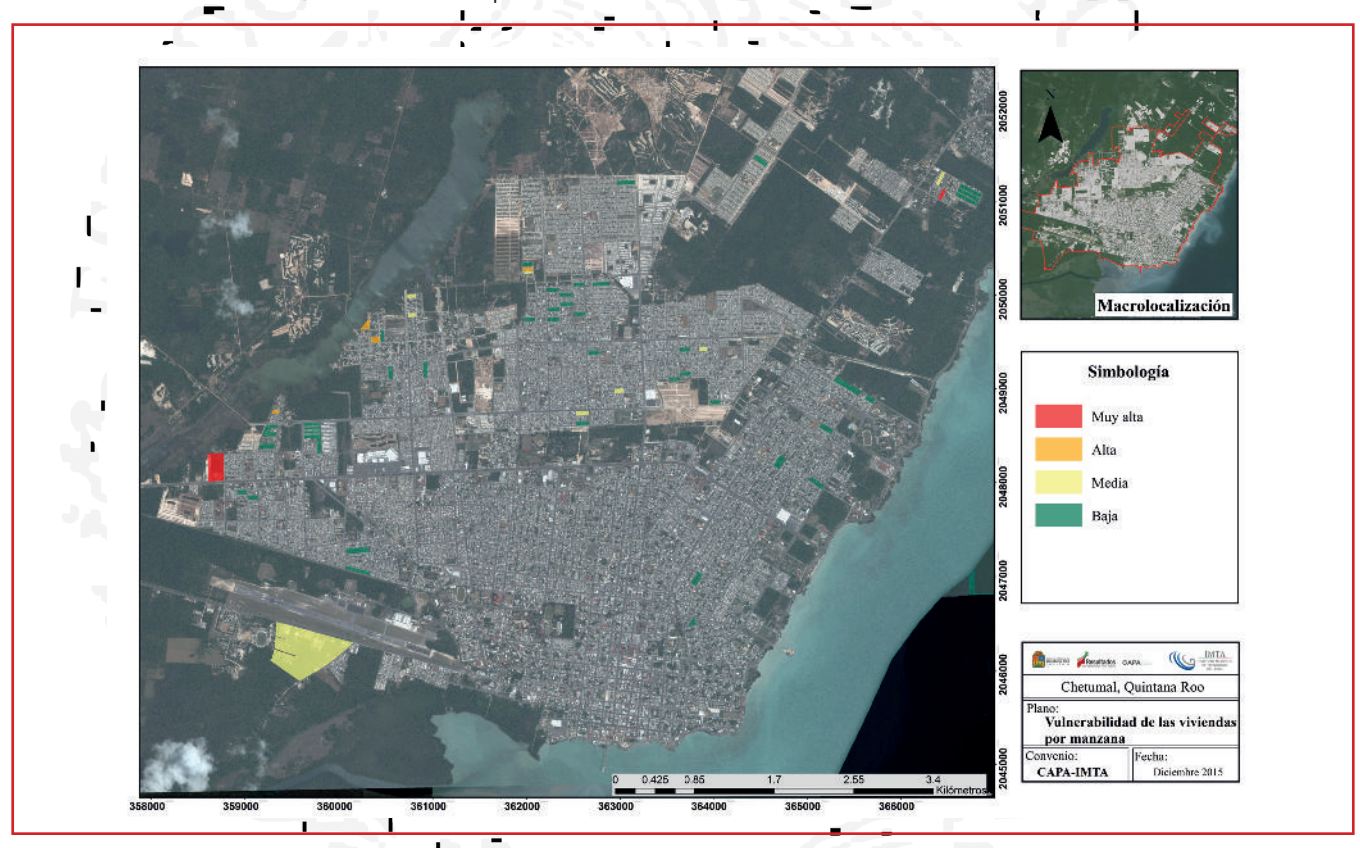


En la Tabla 8.6, se muestran los rangos de vulnerabilidad de las viviendas considerados para la generación del mapa de vulnerabilidad mostrado en la Ilustración 8.47, las zonas más desprotegidas se ubican en la parte norte de la ciudad y en la zona sur este de la misma.

Tabla 8.6 Rango de Vulnerabilidad de las viviendas (Rodríguez, 2015)

| | Vulnerabilidad | Índice de viviendas con piso de tierra |
|----------|------------------------|--|
| Muy Alta | | > 0.40 |
| Alta | | 0.31-0.40 |
| Media | | 0.21-0.30 |
| Baja | (/ / / LL / / / / / / | 0.01-0.20 |
| Muy baja | | 0.0-0.01 |

Ilustración 8.47 Vulnerabilidad de las viviendas por manzana



Para obtener el mapa de vulnerabilidad de las ciudad se considera la unión entre el mapa de vulnerabilidad de la población más el mapa de vulnerabilidad de las viviendas (ver Ilustración 8.48), en este se considera la población, así como las viviendas vulnerables.

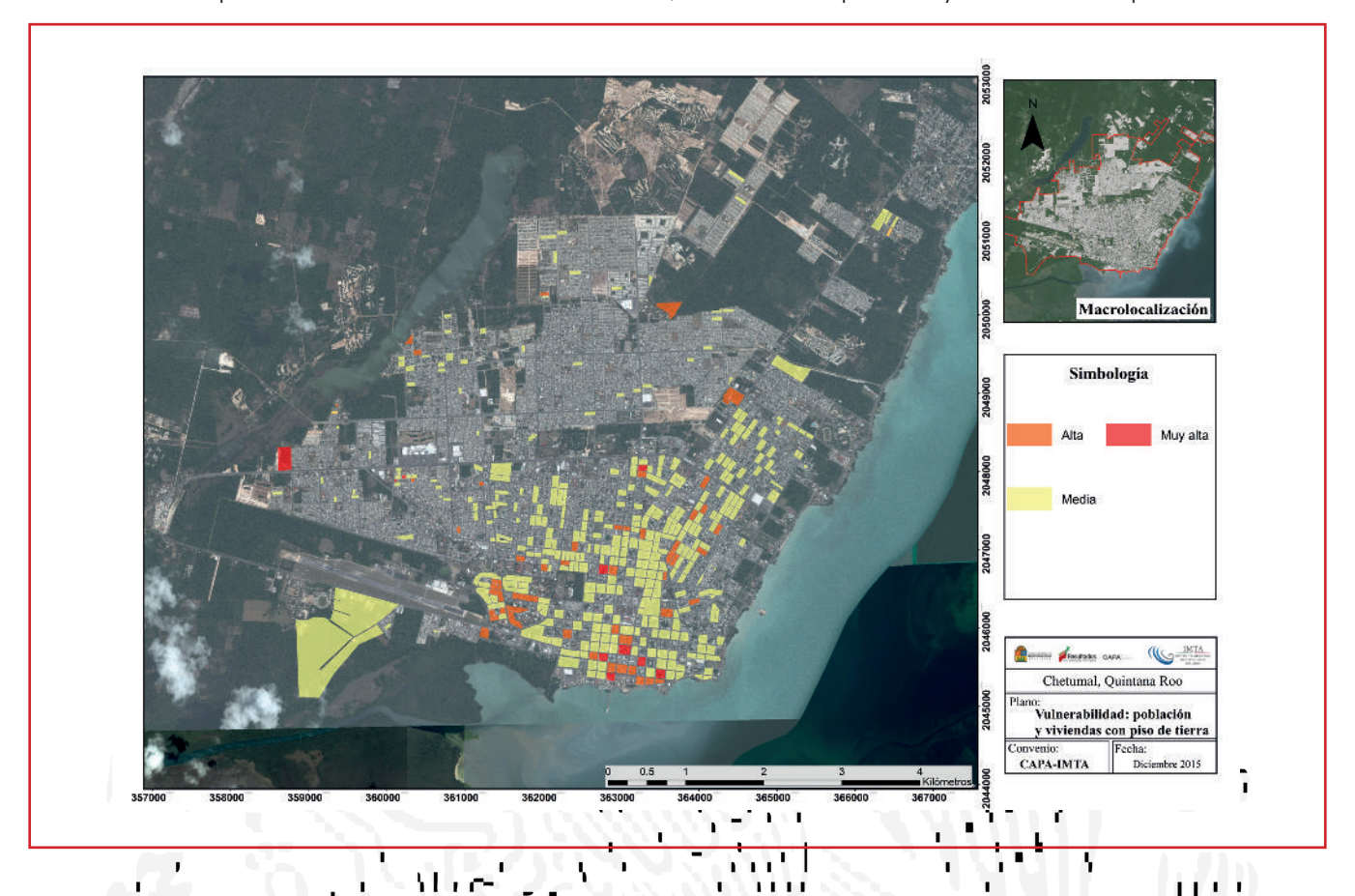








Ilustración 8.48 Mapa de vulnerabilidad de la ciudad de Chetumal, considerando la población y las viviendas con piso de tierra



8.5.1.5.Mapa de vulnerabilidad por tipo de vivienda

La metodología propuesta por Rodríguez et al (2015), utiliza los datos por manzana, el número de viviendas particulares habitadas con un solo cuarto, viviendas particulares habitadas con dos cuartos; viviendas particulares habitadas con 3 cuartos y más, además de la población económicamente activa, con esta información se puede determinar los tipos de vivienda y por tanto el grado de vulnerabilidad de las construcciones para la ciudad de Chetumal, Quintana Roo; como se indica en la Tabla 8.7 y con base en las características encontradas se genera el mapa de vulnerabilidad de la ciudad, ver Ilustración 8.49

Tabla 8.7 Vulnerabilidad por tipo de vivienda obtenida del análisis de información contenida en la AGEB (IMTA, 2015)









Tabla 8.7 Vulnerabilidad por tipo de vivienda obtenida del análisis de información contenida en la AGEB (IMTA, 2015)

| Construcción de vivien- das en la manzana | Color | Descripción | Vulnerabilidad | Costo del menaje |
|--|----------|--|----------------|---|
| Tipo I | Rojo | Para este rubro se consideró como indicador la relación entre el número de viviendas particulares habitadas con un solo cuarto entre el total de viviendas, si la relación por manzana es mayor a 0.20 entonces las construcciones de la manzana se considera que es del Tipo I | Alta | \$12,500.00 |
| Tipo II | | Para este tipo se consideró la relación de viviendas particulares habitadas con dos cuartos entre el Total de viviendas, si la relación esmayor a 0.20 y no está enlel Tipo I, se considera que las construcciones de viviendas en la manzana son del Tipo II. | Media | \$ 50,000.00 |
| Tipo III | Amarillo | En este caso se considera la relación entre viviendas particulares habitadas con tres cuartos o más entre el total de viviendas si el valor es mayor a 0.5 se evalúa entonces la relación entre la población económicamente activa entre la población total, que debe ser menor a 0.4, se deberán descartar las manzanas que caen en el Tipo I y II. | Baja | Menaje para casa de dos pisos \$ 150,500.00 Para el daño en menaje se considera la mitad de este costo, ya que las casas se consideran de dos pisos |
| Tipo IV | Verde | Se considera la relación entre viviendas particulares habitadas con tres cuartos o más entre el total de viviendas si el valor es mayor a 0.5 se evalúa entonces la relación entre la población económicamente activa entre la población total, que debe ser mayor 0.4, se deberán descartar las manzanas que están en los tipos anteriores. | Muy Baja | Menaje para casa de dos pisos - \$ 300,000.00 Para el daño se considera la mitad de este costo ya que las casas se consideran de dos pisos |

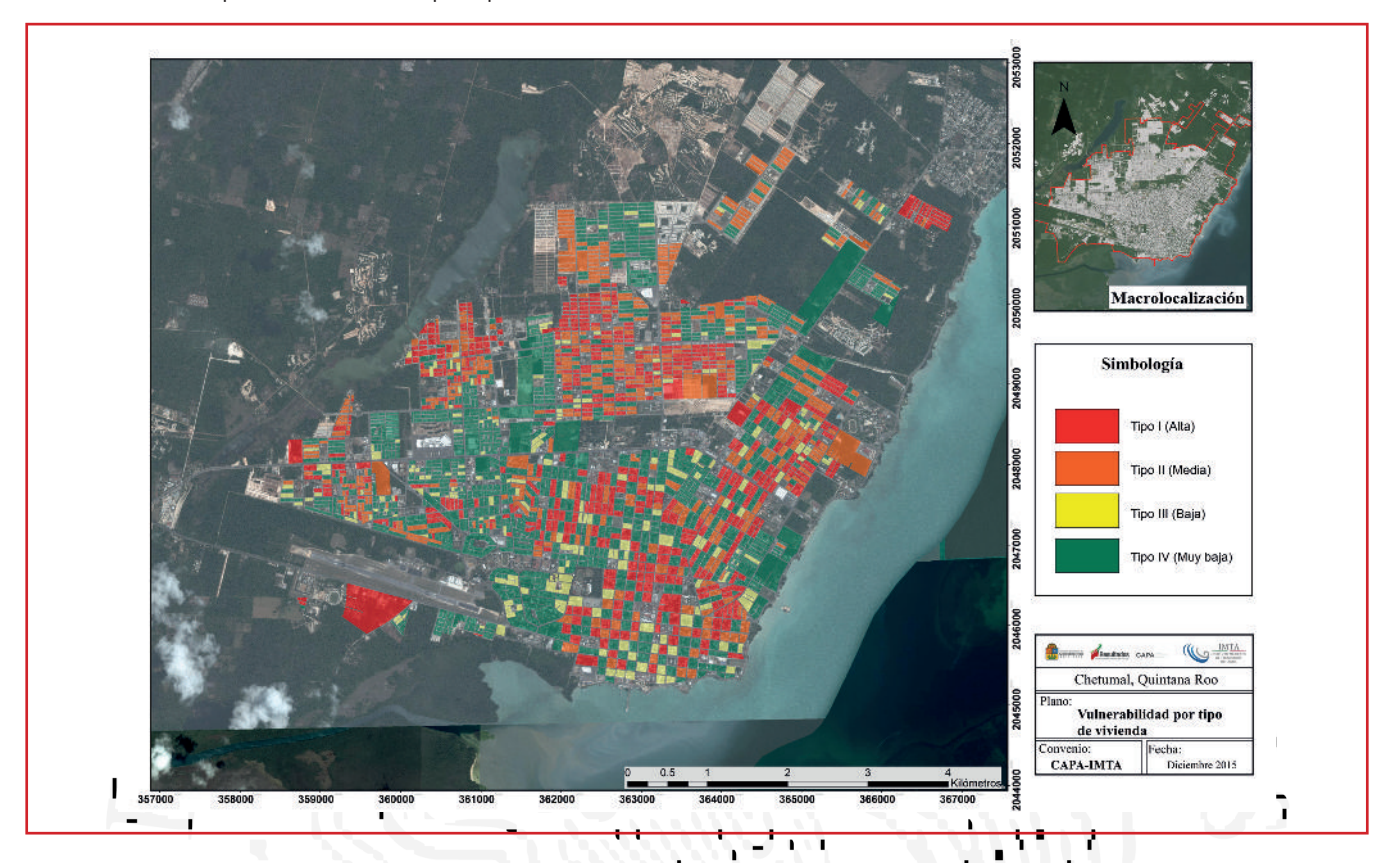








Ilustración 8.49 Mapa de vulnerabilidad por tipo de vivienda



8.5.1.6.Mapas de Peligro

El peligro de inundación se puede definir con base en ciertos criterios, éstos pueden ser el tirante y la velocidad del agua alcanzada en las calles, ríos o arroyos. Al desbordamiento del cauce natural de los ríos se le conoce como inundación fluvial. Cuando se debe a un escurrimiento de lluvias dentro de una zona urbana y después de saturarse el suelo su agua excedente dura horas o días se le denomina inundación pluvial. Existen otros fenómenos que pueden provocar una inundación, como las mareas altas que deriva que el nivel medio del mar sea rebasado provocando inundaciones costeras, otro fenómeno que puede provocar una inundación son los tsunamis, o la falla de una obra hidráulica (CENAPRED, 2006).

El criterio utilizado para la generación de mapas de peligro es el denominado Dórrigo, debido a que de una evaluación realizada por Rodríguez et al (2015), determina que este método genera un valor máximo en los factores de peligro medio y alto, esto corresponder a tener una mayor prevención en la vulnerabilidad de la población y sus bienes.



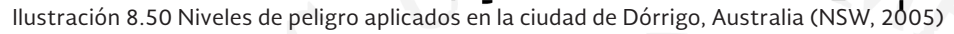


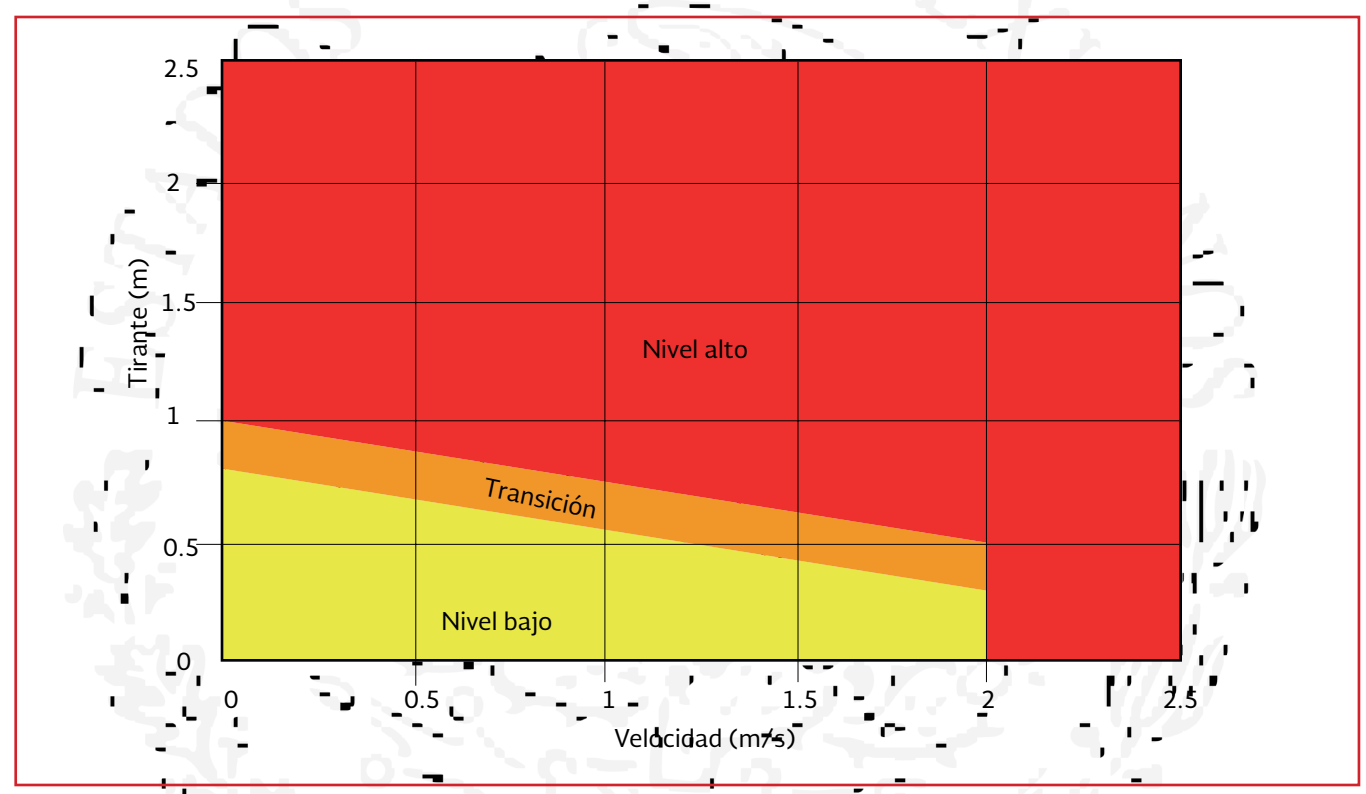




8.5.1.7. Criterio de peligro del gobierno de Gales del Sur; New South Wales Goverment

El lugar de aplicación de este criterio fue la ciudad de Dórrigo, Australia, donde se generaron mapas de peligro con base en el criterio de profundidad y velocidad del agua como el mostrado en la Figura 3, en el que se definen tres rangos de peligro (NSW, 2005). En el nivel alto se especifica que la evacuación por vehículos es difícil, además los adultos tiene dificultad para para cruzar las calles con seguridad y existe un potencial daño estructural a las construcciones, en la zona de transición se menciona depende de la condiciones del lugar; y en el nivel bajo, se establece en caso necesario, que los vehículos pueden evacuar a las personas y sus posesiones, los adultos pueden tener una pequaña dificultad para cruzar las avenidas con seguridad, ver Ilustración 8.50





A partir del modelo de simulación ID-2D generado y de acuerdo al criterio Dórrigo se generaron los mapas de peligro por inundación en la ciudad de Chetumal. De la Hustración 8.51 a la Ilustración 8.56 se aprecian para las diferentes precipitaciones que corresponden a un periodo de retorno de 2, 5, 10, 15,50 y 100 años









llustración 8.51 Evaluación de peligro para un periodo de retorno de 2 años

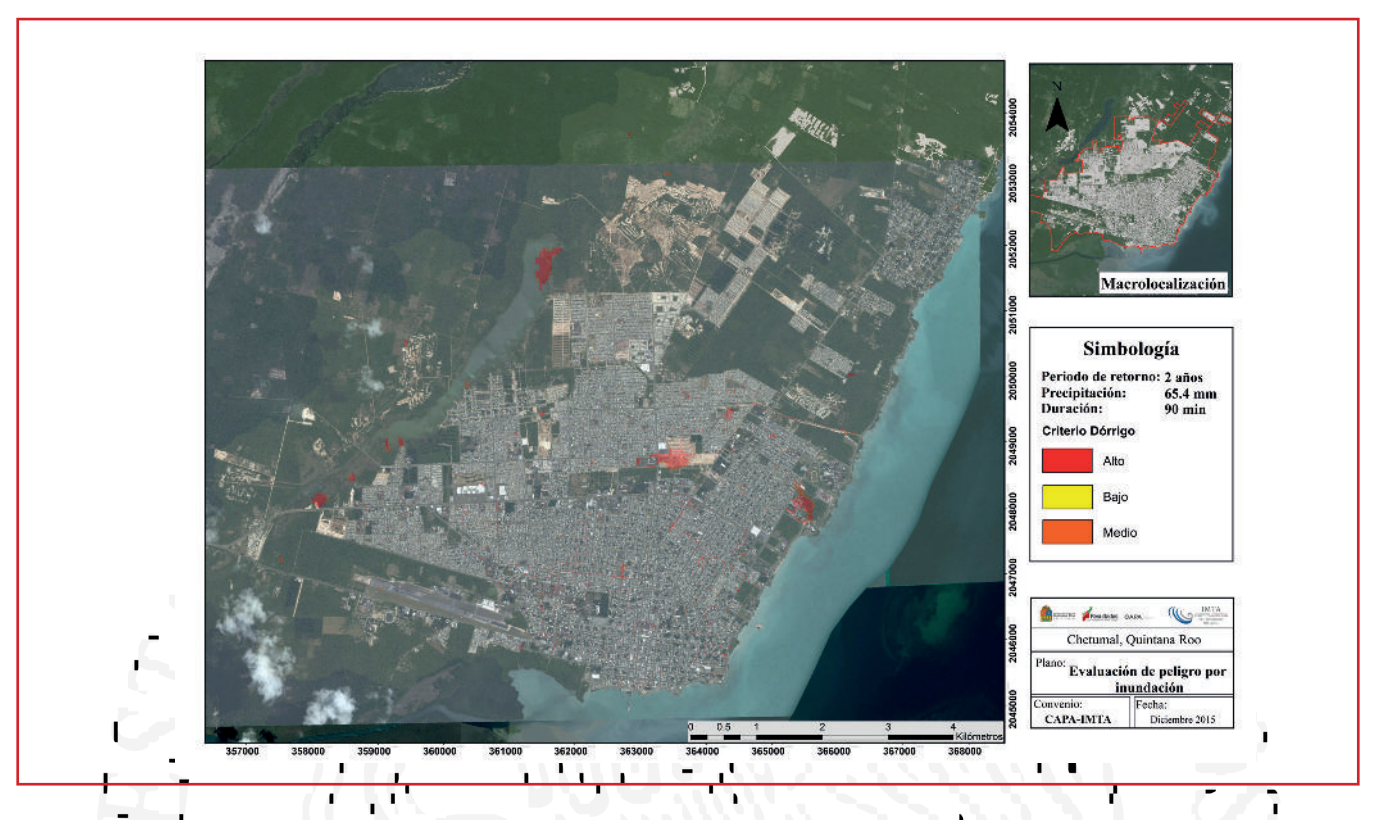
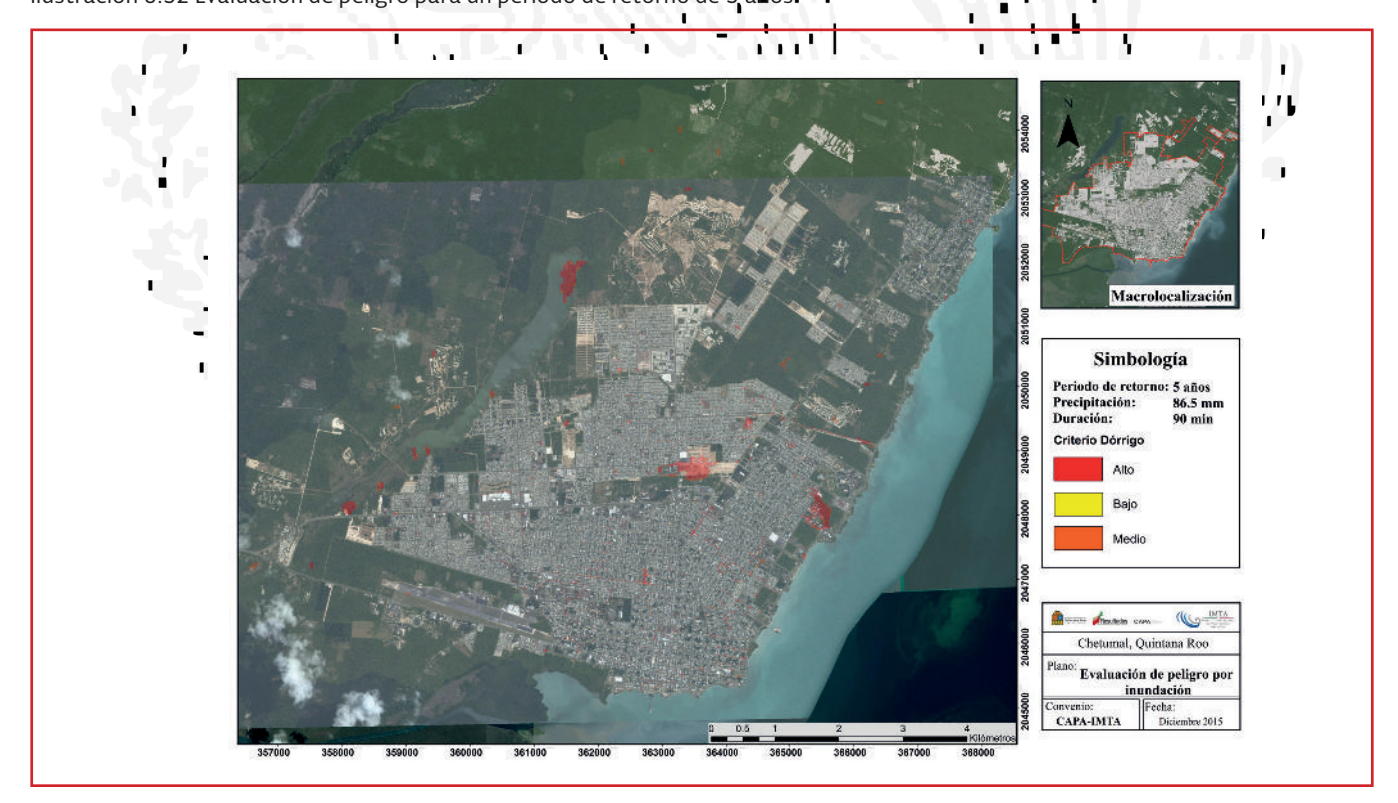


Ilustración 8.52 Evaluación de peligro para un periodo de retorno de 5 años.



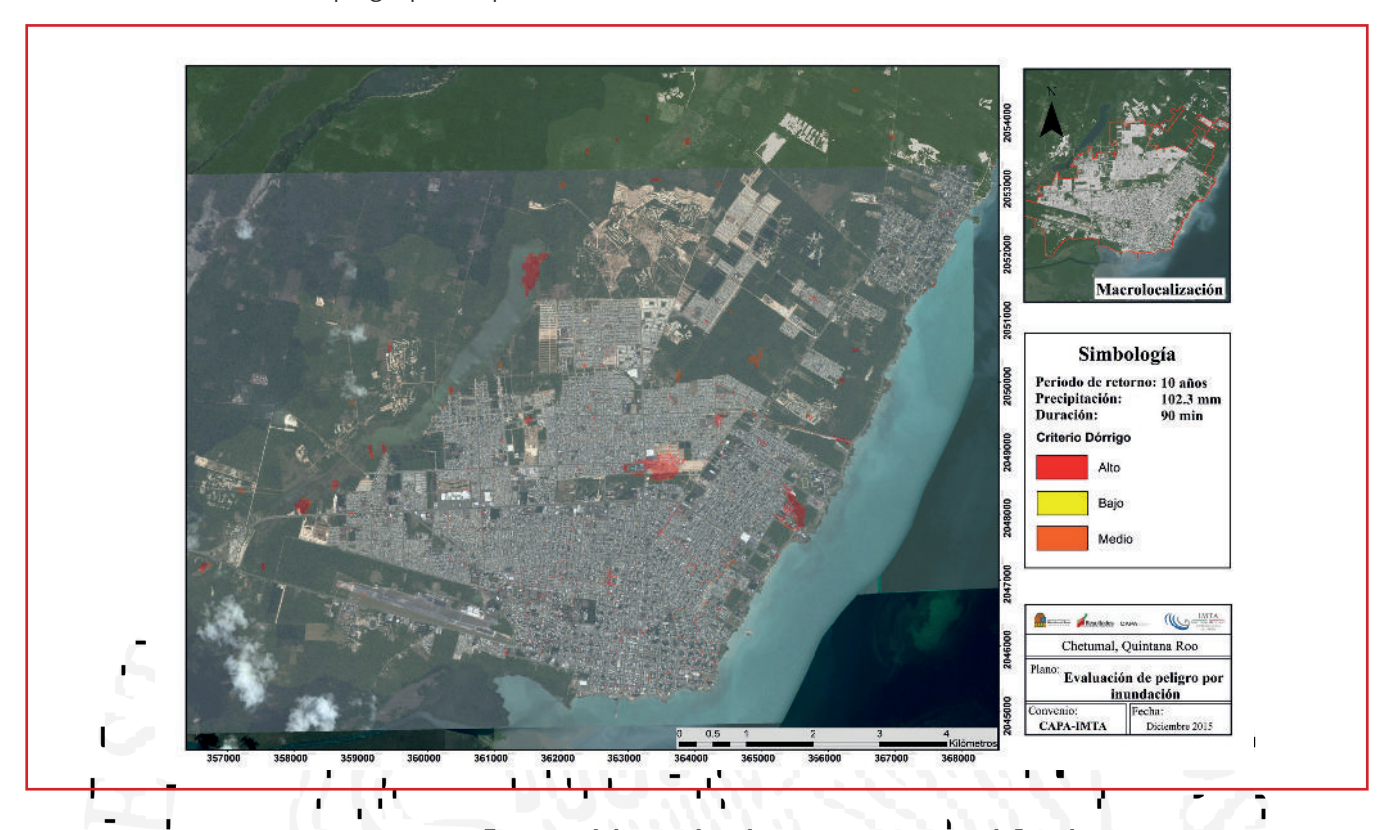




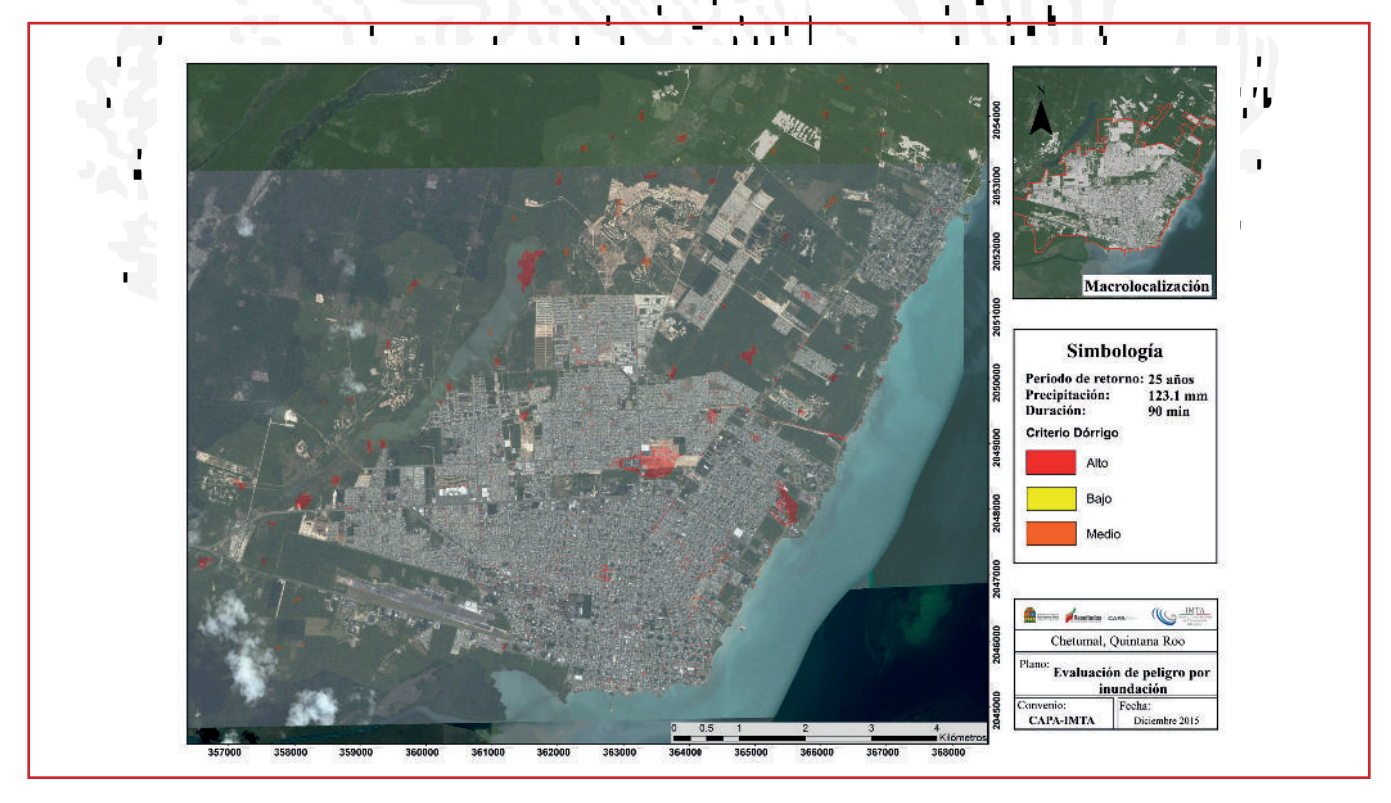




llustración 8.53 Evaluación de peligro para un periodo de retorno de 10 años



llustración 8.54 Evaluación de peligro para un periodo de retorno de 25 años



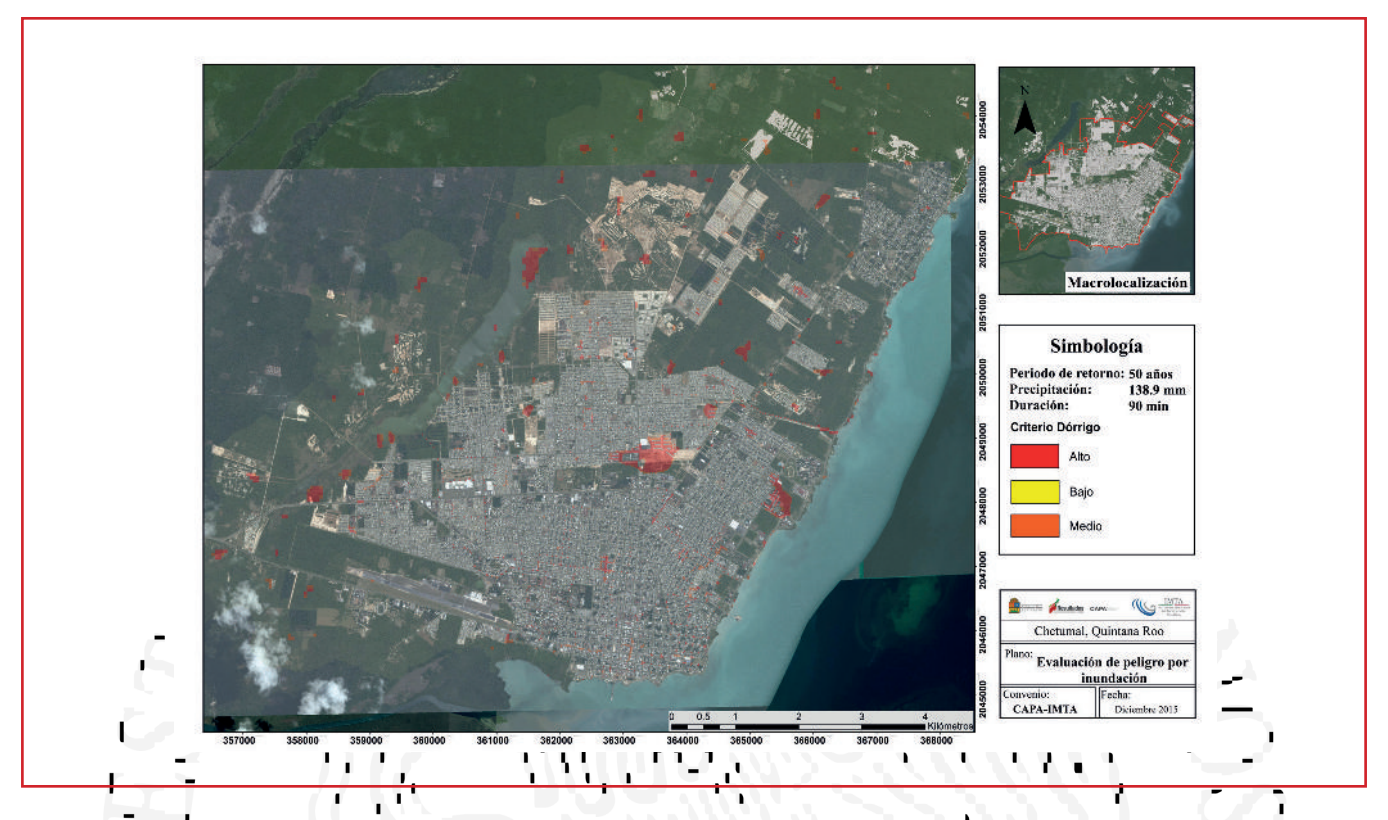




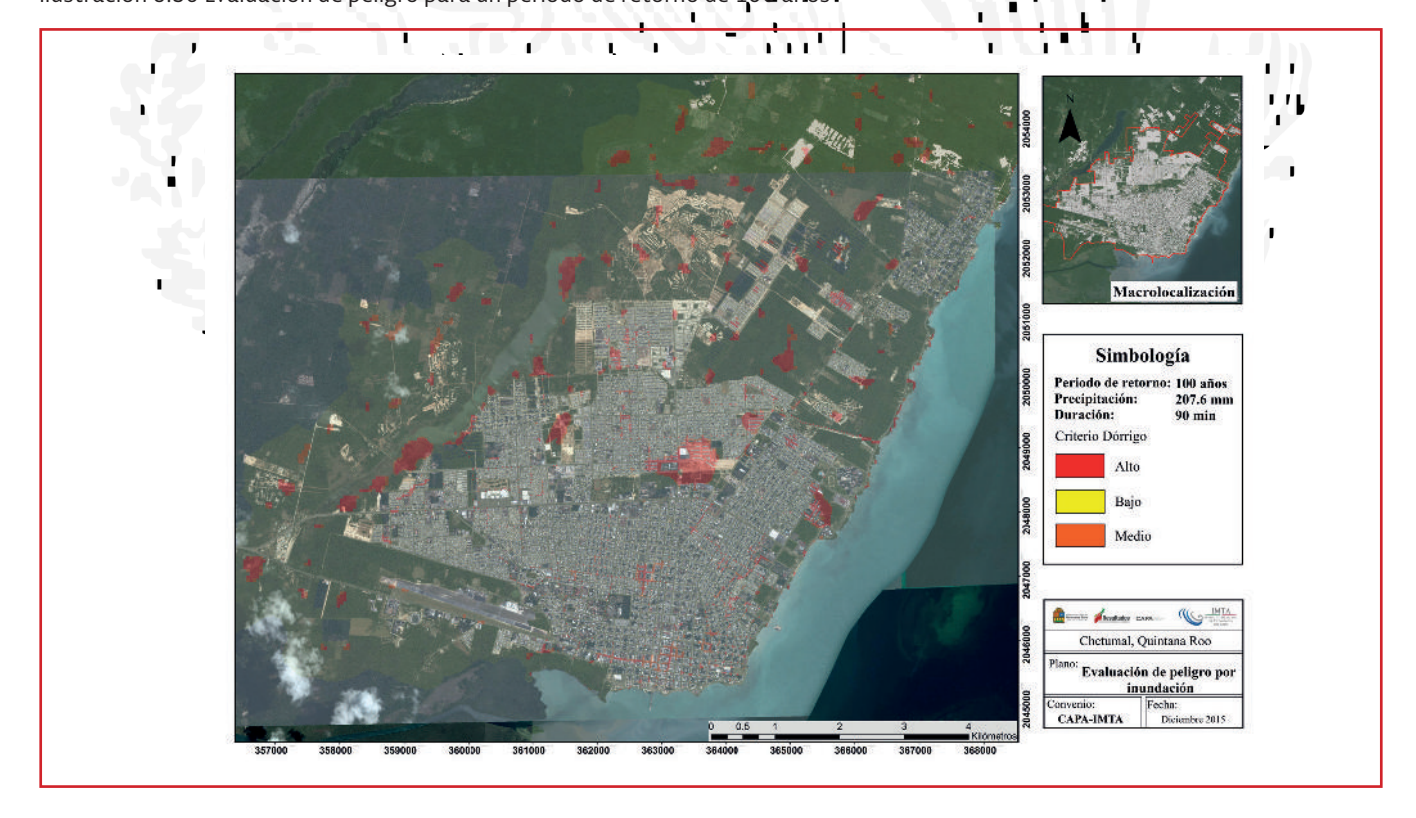




llustración 8.55 Evaluación de peligro para un periodo de retorno de 50 años



llustración 8.56 Evaluación de peligro para un periodo de retorno de 100 años e







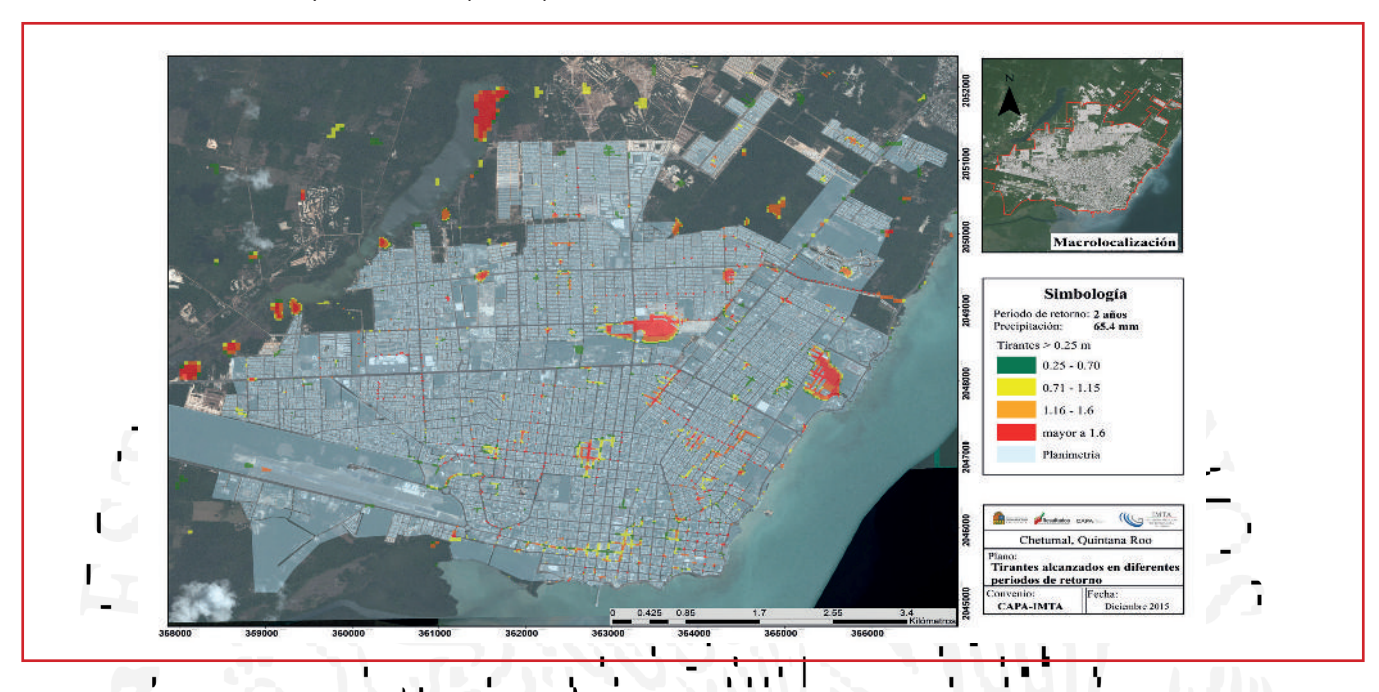




8.5.1.8.Generación de mapas de tirantes para diferentes periodos de retono

De la Ilustración 8.57 a la Ilustración 8.62 se observan los tirantes mayores a 0.25 m para los periodos de retorno de 2, 5, 10, 25, 50 y 100 años. En ellos se muestran las zonas más vulnerables de la ciudad de Chetumal.

Ilustración 8.57 Tirantes mayores a 0.25 m para el periodo de retorno de 2 años



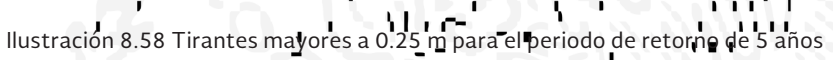












Ilustración 8.59 Tirantes mayores a 0.25 m para el periodo de retorno de 10 años

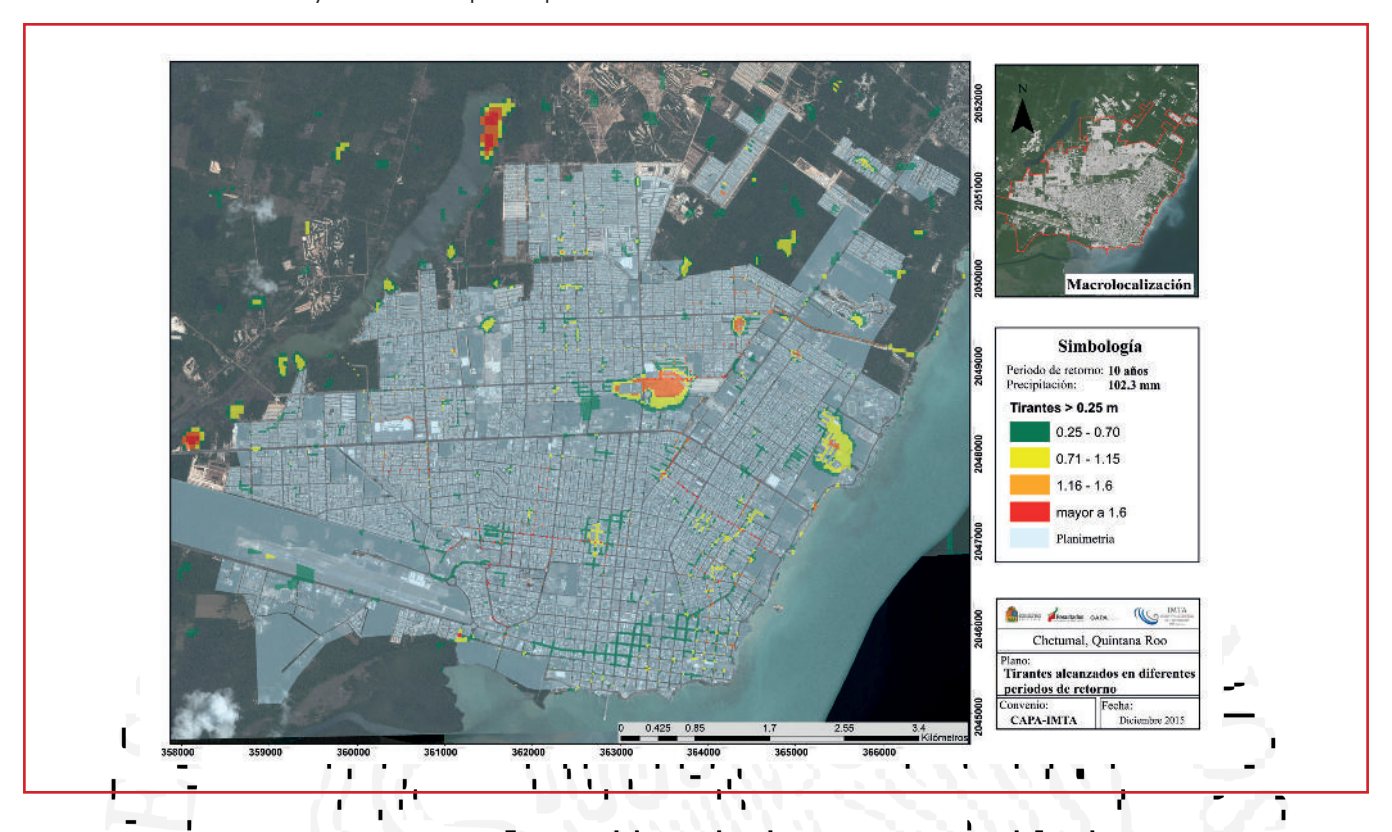
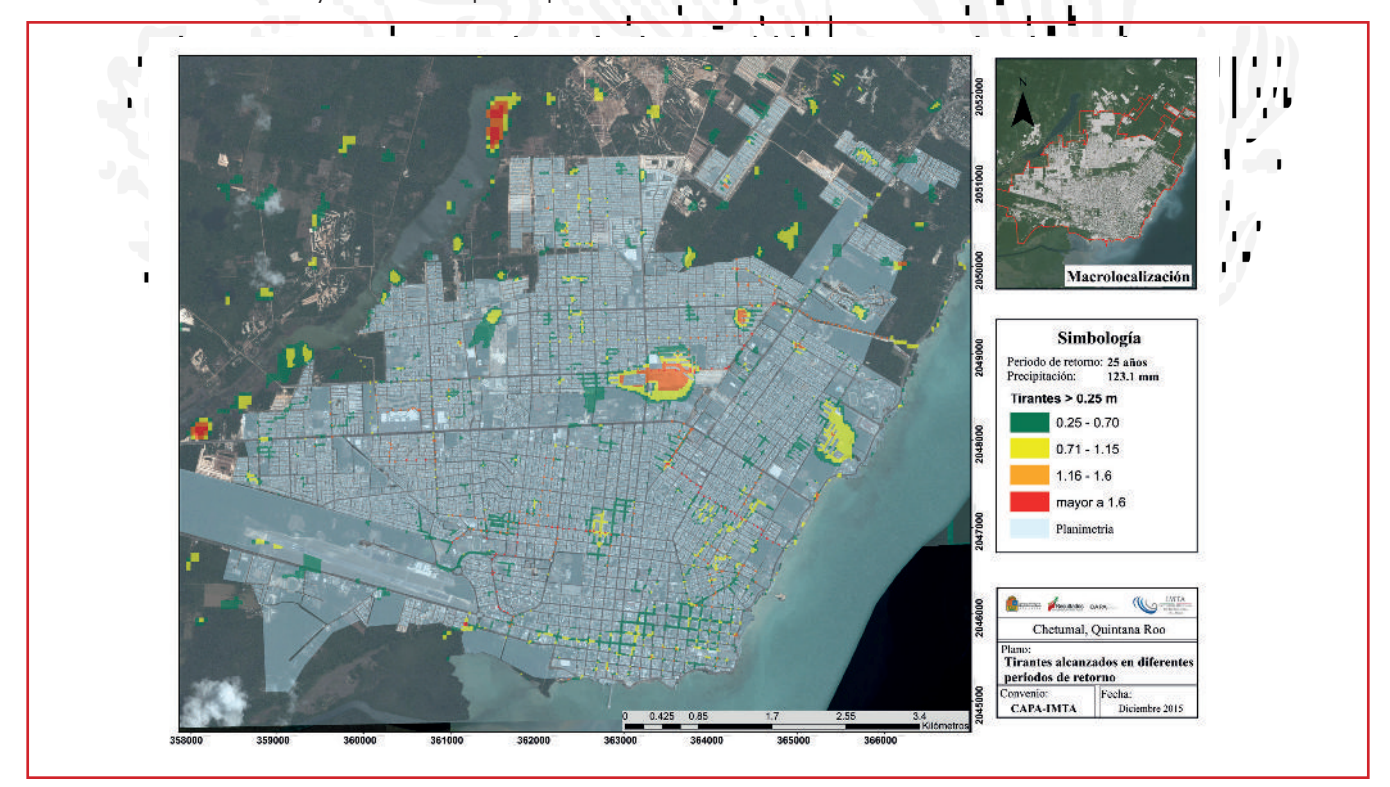


Ilustración 8.60 Tirantes mayores a 0.25 m para el periodo de retorno de 25 años



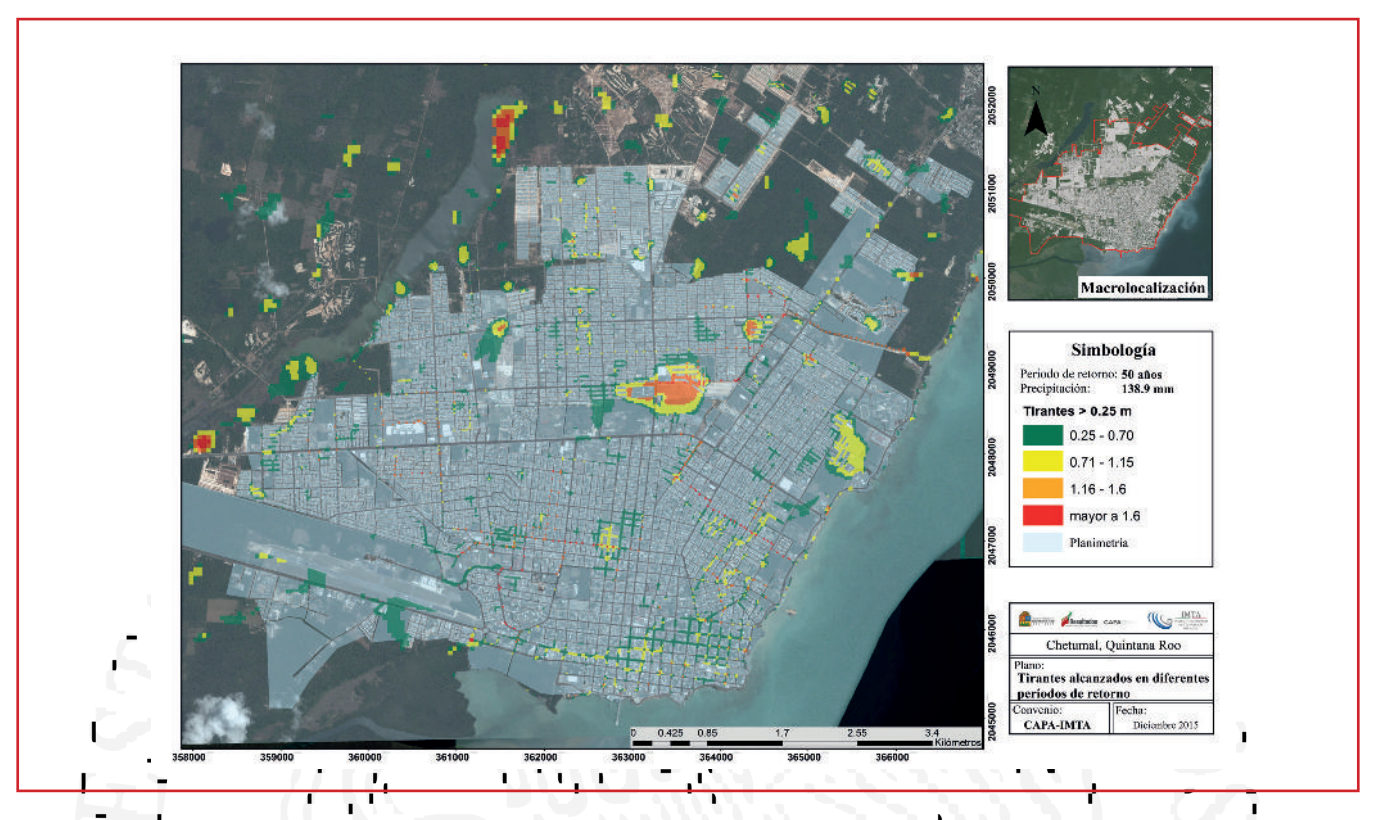




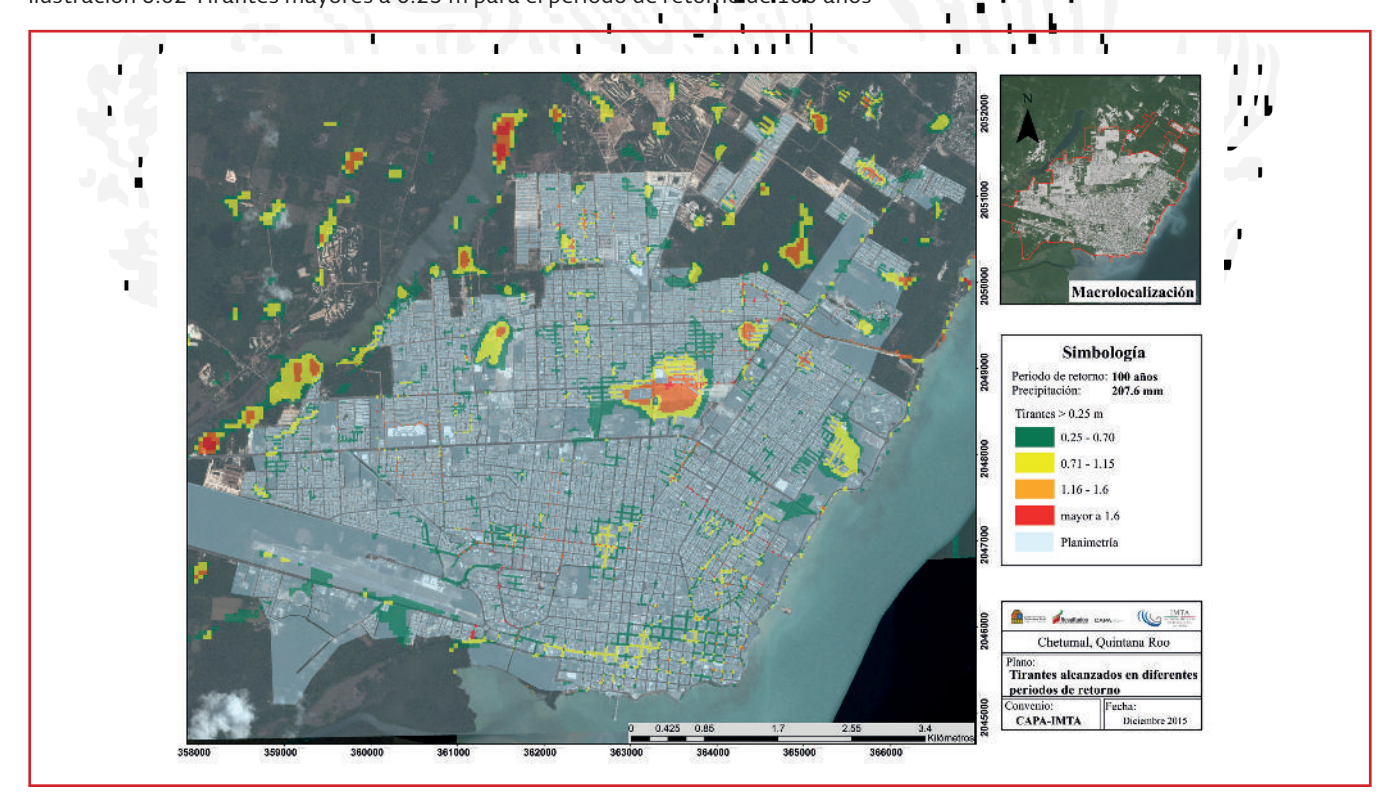




llustración 8.61 Tirantes mayores a 0.25 m para el periodo de retorno de 50 años



llustración 8.62 Tirantes mayores a 0.25 m para el periodo de retorno de 100 años











8.6. METODOLOGÍA PARA LA ELABORACIÓN DE MAPAS DE RIESGO DE DAÑO ESTRUCTURAL EN VIVIENDA POR EFECTOS DE INUNDACIÓN

Para la evaluación del daño considerando, el daño estructural que puede generarse una casa de acuerdo al análisis realizado por Rodríguez et al (2015), donde se especifica que a partir de una altura de 1.599 m de agua se puede presentar daños por el efecto del cortante en las paredes de la vivienda, ver Tabla 8.8.

Tabla 8.8 Criterio de riesgo para determinar el posible dano estructural en función de la vulnerabilidad de las viviendas de acuerdo a los datos manejados por la Tabla 5.7 del estudio de riesgo de inundaciones en zonas urbanas de la república mexicana (IMTA, 2015)

| Vulnerabilidad por tipo de vivienda | Daño estructural | | | | | |
|-------------------------------------|--------------------------|---------------------------|--|--|--|--|
| | Corte Tirante máximo (m) | Vuelco Tirante máximo (m) | | | | |
| Muy Baja (Tipo IV) | 1.559 | 4.29 | | | | |
| Baja (Tipo III) | 1.559 | 4.29 | | | | |
| Media (Tipo II) | 1.559 | 1.39 | | | | |
| Alta (Tipo I) | 1.513 | - 1.37 | | | | |

Esto reflejaría un costo por reparaciones, por lo que de acuerdo Vélez et al., (2014) genera una cu<u>rv</u>a de daño a la infraestructura con respecto al tirantel donde toma un valor de \$85 000 pesos, para el tipo de vivienda I. La Tabla 8.9 contiene los valores debido al daño estructural, dependiendo al tipo de vivienda y vulnerabilidad.

Tabla 8.9 Costo del daño estructural por tipo de vivienda (Vélez 2014)

| Vulnerabilio | lad | Tipo de vivienda | Costo por daño estructural | | |
|--------------|-------|------------------|----------------------------|--|--|
| Muy Alta | | I | \$ 85 000 | | |
| Alta | TAY T | | \$ 77 000 <u> </u> | | |
| Media | | III | \$ 69 000 | | |
| Ваја | | W | \$ 61 000 | | |
| Muy Baja | | V | \$ 53 000 | | |
| | | | | | |

Sobreponiendo el mapa de peligro con lluvia vinculada a un periodo de retorno que va desde los 2 hasta los 100 años, se puede establecer el costo total de daño por falla estructural, que puede generarse (Tabla 8.10 e Ilustración 8.63).

Tabla 8.10 Costo por dano estructural para los diferentes escenarios analizados

| Periodo de retorno (años) | Costo por daño estructural (pesos) |
|---------------------------|------------------------------------|
| 2 | \$26,659,050.00 |
| 5 | \$30,156,950.00 |
| 10 | \$34,767,060.00 |
| 25 | \$37,412,900.00 |
| 50 | \$40,141,370.00 |
| 100 | \$67,990,250.00 |

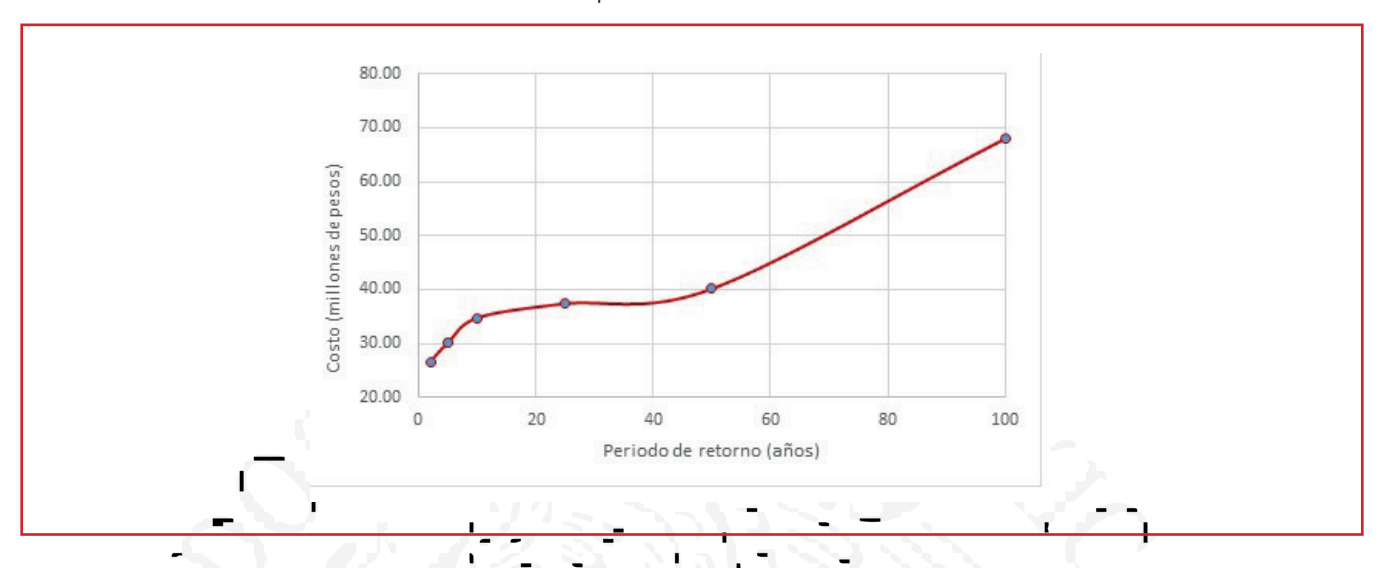








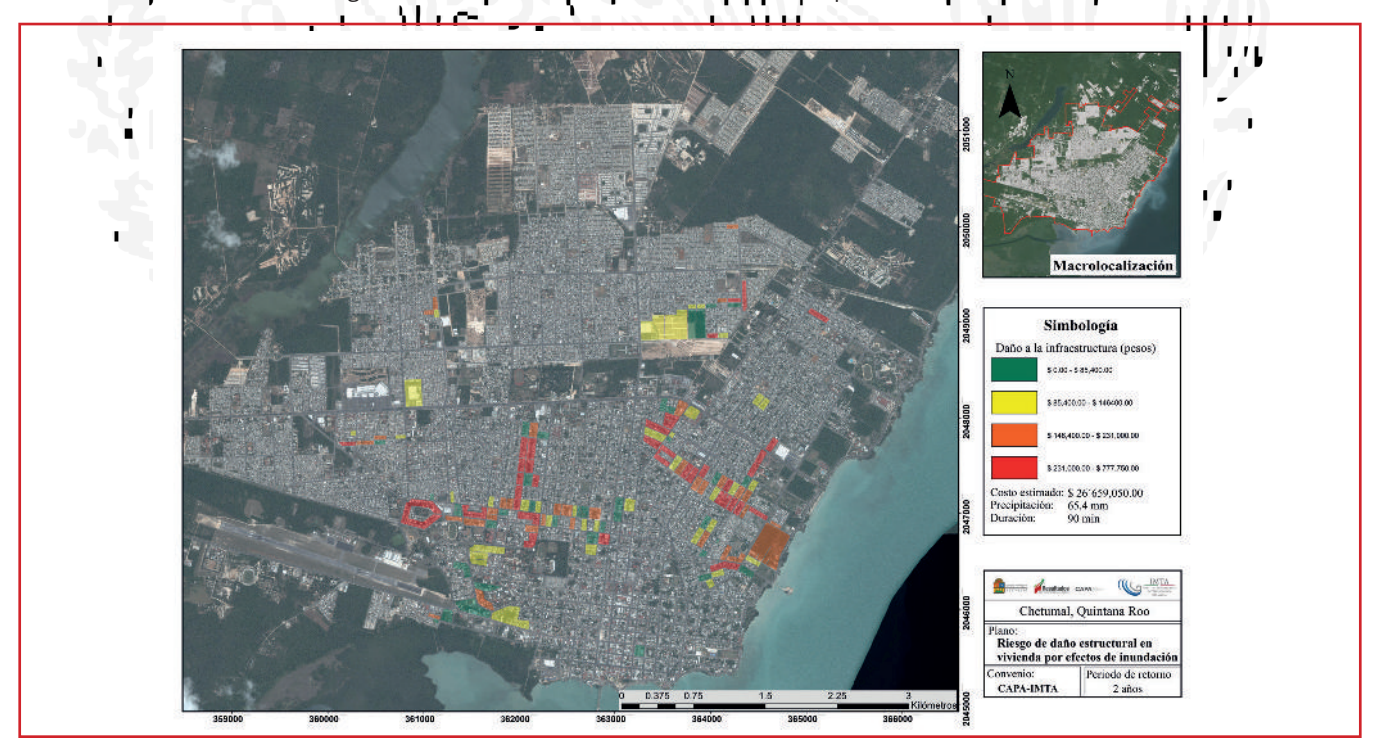
Ilustración 8.63 Curva daños estructurales en viviendas-periodo de retorno



8.7. GENERACIÓN DE MAPAS DE RIESGO DE DAÑO ESTRUCTURAL EN VIVIENDA EN LA CIUDAD DE CHETUMAL PARA DIFERENTES PERIODOS DE RETORNO

De la Ilustración 8.64 a la Ilustración 8.69, se presentan los mapas con clasificaciones de los costos asociados al daño estructural por riesgo de inundación.

llustración 8.64 Costo de daños generados a la infraestructura de las viviendas, periodo de retorno 2 años



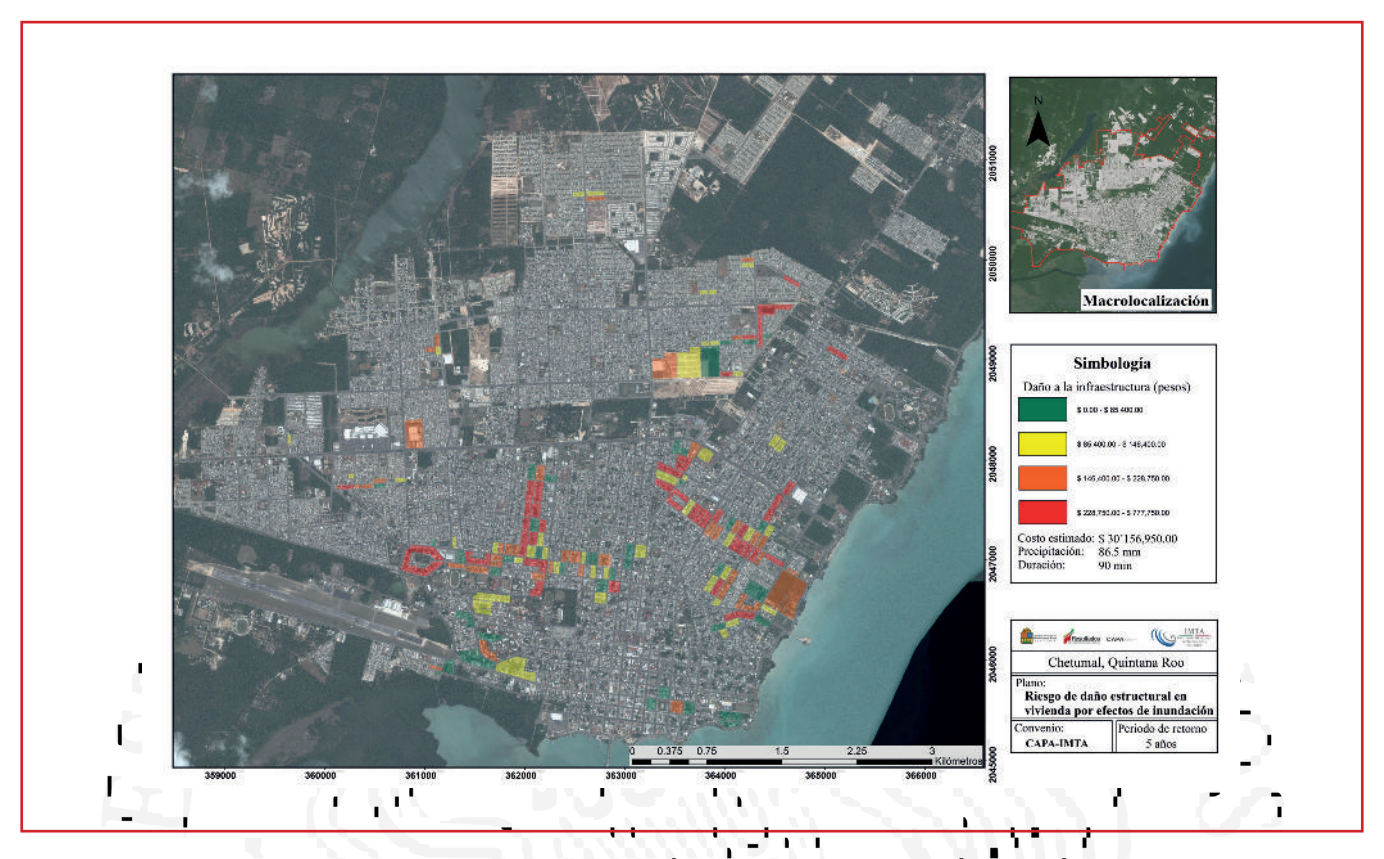








llustración 8.65 Costo de daños generados a la infraestructura de las viviendas, periodo de retorno 5 años



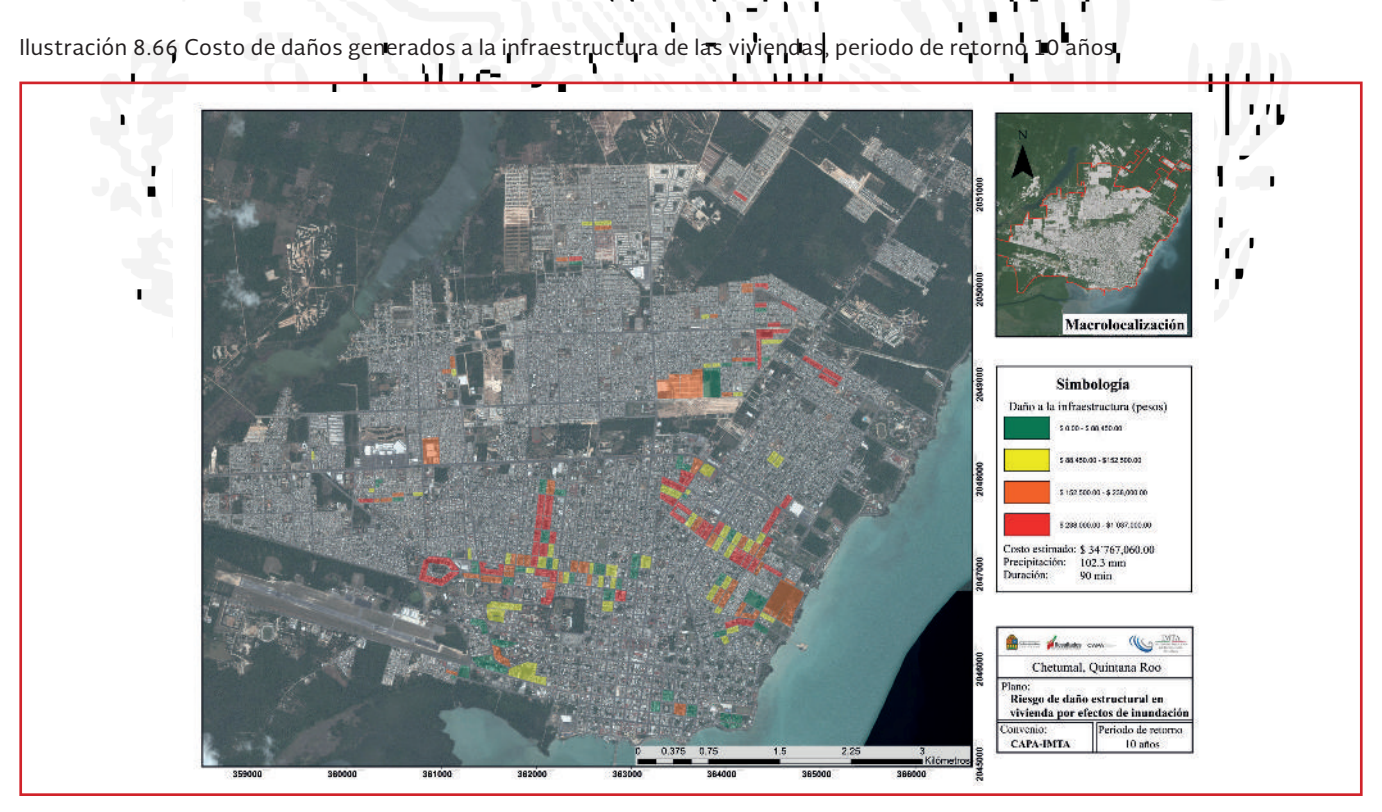


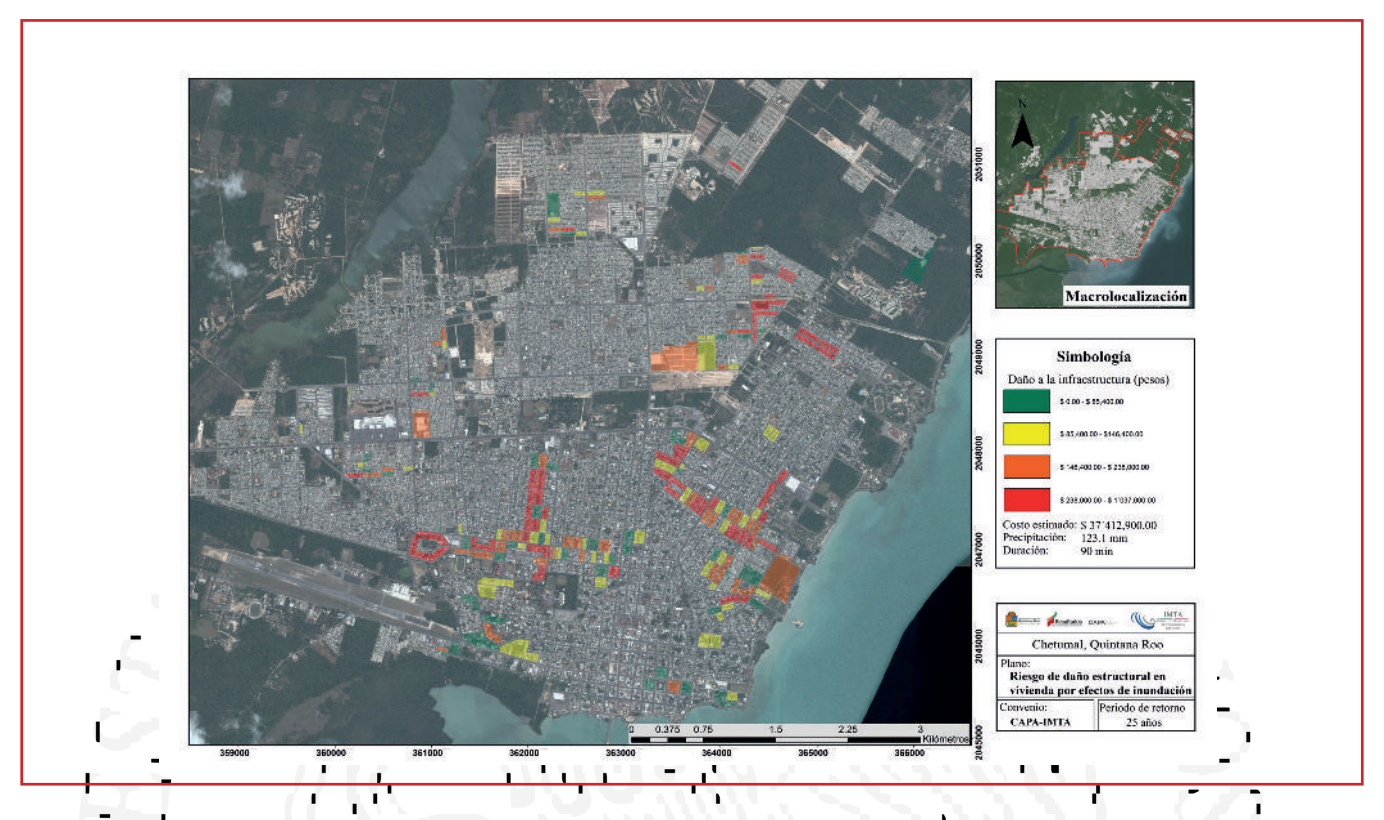








Ilustración 8.67 Costo de daños generados a la infraestructura de las viviendas, periodo de retorno 25 años



llustración 8.68 Costo de daños generados a la infraestructura de las viviendas, periodo de retorno 50 años

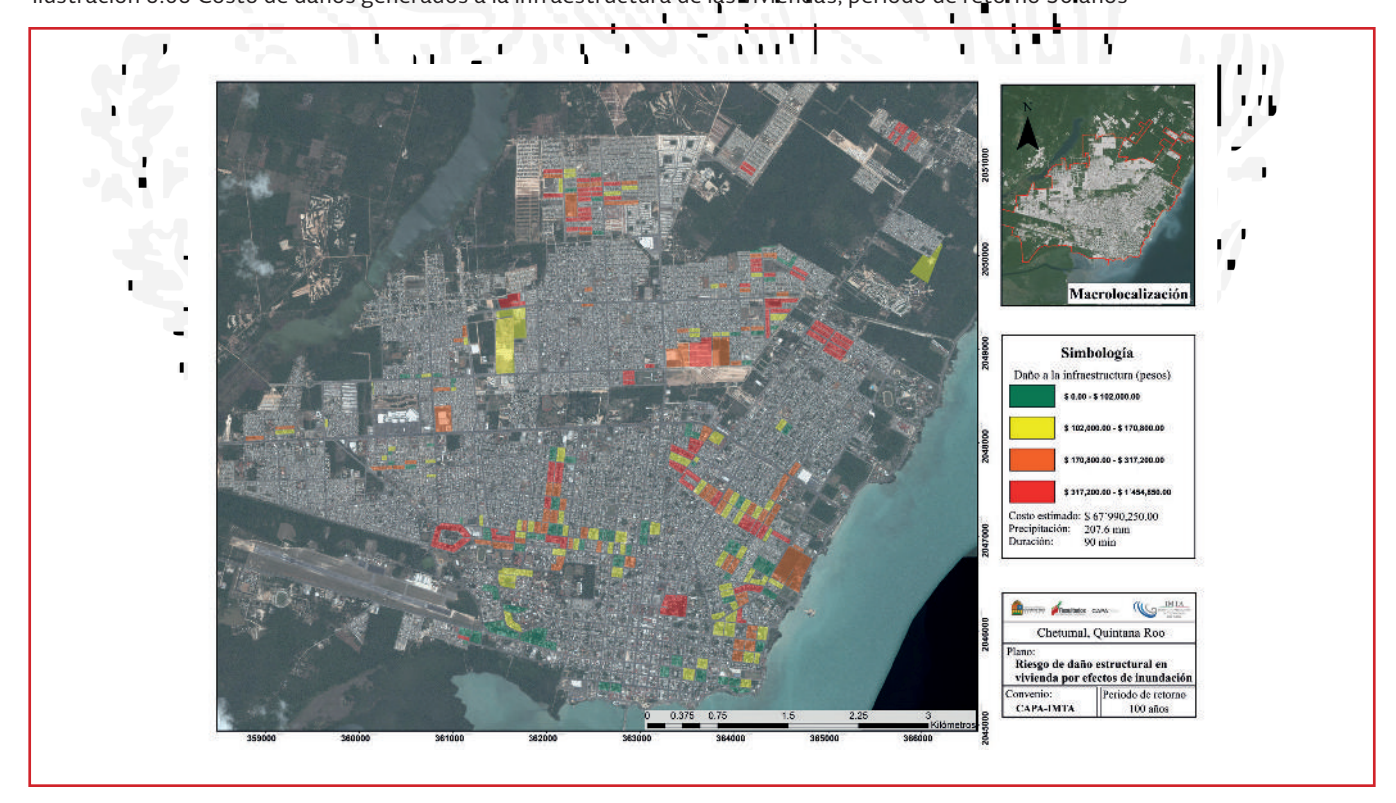


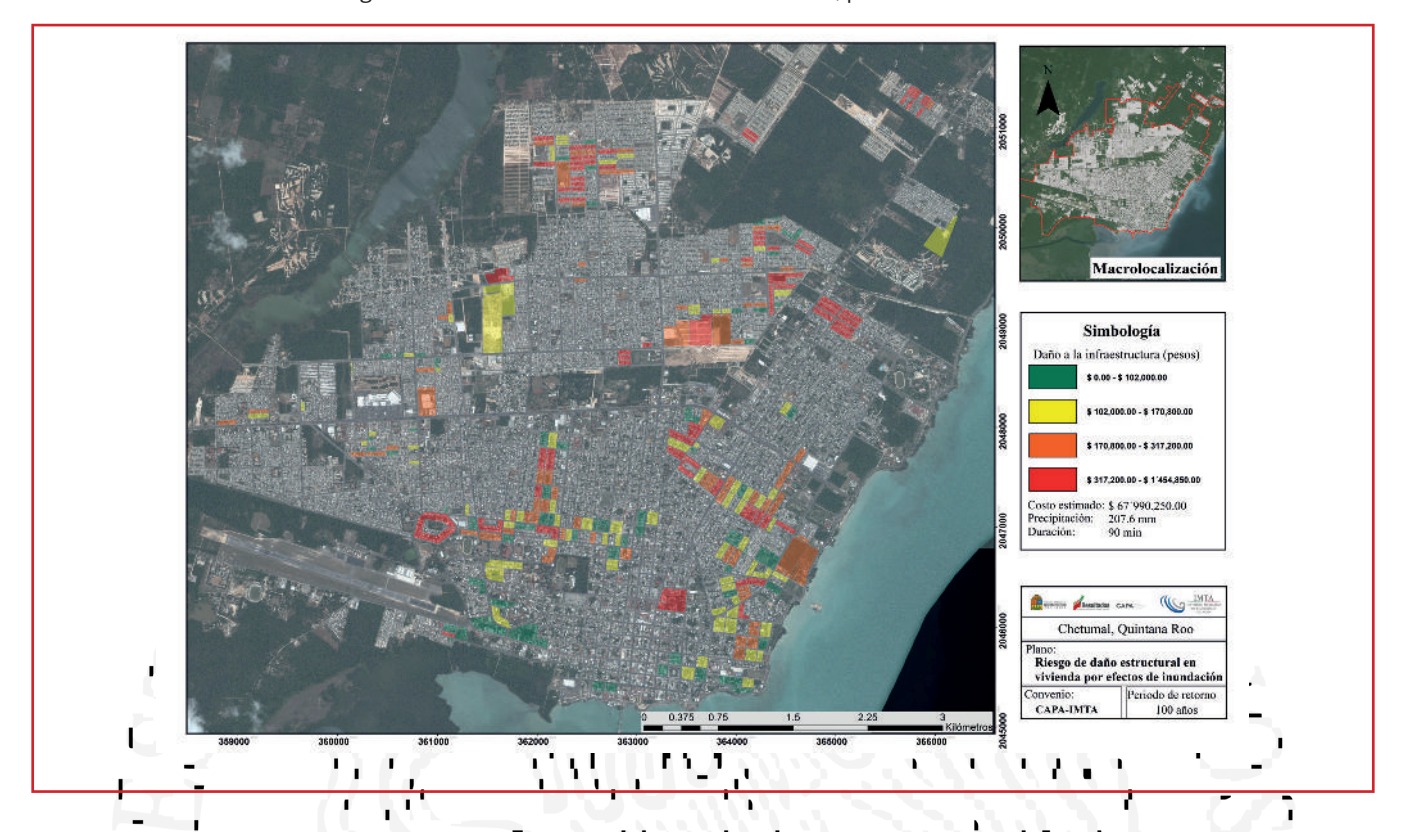








Ilustración 8.69 Costo de daños generados a la infraestructura de las viviendas, periodo de retorno 100 años



8.8. CÁLCULO DEL ÍNDICE CONTRA INJUNDACIONES (ICI)

A partir de los mapas de las zonas inundables de acuerdo a la topografía de la ciudad se realizó el cálbulo del índice contra inundaciones obteniéndose de la siguiente expresión:

$$ICI(\%) = \left(\frac{Población\ urbana\ sin\ o\ con\ bajo\ riesgo\ de\ sufrir\ inundaciones\ en\ época\ de\ lluvias}{Población\ total\ de\ la\ localidad\ (habi\ tan\ tes)}\right) (100)$$

Entendiéndose que la población urbana sin o con bajo riesgo de sufrir inundaciones en época de lluvias, se refiere a lo siguiente:

Los habitantes que por estar asentados en zonas topográficamente "altas", prácticamente, no corren riesgo de inundaciones. Disponen de la infraestructura de captación, conducción, protección y control o regulación del agua pluvial; que sólo presentándose una lluvia extraordinaria que Tebase la tormenta de diseño de dicha infraestructura podría afectarlos.



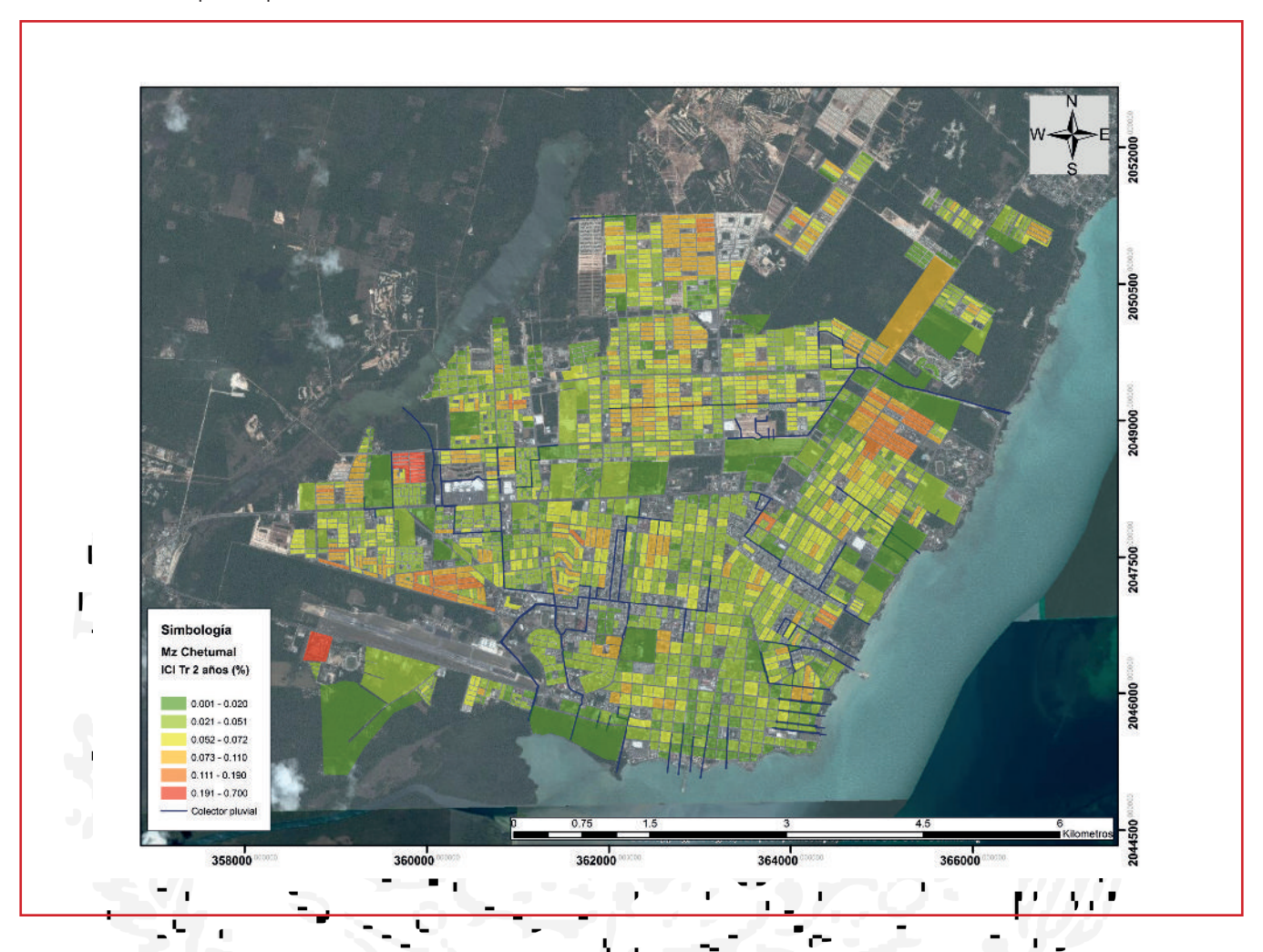






De la Ilustración 8.70 a la Ilustración 8.75 se muestran los diferentes índices contra inundaciones para los diferentes periodos de retorno.

llustración 8.70 ICI para el periodo de retorno de 2 años



La Ilustración 8.70 muestra el índice contra inundaciones para el periodo de retorno de 2 años en el cual se puede apreciar que se abarca un rango en porcentaje de 0.001 l 0.70 % para cada manzana generada a partir de la información proporcionada del AGEB. En conjunto para la ciudad de Chetumal se presenta un 7.27 % de la población la cual puede tener algún riesgo de sufrir inundaciones en épocas de lluvia. Cabe mencionar que los datos que se tomaron en cuenta para la generación del escenario son una lluvia de 65.4 mm, con una duración de 90 min. Asimismo en la ilustración se plasman los colectores pluviales existentes, con los resultados presentados se entiende que la obra de desalojo existente es ineficiente, con lo cual se necesita una extensión de la misma y un adecuado mantenimiento para su correcto funcionamiento.

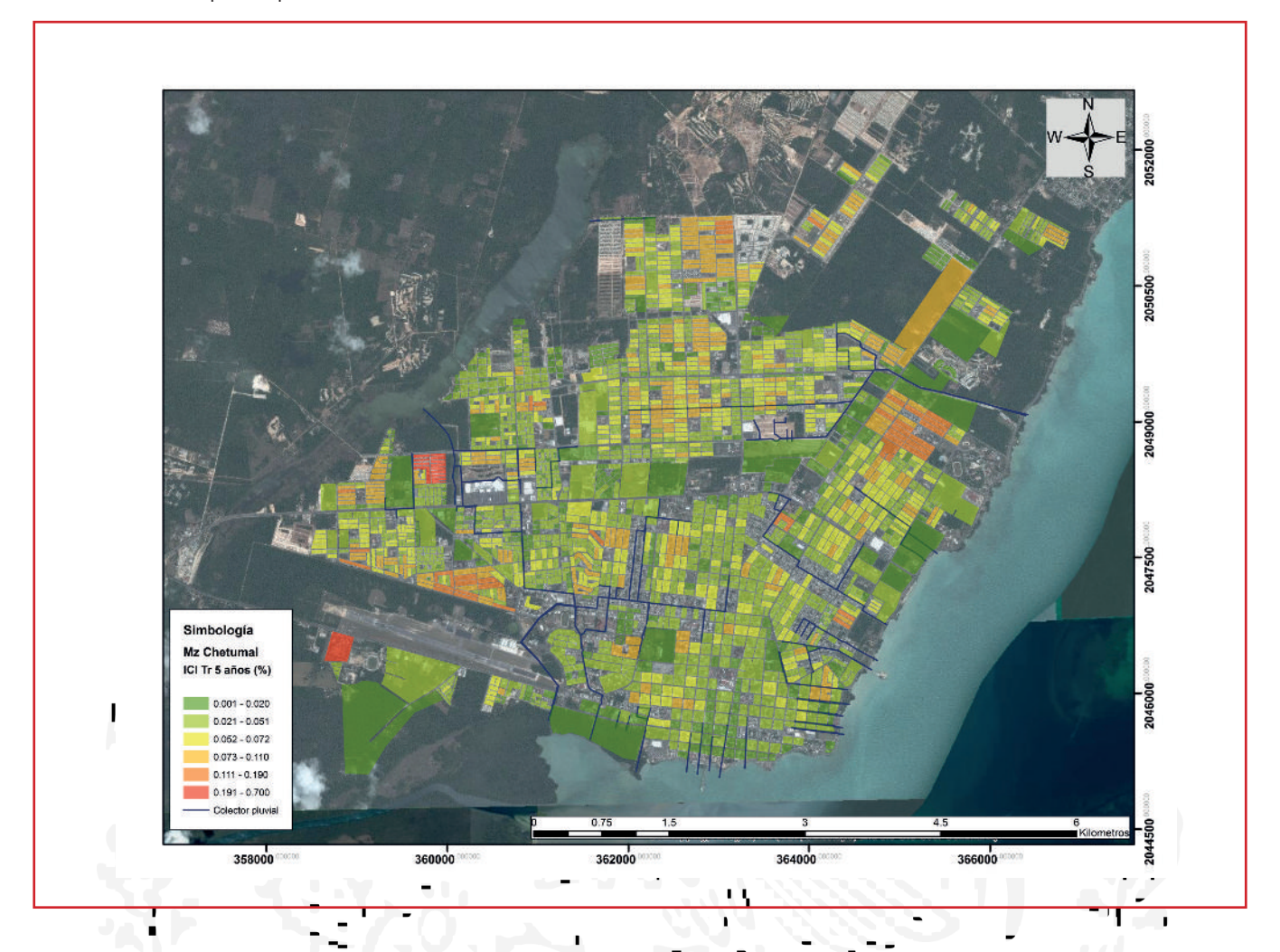








llustración 8.71 ICI para el periodo de retorno de 5 años



La Ilustración 8.71 muestra el indice contra inundaciones para el periodo de retorno de 5 años maneja un rango en porcentaje similar al periodo de retorno-anterior. En conjunto para la ciudad de Chetumal se presenta un 8.09 % de la población la cual puede tener algún riesgo de sufrir inundaciones en épocas de lluvia. Cabe mencionar que los datos que se tomaron en cuenta para la generación del escenario son una lluvia de 86.5 mm, con una duración de 90 min.

La Ilustración 8.72 muestra el índice contra inundaciones para el periodo de retorno de 10 años maneja un rango en porcentaje similar al periodo de retorno anterior. El 91.20-% de la población se encuentra con bajo riesgo de sufrir inundaciones, con lo cual el 8.80 % de la población puede tener algún riesgo de sufrir inundaciones en épocas de lluvia. Cabe mencionar que los datos que se tomaron en cuenta para la generación del escenario son una lluvia de 102.3 mm, con una duración de 90 min.

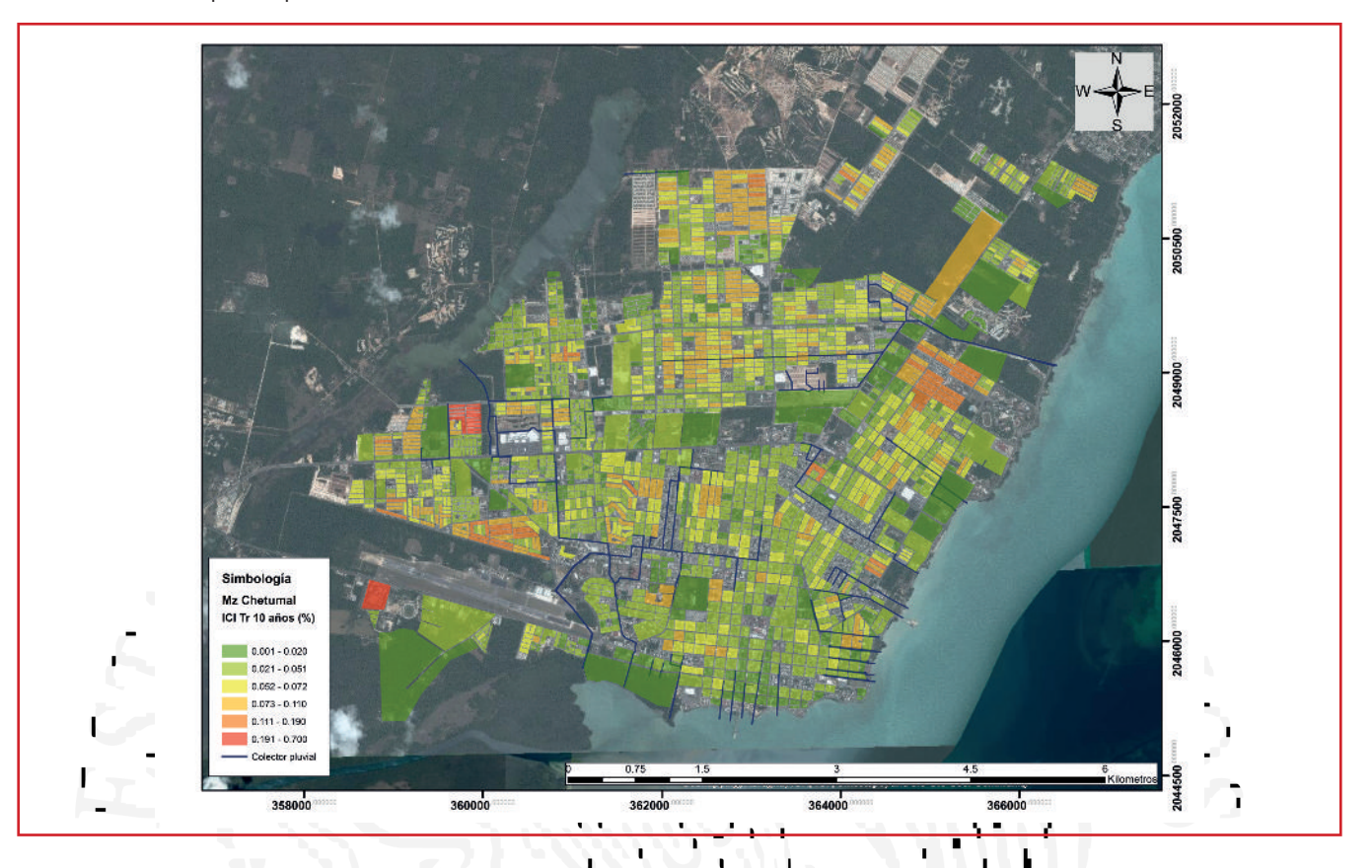








Ilustración 8.72 ICI para el periodo de retorno de 10 años



La Ilustración 8.73 muestra el índice contra inundaciones para el periodo de retorno de 25 años el qual maneja un rango en porcentaje similar al periodo de retorno anterior. El 90.57 % de la población se encuentral con bajo riesgo de sufrir inundaciones, con lo cual el 9.43 % de la población puede tener algún riesgo de sufrir inundaciones en épocas de lluvia. Cabe mencionar que los datos que se tomaron en cuenta para la generación del escenario son una lluvia de 123.1 mm, con una duración de 90 min.

La Ilustración 8.74 muestra el índice contra inundaciones para el periodo de retorno de 50 años el cual maneja un rango en porcentaje de 0.001 a 0.700. Para este periodo en la ciudad de Chetumal el 89.94 % de la población se encuentra con bajo riesgo de sufrir inundaciones, con lo cual el 10.06 % de la población puede tener algún riesgo de sufrir inundaciones en épocas de lluvia. Cabe mencionar que los datos que se tomaron en cuenta para la generación del escenario son una lluvia de 138.9 mm, con una duración de 90 min.

La Ilustración 8.75 muestra el índice contra inundaciones para el periodo de retorno de 100 años el cual maneja un rango en porcentaje de 0.001 a 0.700. Para este periodo en la ciudad de Chetumal el 86.17 % de la población se encuentra con bajo riesgo de sufrir inundaciones, con lo cual el 13.83 % de la población puede tener algún riesgo de sufrir inundaciones en épocas de lluvia. Cabe mencionar que los datos que se tomaron en cuenta para la generación del escenario son una lluvia de 207.6 mm, con una duración de 90 min.

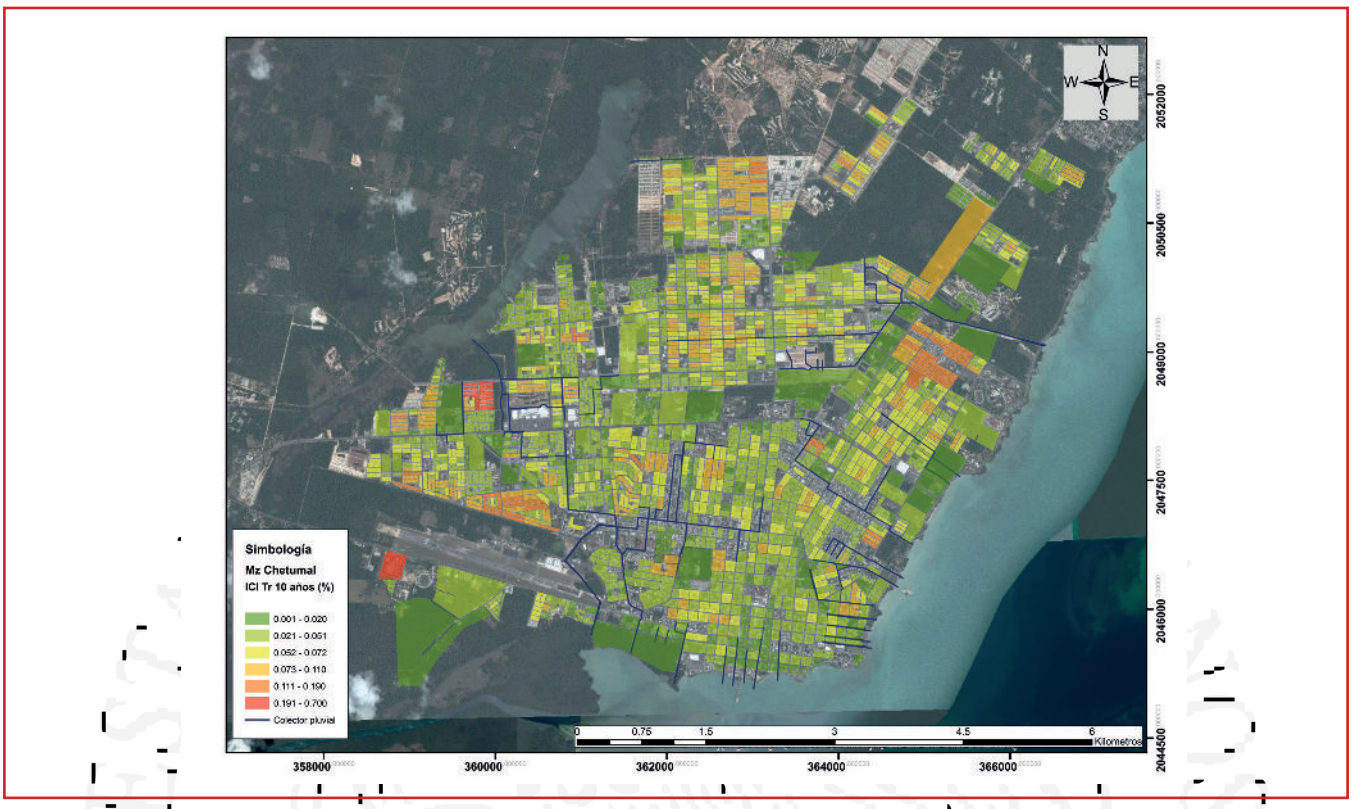




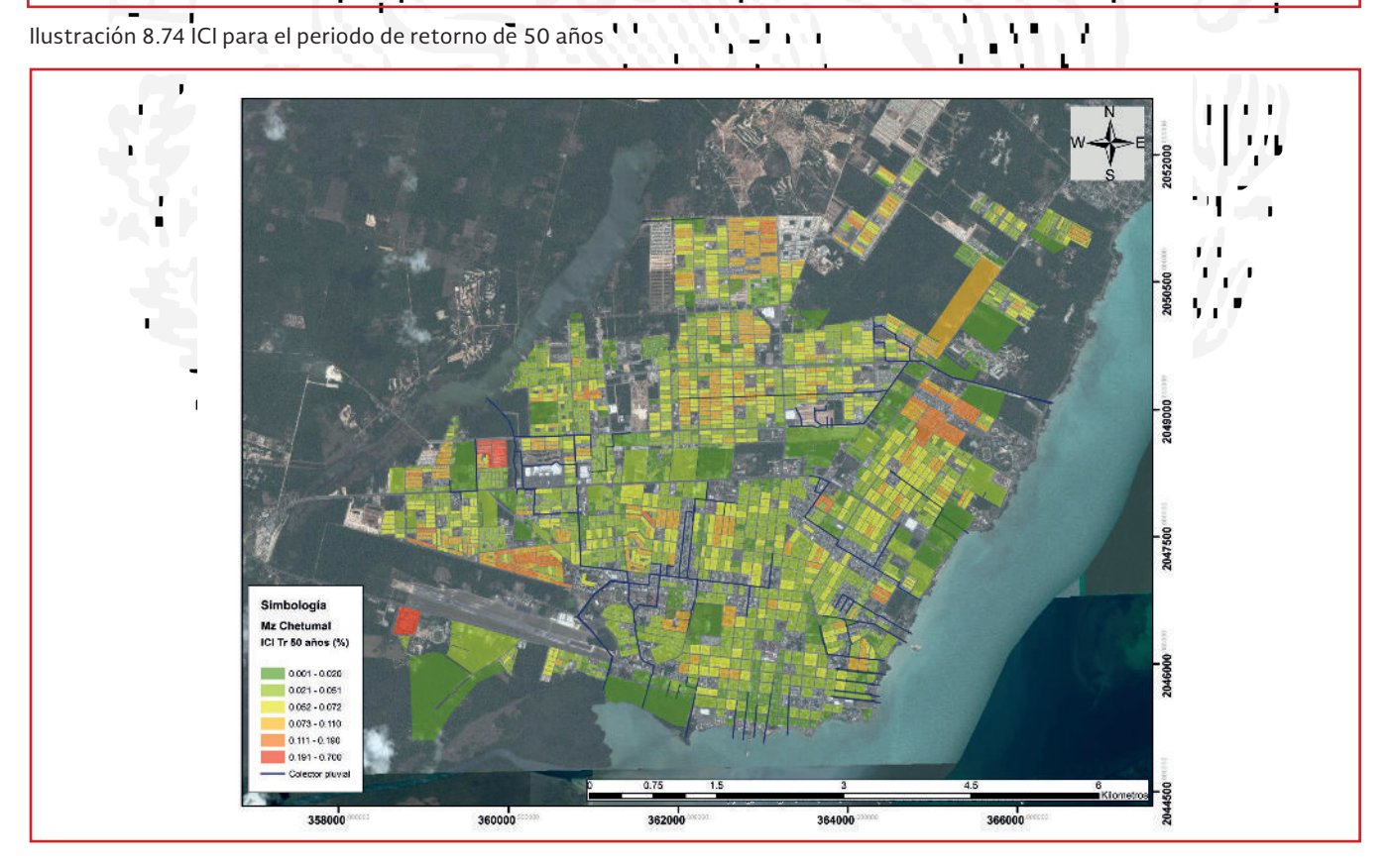




Ilustración 8.73 ICI para el periodo de retorno de 25 años



llustración 8.74 ICI para el periodo de retorno de 50 años



Página 495 de 562









llustración 8.75 ICI para el periodo de retorno de 100 años



8.9. CÁLCULO DEL ÍNDICE DE INUNDACIONES (IDI)

A partir de los mapas de las zonas inundables de acuerdo a la topografía de la ciudad se realizó el cálculo del índice contra inundaciones obteniéndose de la siguiente expresión:

$$ICI(\%) = \left(\frac{Poblaci\'{o}n\ urbana\ con\ riesgo\ medio\ o\ alto\ de\ sufrir\ inundaciones\ en\ \'{e}poca\ de\ lluvias}{Poblaci\'{o}n\ votal\ de\ la\ localidad\ (habi\ tan\ tes)}\right) (100)$$

Entendiéndose que la población urbana con riesgo medio o alto de sufrir inundaciones en época de lluvias, se refiere a lo siguiente:

Los habitantes que por estar asentados en zonas topográficamente "medias o altas", prácticamente, corren riesgo de inundaciones. Los habitantes que no disponen de una infraestructura de captación, conducción, protección y control o regulación del agua pluvial; ya que al presentarse una lluvia extraordinaria que rebase la tormenta de diseño de dicha infraestructura los afectaría de gran manera.

De la Ilustración 8.76 a la Ilustración 8.81 se muestran los diferentes índices de inundaciones para los diferentes periodos de retorno.

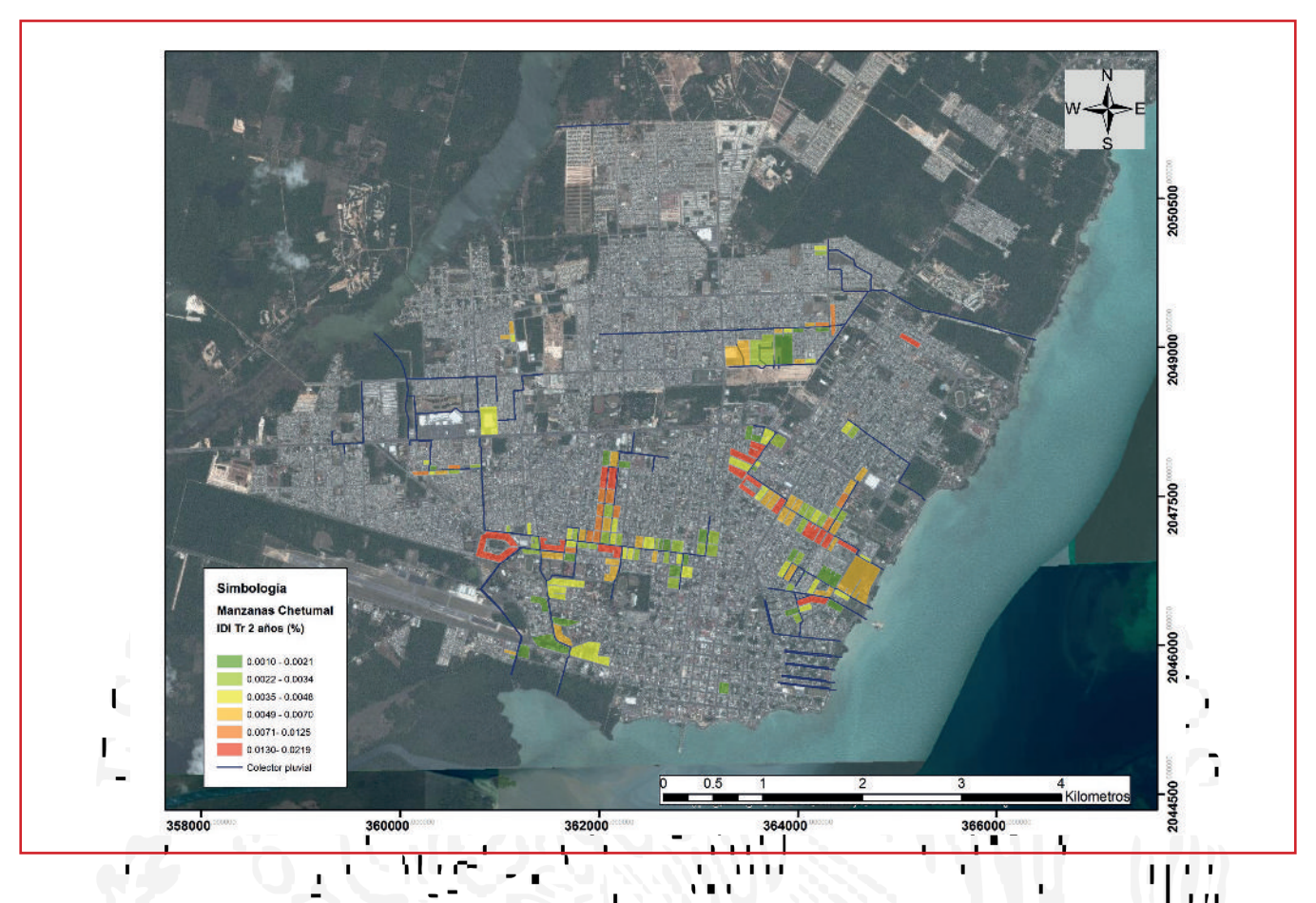








Ilustración 8.76 ICI para el periodo de retorno de 2 años



La Ilustración 8.76 muestra el índice de inundaciones para el peniodo de retorno de 2 años en el cual se puede apreciar que se abarca un rango en porcentaje de 0.001 a 0.02 % para cada manzana generada a partir de la información proporcionada del AGEB. Tal como se mencionó anteriormente el 7.27 % de la población presenta el riesgo de sufrir daños por las inundaciones en la época de lluvias. Cabe mencionar que los datos que se tomaron en cuenta para la generación del escenario son una lluvia de 65.4 mm, con una duración de 90 min

Asimismo en la ilustración se plasman los colectores pluviales existentes, con esto se puede dar una idea de que aunque con la obra de desalojo se le puede atribuir una falta de capacidad de desalojo o mantenimiento.

La Ilustración 8.77 muestra el índice de inundaciones para el periodo de retorno de 5 años maneja un rango en porcentaje similar al periodo de retorno anterior. Para este periodo la ciudad de Chetumal se presenta un 8.09 % de la población la cual puede tener algún riesgo de sufrir inundaciones en épocas de lluvia. Cabe mencionar que los datos que se tomaron en cuenta para la generación del escenario son una lluvia de 86.5 mm, con una duración de 90 min.

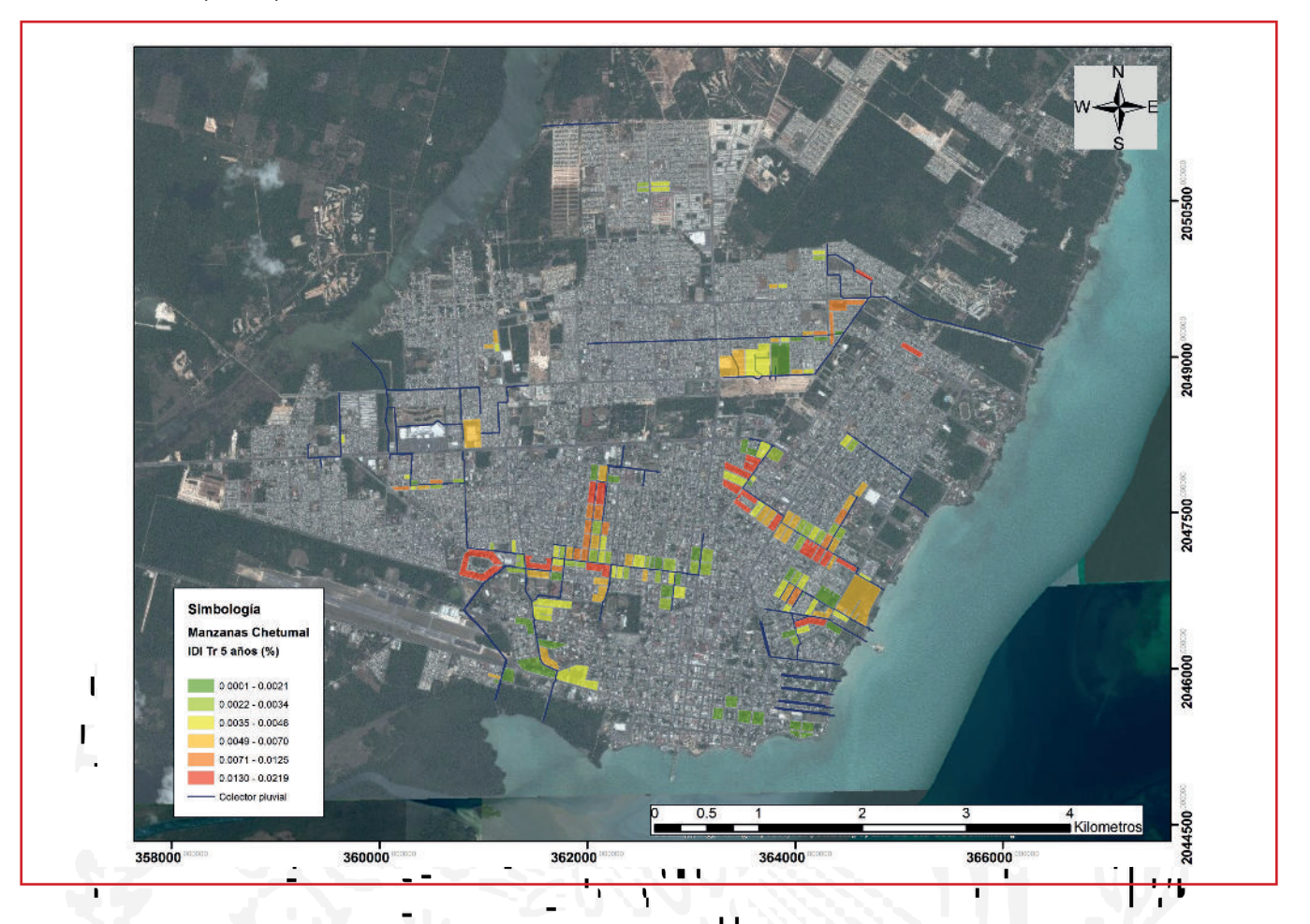








Ilustración 8.77 ICI para el periodo de retorno de 5 años



La Ilustración 8.78 muestra el índice de inundaciones para el periodo de retorno de 10 años maneja un rango en porcentaje de 0.001 al 0.023 % con lo cual el 8.80 % de la población puede tener algún riesgo de sufrir inundaciones en épocas de lluvia. Cabe mencionar que los datos que se tomaron en cuenta para la generación del escenario son una lluvia de 102.3 mm, con una duración de 90 min.

La Ilustración 8.79 muestra el índice de inundaciones para el periodo de retorno de 25 años el cual maneja un rango en porcentaje de 0.001 al 0.028%, con lo cual el 9.43 % de la población puede tener algún riesgo de sufrir inundaciones en épocas de lluvia. Cabe mencionar que los datos que se tomaron en cuenta para la generación del escenario son una lluvia de 123.1 mm, con una dufación de 90 min.

La Ilustración 8.80 muestra el índice contra inundaciones para el periodo de retorno de 50 años el cual maneja un rango en porcentaje de 0.001 a 0.028% similar al periodo anterior, con lo cual el 10.06 % de la población puede tener algún riesgo de sufrir inundaciones en épocas de lluvia. Cabe mencionar que los datos que se tomaron en cuenta para la generación del escenario son una lluvia de 138.9 mm, con una duración de 90 min.

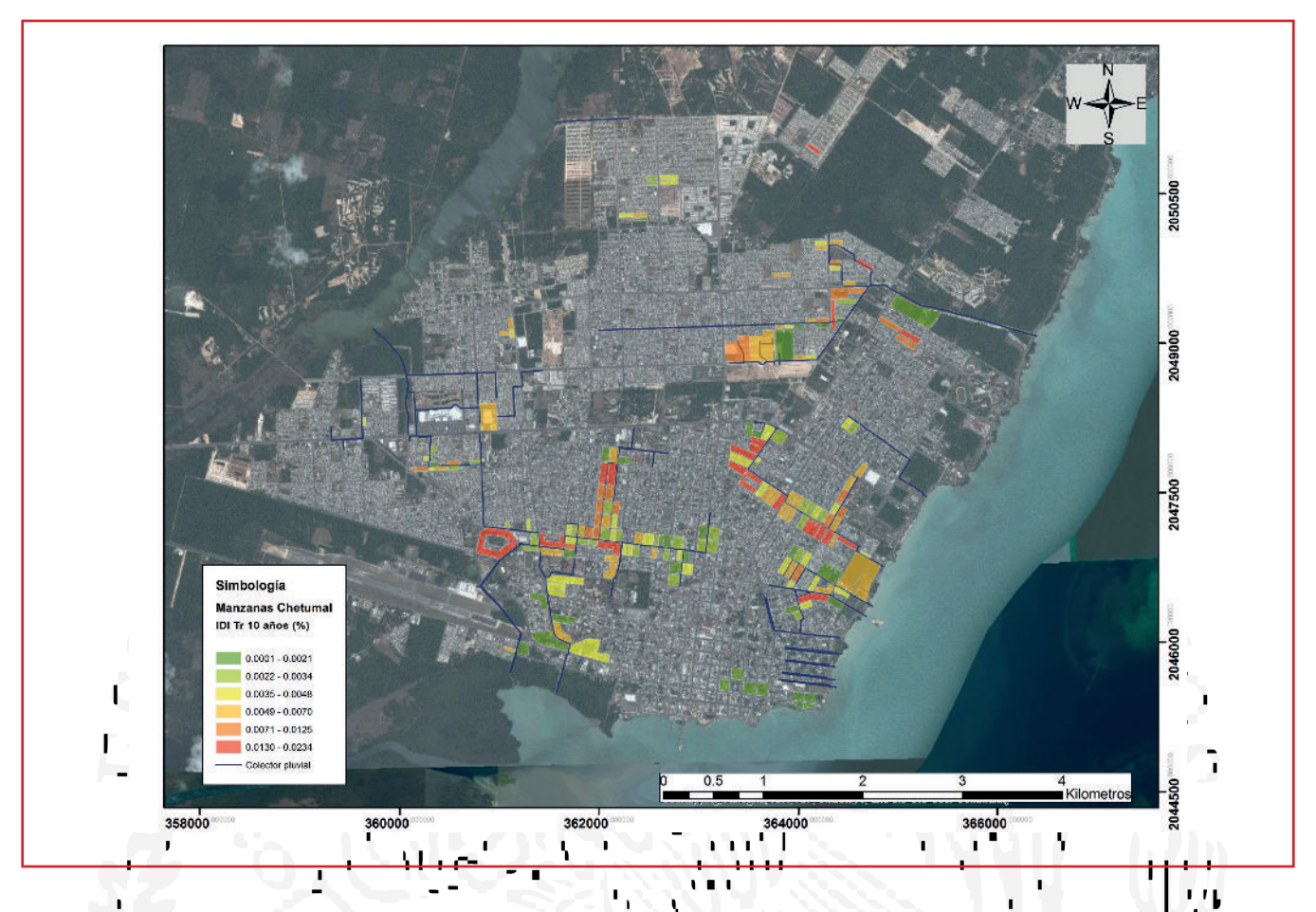








Ilustración 8.78 ICI para el periodo de retorno de 10 años



La Ilustración 8.81 muestra el índice de inundaciones para el periodo de retorno de 100 años el cual maneja un rango en porcentaje de 0.001 a 0.042%, con lo cual el 13.83 % de la población puede tener algún riesgo de sufrir inundaciones en épocas de lluvia. Cabe mencionar que los datos que se tomaron en cuenta para la generación del escenario son una lluvia de 207.6-mm, con una duración de 90 min.

8.10. CALLES AFECTADAS POR LAS INUNDACIONES

Ante las inundaciones en zonas urbanas, es muy recurrente que las vialidades se vean afectadas por el paso de las precipitaciones intensas dejando problemas de inacceso de vehículos y personas. Esto afecta todo tipo de actividades dentro de la región y genera, cuando el agua se encuentra anegada problemas de salud.

Considerándose que para la ciudad de Chetumal de acuerdo con los datos del AGEB se tienen 557.96 km de vialidades, se tiene una longitud de afectación vial que va de los 47 a los 124 km (ver Tabla 8.11. Por ejemplo se puede mencionar que para un periodo de retorno de 100 años se tiene un 22. 24 % de afectaciones viales en la ciudad de Chetumal. En la página 515 se hace una descripción en extenso de las calles inundadas

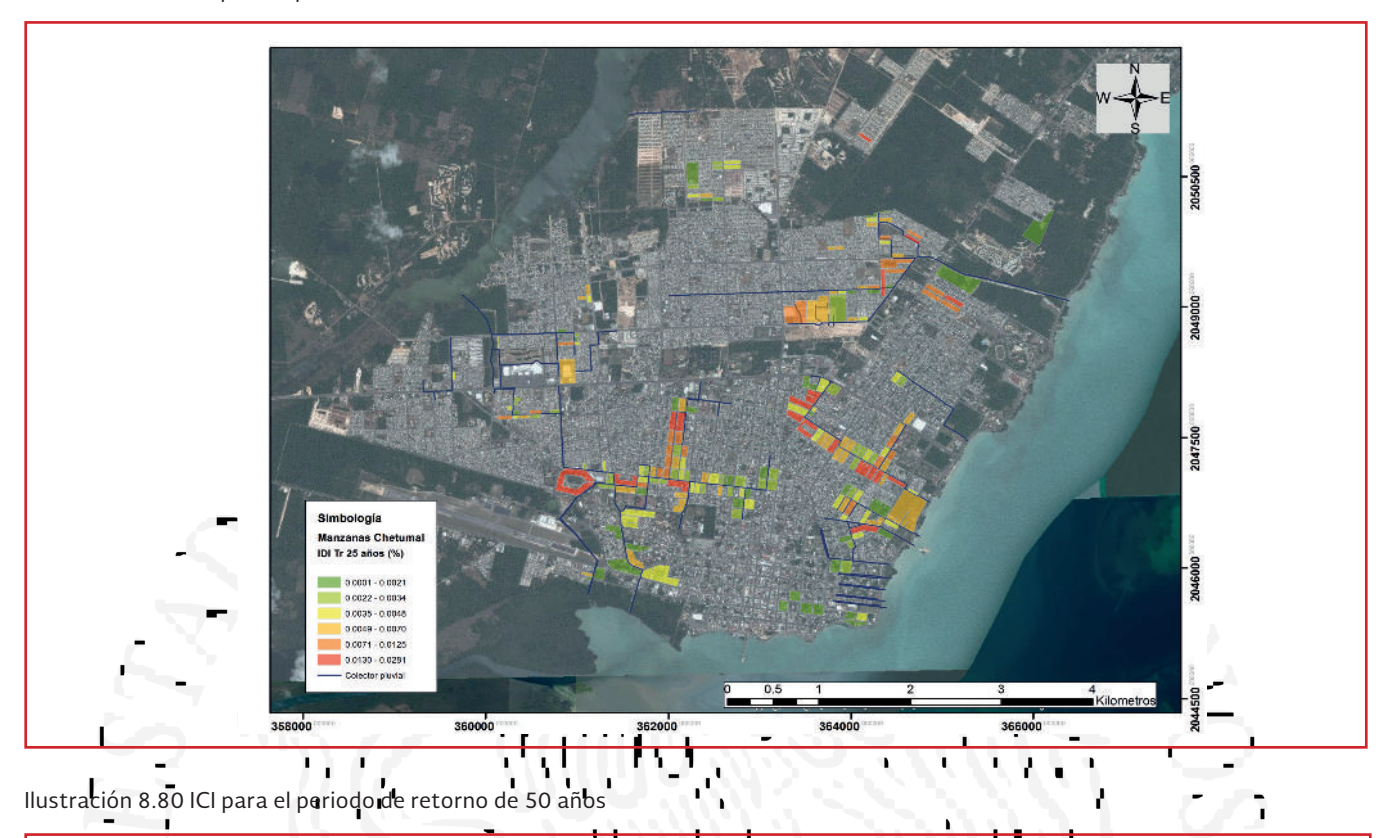


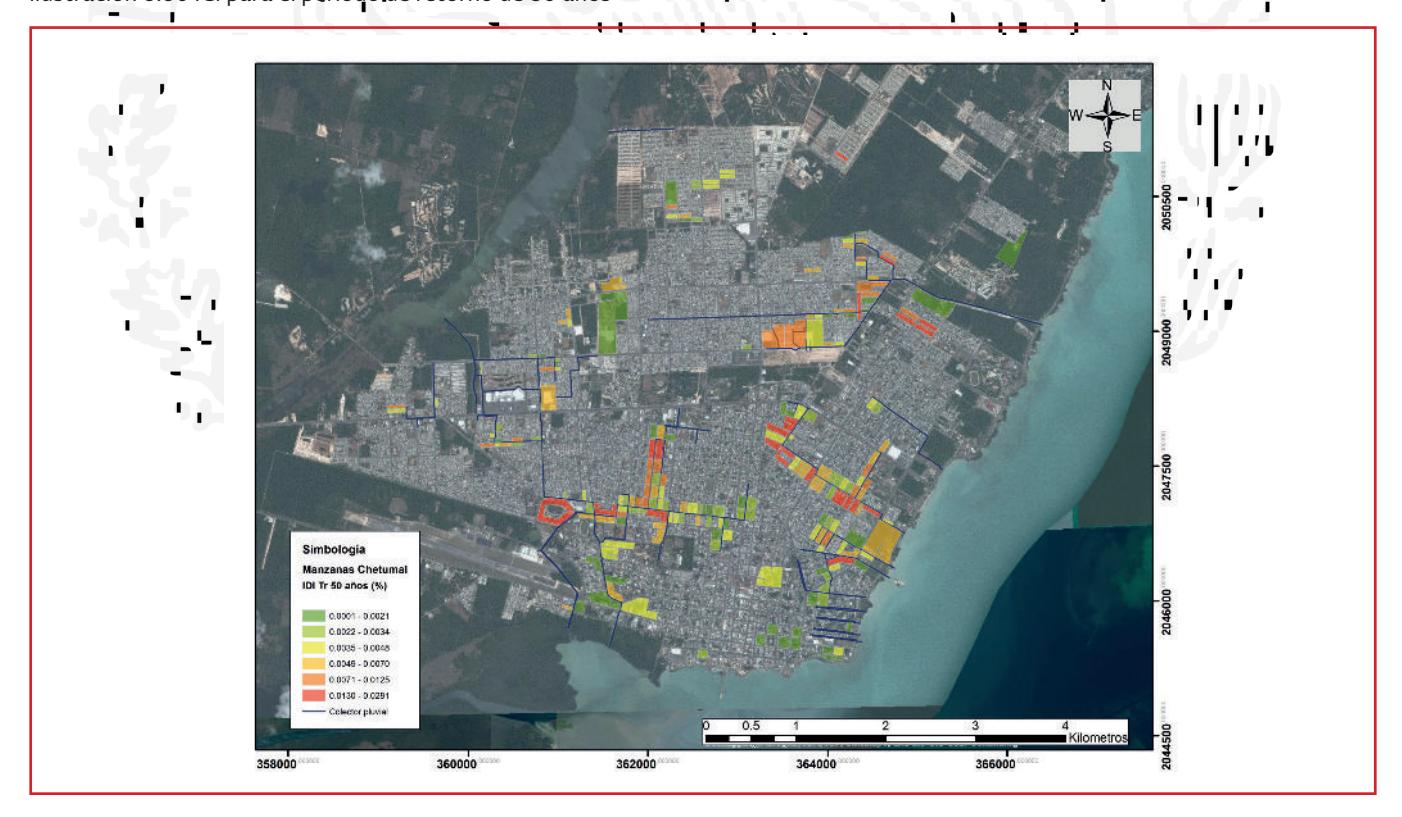






Ilustración 8.79 ICI para el periodo de retorno de 25 años













llustración 8.81 ICI para el periodo de retorno de 100 años

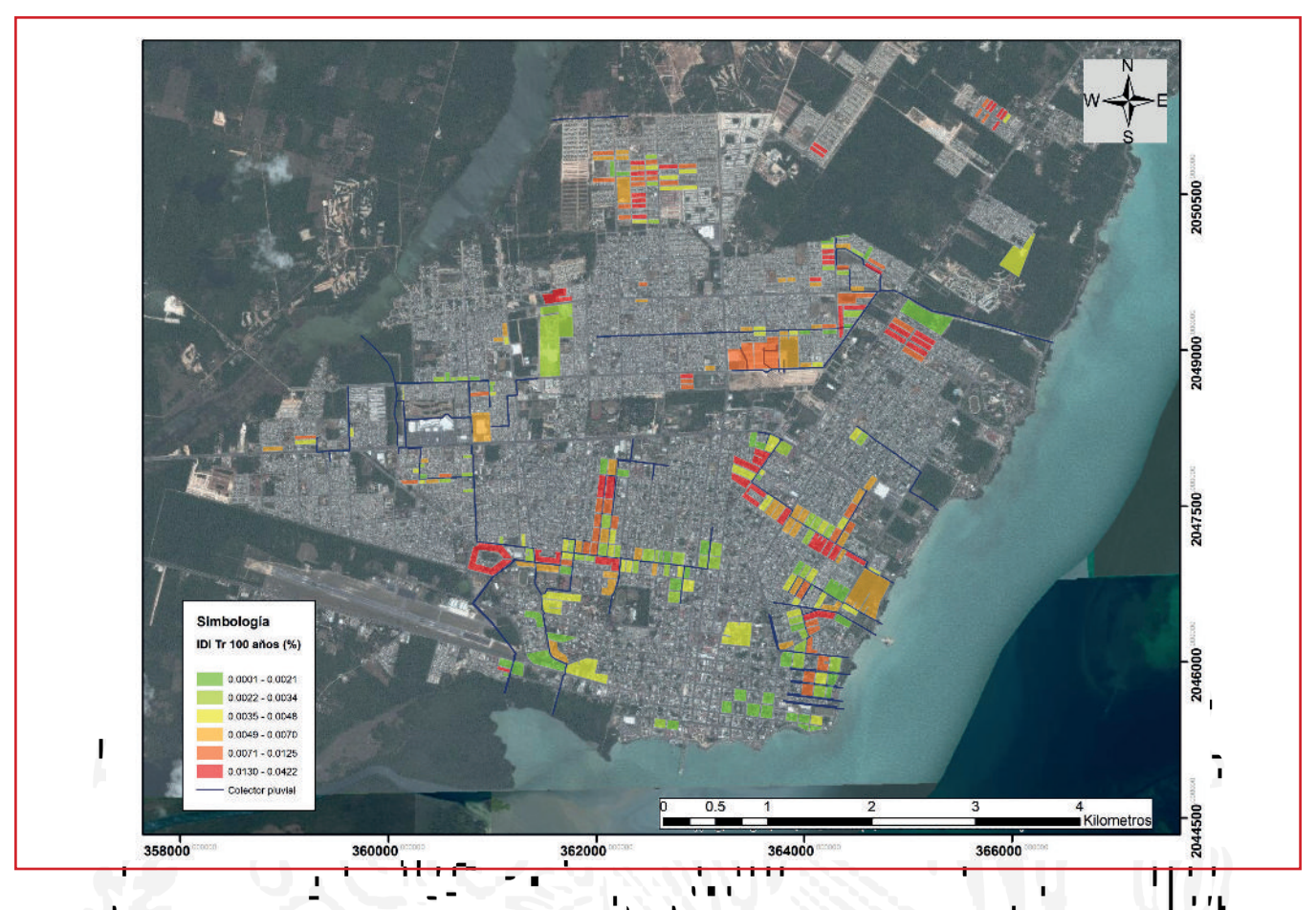


Tabla 8.11 Variables de afectación vial por <u>pe</u>riodo de retorno

| Afectación | Periodo de retorno | | | | | | | | |
|-----------------------------|--------------------|-----------|------------|------------|------------|-------------|--|--|--|
| | Tr 2 años | Tr 5 años | Tr 10 años | Tr 25 años | Tr 50 años | Tr 100 años | | | |
| Km | 47.190 | 57.774 | .65.839 | 78.686 | 89.314 | 124.070 | | | |
| Coeficiente Adimensional | ₫.085 | 0.104 | 0.118 | 0.141 | 0.160 | 0.222 | | | |
| Coeficiente Porcentaje (%). | 8.46 | 10.35 | 11.80 | 14.10 | 16.01 | 22.24 | | | |









8.11. TIRANTES DE INUNDACIÓN EN DIFERENTES COLONIAS DE CHETUMAL

Bajo los diferentes escenarios generados por el modelo de simulación hidráulica se puede trabajar en generar por colonia los niveles a los que puede llegar una inundación. En la Tabla 8.12 se presenta en las colonias más afectadas ante las precipitaciones intensas, donde se tienen los diferentes tirantes que se puede llegar a presentar para cada periodo de retorno en puntos específicos de algunas colonias.

Tabla 8.12 Evolución de los tirantes de inundación para cada periodo de retorno

| Colonias | Calles | × | , , , , | | _ | Periodo | de retorno | | |
|--------------------------|----------------------------------|-------------------------|------------|-------------|------|---------------|------------|--------------|------|
| Colonias | Canes | ^ | y | 2 | 5 | 10 | 25 | 50 | 100 |
| | | | | 2 | 3 | | náximo (m) | | 100 |
| Damia harria | Otlo for D. Dlanasa | 264055.22 | 204540025 | 1 41 | 1.62 | | | | 2.14 |
| Barrio bravo | Othón P. Blanco | 364055.33 | 2045400.35 | 1.41 | 1.63 | 1.75 | 1.91 | 2.03 | 2.14 |
| | Heroico colegio militar | 364077.287 | 2045491.75 | 1.15 | 1.29 | 1.42 | 1.6 | 1.73 | 1.84 |
| | Lázaro Cárdenas | 364121.364 | 2045906.39 | 1.26 | 1.33 | 1.37 | 1.43 | 1.48 | 1.67 |
| | Héroes de Chapultepec | 364011.206 | 2046082.39 | 1.15 | 1.21 | 1.40 | 1.56 | 1.62 | 1.83 |
| Plutargo Elías calles | 16 de septiembre | 363308.695 | 2045510.5 | 1.58 | 1.81 | 1.97 | 2.09 | 2.11 | 2.14 |
| 1-5 | Álvaro Obregón | 363439.346 | 2045620.41 | 1.39 | 1.61 | 1.82 | 2.1 | 2.27 | 2.45 |
| - | Reforma | 363593.339 | 2045598.2 | 1.15 | 1.31 | 1.44 | 1.61 | 1.73 | 1.98 |
| | Ignacio | 363307.004 | 2045752.65 | 0.57 | 0.65 | 0.71 | 0.78 | 0.83 | 1.01 |
| | Zaragoza | | | - NW I | | | " | 1.715 | |
| Centro | Francisco I. Madero | 362667.958 | 2045378.13 | 1.03 | 1.19 | 1.31 | 1.44 | 1.55 | 2.01 |
| | Independencia | 362801.229 | 2045378.08 | 0.96 | 1.15 | 1.31 | 1.47 | 1.48 | 1.5 |
| | Álvaro Obregón | 362316.528 | 2045726.44 | 0.53 | 0.61 | 0.67 | 0.75 | 0.85 | 1.11 |
| | Benito Juárez | 362931.572 | 2045532.5 | 0.51 | 0.6 | 0.65 | 0.73 | 0.78 | 0.97 |
| | Ignacio Zaragoza | 363043.639 | 2045776.74 | 0.52 | 0.61 | 0.66 | 0.74 | 0.79 | 0.98 |
| Lomas del | 1 | 361 1 79.176 | 2045934.7 | 0.7 | 0.76 | 0 .86 | 1.12 | - 1.3 | 3.85 |
| Caribe | 1 | 3612 13 .889 | 2046011.65 | 0.58 | 0.61 | | 0.93 | 1 .11 | 3.69 |
| Villas de Chetumal | Chiapas | 361141.126 | 2045836.19 | 0.39 | 0.57 | 0.69 | 0.76 | 0.81 | 1.08 |
| Fracc. | Efraín Aguilar | 361673.962 | 2046454.73 | _0.38 | 0.41 | 0.43 | 0.45 | 0.47 | 0.52 |
| Campestre | Presa de la amistad | 361657.075 | 2046589.82 | 0.44 | 0.47 | 0.49 | 0.51 | 0.52 | 0.58 |
| | Hidroeléctrica el infiernillo | 361990.86 | 2046240.76 | 0.28 | 0.3 | - 0.31 | 0.32 | 0.33 | 0.4 |
| | Adolfo López Mateos | 361392.524 | 2046701.44 | 0.35 | 0.38 | 0.4 | 0.43 | 0.44 | 0.51 |









Tabla 8.12 Evolución de los tirantes de inundación para cada periodo de retorno (continuación)

| Colonias | Calles | x | у | Periodo de retorno | | | | | |
|-------------------------------|--------------------------|------------|-------------------------|--------------------|--------------------|---------------|------------|---------------|------|
| | | | | 2 | 5 | 10 | 25 | 50 | 100 |
| | | | | | | Tirante i | máximo (m) | | |
| Italia | Venustiano Carranza | 361680.062 | 2046935.47 | 0.37 | 0.46 | 0.51 | 0.57 | 0.59 | 0.72 |
| | Sicilia | 361655.123 | 2047006.14 | 0.5 | 0.59 | 0.64 | 0.69 | 0.72 | 0.85 |
| | Bolonia | 361680.079 | 2046988.47 | 0.41 | 0.5 | 0.56 | 0.61 | 0.64 | 0.77 |
| Fracc. Flamboyanes | Venustiano Carranza | 361040.814 | 204694 2. 55 | 0.5 | 0.53 | 0.54 | 0.55 | 0.56 | 0.6 |
| | San Salvador | 361611.339 | 2047031.72 | 0.48 | 0.57 | 0.62 | 0.67 | 0.69 | 0.82 |
| | | 361569.364 | 2047094.39 | 0.47 | 0. 5 6 | 0.62 | 0.67 | 0.7 | 0.83 |
| | Palermo | 361392.811 | 2047204.63 | -1 .28 | 1.31 | 1.34 | 1.37 | 1.4 | 1.5 |
| | San Salyador 🔹 | 361547.432 | 2047118.86 | 0.31 | 0 . 39 | 0.45 | 0.5 | 0.53 | 0.65 |
| 8 de Octubre | Bugambilias | 361150.827 | 2047490.2 | 0.29 | 0.32 | 0.34 | 0.37 | 0.38 | 0.45 |
| | 5 | 361216.956 | 2047292.15 | 0.29 | 0.31 | 0.34 | 0.36 | 0.37 | 0.42 |
| | 7 | 361195.361 | 2047205.45 | 0.25 | 0.26 | 0.27 | 0.29 | 0.3 | 0.34 |
| Josefa | Sicilia | 361741.382 | 2047776.66 | - 0. 3 9 | 0.81 | 0.83 | 0.84 | 0.85 | 0.89 |
| Ortiz de Domíngue ż | 2 | 361371.246 | 2047711!28 | 0.68 | 0.71 | 0.73 | 0.75 | 0.76 | 0.79 |
| | Bugambilias | 361657.45 | 2047468.34 | 0.42 | 0.44 | 0 , 46 | 0.47 | 0.49 | 0.53 |
| Aserradero | Justo Sierra | 361963.593 | 2047292.47 | 0.87 | 0.92 | 0.94 | 0.96 | 0.98 | 1.04 |
| | Venecia | 361963.479 | 2047226.7 | 0.72 | 0.76 | 0.78 | 0.8 | 0.82 | 0.88 |
| | Génova | 361877.804 | 2047182.54 | 0.36 | 0.39 | 0.4 | 0.42 | 0.43 | 0.48 |
| Venustiano | José Ma. | 362713.237 | 2046808.39 | 0.82 | 0.9 | 0∎96■ | 1.02 | 1.07 | 1.23 |
| Carranza | Morelos San Salvador | 362735.546 | - 2046940.33 | 1.09 | 1.17 | 1.22 | 1.29 | 1. 3 3 | 1.5 |
| 45 | Plan de Guadalupe | 362777.157 | 2046919.29 | \ 0.84 | 0.92 | 0.98 | 1.04 | 1.09 | 1.25 |
| Leona vicario | Camelias | 362712.842 | 2047073.26 | 0.91 | 0.99 | 1.05 | 1.11 | 1.16 | 1.32 |
| | Emiliano Zapata | 362712.954 | 2047143.55 | 0.88 | 0.95 | 1.01 | 1.08 | 1.12 | 1.29 |
| | Hermenegildo Galeana | 362658.815 | 2047051.41 | 0.63 | 0.71 | 0.77 | 0.83 | 0.88 | 1.04 |
| | Anastasio Guzmán | 362779.36 | 2047974.19 | 0.5 | 0.53 | 0.55 | 0.58 | 0.6 | 0.67 |
| David | Camelias | 362758.206 | 2047067.02 | 0.91 | 0.99 | 1.05 | 1.11 | 1.16 | 1.32 |
| Gustavo | Francisco + Madero • | 362847.264 | 2046962.19 | 0.41 | 0.49 | 0,54 | 0.61 | 0.65 | 0.81 |
| | Independencia | 362999.323 | 2047182.43 | 0.42 | 0.5 | 0.55 | 0.62 | 0.66 | 0.83 |
| | Benito Juárez | 363109.684 | 2047292.62 | 0.93 | 0.98 | 1.04 | 1.1 | 1.15 | 1.31 |
| Colonia Ley Federal del | Juan José Siordia | 363482.513 | 2047754.29 | 1.16 | 1.2 | 1.23 | 1.26 | 1.27 | 1.34 |
| agua | Anastasio Guzmán | 363505.808 | 2047839.26 | 0.58 | 0.62 | 0.65 | 0.68 | 0.69 | 0.75 |
| | Presa de la angostura | 363416.723 | 2047686.67 | 0.53 | 0.57 | 0.6 | 0.63 | 0.64 | 0.71 |









Tabla 8.12 Evolución de los tirantes de inundación para cada periodo de retorno (continuación)

| Colonias | Calles | x | у | | | Periodo | de retorno | | |
|------------------------|------------------------------|---------------------|---------------------|---------------|-------|---------------|---|---------|------|
| | | | | 2 | 5 | 10 | 25 | 50 | 100 |
| | | | | | | Tirante n | náximo (m) | | |
| S.A.H.O.P. | Luis E. Bracamontes | 363591.458 | 2047970.07 | 0.42 | 0.48 | 0.51 | 0.54 | 0.55 | 0.62 |
| | Marciano González | 363637.467 | 2048023.71 | 0.46 | 0.49 | 0.51 | 0.54 | 0.55 | 0.59 |
| | Mariano García | 363681.262 | 2048 <u>0</u> 90.6 | 0.26 | 0.29 | 0.31 | 0.33 | 0.34 | 0.38 |
| Adolfo Lopez Mateos | Caboas | 363614.06 | 2047446.69 | 0.62 | 0.64 | 0.66 | 0.67 | 0.68 | 0.72 |
| | Manuel M. Diéguez | 363878.224 | 2047204.43 | 0.94 | 0.97 | 0.99 | 1.02 | 1.04 | 1.09 |
| | Felipe Ángeles | 363940.517 | 2047227.35 | 1.22 | 1.24 | 1.27 | 1.3 | 1.31 | 1.36 |
| | Francisco J. Mujica | 363991.201 | 2047203.09 | 1.16 | 1.21 | 1.24 | 1.26 | 1.27 | 1.32 |
| | José Luis Moya | 364125.289 | 2046985.31 | 1.05 | 1.12 | 1.16 | 1.21 | 1.24 | 1.38 |
| | Manuel M. Diéguez | 364273.96 | 2046981.61 | 0.88 | 0.95 | 0.99 | 1.04 | 1.08 | 1.21 |
| | Felipe Carrillo Puerto | 363858.585 | 2046676.49 | 1.55 | 1.73 | 1.77 | 1.81 | 1.87 | 2.06 |
| | Heriberto Frías | 364387.18 | 2047270.22 | 1.3 | 1.35 | 2.02 | 2.04 | 2.05 | 2.08 |
| | Segundo Periférico | 364561.757 | 2047291.75 | 0.87 | 0.94 | 0.98 | 1.03 | 1.06 | 1.19 |
| | Insurgentes | 364430.045 | 2047754.01 | 0.5 | 0.52 | 0.53 | 0.54 | 0.55 | 0.58 |
| Primera Legislatura | Agustín E. Melgar | 363988.847 | 2046388.98 | -i.1 | 1.13 | 1.16 | 1.19 • • • • • • • • • • • • • • • • • • • | 1.2 | 1.37 |
| مال الم | Heriberto Jara 🛘 | 3687031409 | 2046566.5 | 1.37 | 1.38 | 1.4 | 1.41 | 1.42 | 1.45 |
| 45 | Josefa Ortíz de Domínguez | 3639 8 8.968 | 2046456.03 | 1.48 | 1.49 | 1.5 | 1.52 | 1.55',' | 1.68 |
| Aarón Merino | Lucio Bravo | 364320.583 | 2046588.31 | 0.51 | 0.7 | 1.03 | 1.09 | 1.12 | 1.21 |
| Fernández | Futura | 364165.232 | 2046676.26 | 0.6 | 0.79 | 0.92 | 1 | 1.04 | 1.22 |
| | Ruíz Cortínez | 364055.914 | 2046544.39 | 0.45 | 0.64 | 0.77 | 0.84 | 0.89 | 1.06 |
| Fracc. Reforma | José Ma. Pino 🗖 🗾 Suárez | 364978,134 | 2047973.86 | 0.56 | 0.58 | 0.59 | 0.61 | 0.63 | 0.66 |
| - | José Ma. Izazaga | 3649 <u>1</u> 1.979 | 2047862.62 | 0.5 | 0.51 | 0.53 | 0.54 | 0.56 | 0.59 |
| 5 de Abril | Aquilés Serdán | 365396.284 | 2048370.44 | 0.95 | 1.09 | 1.13 | 1.15 | 1.17 | 1.21 |
| | Matamoros | 365353.353 | 2048324.16 | 0.95 | 1.09 | 1.13 | 1.15 | 1.16 | 1.22 |
| | Jesús Urueta | 365309.325 | 2048259.14 | 0.32 | 0.47 | 0.51 | 0.52 | 0.53 | 0.59 |
| Del Bosque | Cedro | 364978.882 | 2049 <u>1</u> 19.48 | 1.28 | I.46 | 1.66 | 1.95 | 2.16 | 2.69 |
| | Almendro | 365661.075 | 2048856.58 | - 0.93 | 0.95_ | - 0.96 | 0.97 | 0.98 | 1 |
| Fracc. Club | Andara | 365727.364 | 2049470.39 | 0.78 | 0.91 | 1.01 | 1.09 | 1.16 | 1.43 |
| Residencial Andara | Andara | 365683.364 | 2049536.39 | 0.5 | 0.62 | 0.72 | 0.8 | 0.87 | 1.15 |
| aru | Xiabre | 365639.158 | 2049490.73 | 0.72 | 0.84 | 0.94 | 1.03 | 1.09 | 1.37 |
| Infonavit Santa Ma. | Pascual Coral Heredia | 366128.741 | 2050035.45 | 0.31 | 0.44 | 0.59 | 0.86 | 1.06 | 1.68 |









Tabla 8.12 Evolución de los tirantes de inundación para cada periodo de retorno (continuación)

| Colonias | Calles | х | у | | | Periodo (| de retorno | | |
|------------------------------|--------------------------|---------------------|-----------------------------|-------------------|---------------------------|--------------|--------------|----------------|------|
| | | | | 2 | 5 | 10 | 25 | 50 | 100 |
| | | | | | | Tirante m | náximo (m) | | |
| Antorchista | Centenario | 366255.364 | 2051230.39 | 0.26 | 0.33 | 0.41 | 0.52 | 0.55 | 0.64 |
| | | 366541.364 | 2050922.39 | 0.31 | 0.38 | 0.45 | 0.57 | 0.66 | 0.96 |
| Pacto Obrero | 2 Norte B | 365793.315 | 2051273.02 | 0.71 | 0.83 | 0.96 | 1.18 | 1.39 | 2.08 |
| | Ernesto | 365880.457 | 2051208.74 | 0.67 | 0.79 | 0.92 | 1.14 | 1.35 | 2.04 |
| | Villanueva Madrid | _ | TIME | | 1 | | | | |
| | 2 Sur A | 365813.638 | 1051230. <u>8</u> 1 | 0.83 | 0.85 | 0.96 | 1.18 | 1.39 | 2.08 |
| Fracc. Oxtan | Vinal | 365462.264 | 2050790.39 | 0.48 | 0.60 | 0.66 | 0.69 | 0.70 | 0.73 |
| KahlyII | J. Canek | 365410.171 | 2050717.6 | 0.34 | 0.46 | 0.53 | 0.55 | 0.56 | 0.59 |
| Etapa | | | | | | _ | | | |
| Fracc. Las Américas I | Costa Rica | 364441.238 | 2051442.71 | 0.40 | 0.58 | 0.77 | 1.00 | 1.18 | 1.44 |
| Etapa | Guatemala | 364483.187 | 2051481_34 | 0.38 | 0 .39 | 0.44 | Q .67 | 0.86 | 1.11 |
| | H onduras | 364515.123 | - 205 1 521.4 | 1 1 X 2 | 0.26 | 0.33 | 0.34 | 0.35 | 0.57 |
| Arboledas | Cocoyol | 364656.59 | 2049892.55 | 0.54 | 0.64 | 0.82 | 1.08 | 1.25 | 1.3 |
| | Flamboyán | 364718.126 | 2049799.8 | 0.81 | 1.06 | 1.36 | 1.71 | 1.89 | 2.43 |
| | Flamboyán | 364407.364 | 2049976.39 | 0.88 | 1.28 | 1.68 | 2.35 | 2.67 | 3.27 |
| Fracc. Arboled a s | Guanábana | 364429.551 | 2049778.65 | | 1.4 | 1.79 | 2.47 | 2.7 6— | 3.27 |
| II Etapa y | | | ara ing | 1000 | $\mathbf{v}_{\mathbf{v}}$ | 1111 | 1 . 1 | | |
| Sector B | 1 // | Į (A | | | | | 1 | - | • |
| _ | •Machiche | 364583.323 | 2049822.35 | 1.02 | 1.42 | 1.8 | 2.45 | 2.73 | 3.22 |
| | Machuxac | 364539.331 | 2049553.77 | 0.52 | 0.64 | 0.71 | 0.82 | 0.89 | 1.12 |
| | Chicozapote | 364319.36 <u>4</u> | 2049404.39 | 1.29 | 1.49 | 1.64 | 1.84 | 2.01 | 2.63 |
| | Arboledas - | 36438 5-37 4 | 2049382.94 | 1.18 | 1.38 | 1.53 | 1.73 | 1.9 | 2.53 |
| | | 364407-299 | 2049 4 29.3 | 1.01 | 1.21 | 1.36 | 1.56 | 1.73 | 2.36 |
| Isabel | Chaca | 364403.68 | 2048878.68 | 1.25 | 1.26 | 1.28 | 1.29 | 1.3 | 1.33 |
| Tenorio | Rafael Donde | 364407 | 2048830.78 | 0.72 | 0.74 | 0.75 | 0.76 | 0.77 | 0.81 |
| Proterritorio | 27 de Septiembre | 363527.371 | 2048870.76 | 1.11 | _14 | 1.6 | 1.84 | 2.01• 1 | 2.54 |
| | Erick Paolo Martínez | 363 7 48.726 | 2048808.89 | 1.01 | - 1.3 - 1 | 1.5 | 1.75 - | 1.91 | 2.44 |
| | Constituyentes del 74 | 363263.48 | 2048810.27 | 1 .15 | 1.44- | 1 .64 | 1.89 | - 2.05 | 2.58 |
| | 1° de Mayo □ | 363636.501 | 2049184.39 | 1.23 | 1.24 | 1.25 | 1.26 | 1.33 | 1.86 |
| | Corozal | 363394.842 | = 2049183 .81 | O . 96 | 0.98 | 0.99 | - 1 | 1.2 | 1.46 |
| | Reforma : | 363131.352 | 2049162.38 | 0.88 | 0.9 | 0.91 | 0.92 | 0.93 | 1.14 |
| | | | | û | | | | | |









Tabla 8.12 Evolución de los tirantes de inundación para cada periodo de retorno (continuación)

| Colonias | Calles | х | у | Periodo de retorno | | | | | |
|--|--------------------------------|------------|-------------------------|--------------------|---------------|-----------|----------|--------|------|
| | | | | 2 | 5 | 10 | 25 | 50 | 100 |
| | | | | | | Tirante m | áximo (m |) | |
| Bachilleres II | Constituyentes del 74 | 363263.443 | 2048788.47 | 1.12 | 1.41 | 1.61 | 1.85 | 2.02 | 2.55 |
| | Erick Paolo Martínez | 363197.29 | 2048784.46 | 1.17 | 1.46 | 1.66 | 1.99 | 2.15 | 2.68 |
| | Tela | 363153.438 | 2048633.3 | 1.15 | 1.17 | 1.37 | 1.68 | 1.85 | 2.37 |
| | El Naranjal | 362955.364 | 2048700.39 | 1.12 | 1.2 | 1.4 | 1.65 | 1.81 | 2.34 |
| Solidaridad | Alfredo V. Bonfil | 362799.477 | 2048942.43 | ' 0.69 | 0.75 | 0.77 | 0.81 | 0.84 | 1.13 |
| | Petcabab | 362491.669 | 2049469.5 | 0.91 | ± .05 | 1.14 | 1.24 | 1.31 | 1.59 |
| | Ramonal | 362382.995 | 2049184.84 | - 0.69 | 0.82 | 0.91 | 1.02 | 1.1 | 1.27 |
| | Tepion _ | 362514.83 | 20492 9 5.07 | 0.59 | - 0.72 | 0.81 | 0.92 | 1 | 1.14 |
| | Sa <u>c-</u> Xan | 362142.922 | 2049008.52 | 0.27 | 0.29 | 0.31 | 0.34 | 0.37 | 0.43 |
| Andrés | Nicolás Bravo | 362252.464 | 2048678.39 | 1.07 | 1.08 | 1.1 | 1.11 | 1.12 | 1.14 |
| Quintana Roo | Valle Hermoso | 362537.285 | 2048656.86 | 0.52 | 0.56 | 0.6 | 0.63 | 0.66 | 0.89 |
| Ampliación | Retorno Polyuc | 362407.014 | 2049624.39 | 1.03 | 1.19 | 1.29 | 1.42 | 1.51 | 1.83 |
| Proterritorio | . Alfredo V. Bonfil | 362779.364 | 2049580.39 | 0.76 | 0.77 | 0.78 | 0.79 | 0.8 | 0.81 |
| Fracc. Proterritorio, I, II, III, IV, V, VI, VII y VIII | Guillermo López | 363923.306 | 2049668.37 | 1.07 | 1.54 | 1.83 | 2.3 | 2.31 | 2.34 |
| | Manuel Crescencio Renjón | 363724.202 | 2049602.36 | 0.26 | 0.3 | 0.32 | 0.36 | 0.38 | 0.58 |
| Fracc. Caribe | Petcabab . | 362471.45 | 2050790.26 | 0.5511 | 0.66 | 0.84 | 1.18 | 141 1 | 2.13 |
| I, II, III, IV, V, VI Etapa | Haití - | 362316.838 | 2050415.82 | 0.87 | 1.02 | 1.46 | 1.73 | 1.93'' | 2.57 |
| стара . | Polyuc | 362338.92 | 2050262.79 | 1.32 | 1.51 | 1.59 | 1.62 | 1.79 | 2.43 |
| -4. | Petcabab | 362493.38 | 2050262.38 | 0.56 | 0 <u>.</u> 74 | 0.91 | 114 | 1.16 | 1.2 |
| | Naranjal | 362955.285 | 2051164.47 | 0.31 | - 0.34 | 0.37 | _ 0.4 | 0.42 | 0.59 |
| Territorio | Polyuc | 362358.897 | 2049844.31 | 0.6 | 0.7 | 0.78 | 0.86 | 0.89 | 0.96 |
| Federal | Tomás Aznar Barbachano | 362471.455 | 2049868.54 | 0.77 | 0.88 | 0.95 | 1.03 | 1.06 | 1.14 |
| Payo Obispo | Celul | 361085.659 | 2049121.66 | 1.16 | 1.2 | 1.23 | 1.26 | 1.3 | 1.4 |
| | • Perdiz | 360931.218 | 2049294.74 | 0.34 | 0.35 | 0.37 | 0.39 | 0.41 | 0.49 |
| Infonavit | Tela | 361020.155 | 2048549.26 | 0.29 | 0.32 | 0.51 | 0.64 | 0.67 | 0.74 |
| Fidel | Tabí | 361239.628 | 2048414.63 | 0.28 | 0.3 | 0.32 | 0.34 | 0.35 | 0.38 |
| Velázquez | 33 | 360975.387 | 2048590.49 | 0.63 | 1.15 | 1.42 | 1.56 | 1.58 | 1.66 |
| Jardines de Payo Obispo | Cochuan | 359809.636 | 2048263.85 | 0.44 | 0.47- | 0.58 | 0.64 | 0.67 | 0.76 |
| | Ecab | 359632.97 | 2048172.11 | 0.9 | 1.6 | 1.72 | 1.78 | 1.81 | 1.89 |









Tabla 8.12 Evolución de los tirantes de inundación para cada periodo de retorno (continuación)

| Colonias Calles x y Periodo de reto | | | de retorno | | | | | | |
|-------------------------------------|-------------------------|------------|------------|------|------|-----------|------------|------|------|
| | | | | 2 | 5 | 10 | 25 | 50 | 100 |
| | | | | | | Tirante m | náximo (m) | | |
| Forjadores | Manuel Ríos Norman | 359234.956 | 2047841.64 | 0.59 | 0.82 | 0.83 | 0.84 | 0.85 | 0.87 |
| | Melquiades A. Borges | 359457.666 | 2047950.22 | 0.29 | 0.32 | 0.33 | 0.34 | 0.35 | 0.38 |
| | Darío Guerrero | 359303.075 | 2047556.36 | 0.29 | 0.31 | 0.32 | 0.34 | 0.35 | 0.39 |
| | Santana Hernández | 359324.524 | 2047494.11 | 0.28 | 0.3 | 0.31 | 0.33 | 0.34 | 0.39 |
| Milenio | 4 | 358686.232 | 2047536.56 | 0.39 | 0.49 | 0.62 | 0.84 | 1 | 1.1 |
| | Siglo XX | 358662.268 | 2047622.38 | 0.39 | 0.49 | 0.62 | 0.84 | 1 | 1.1 |
| Jardines | Claveles | 360470.284 | 2047278.12 | 0.35 | 0.37 | 0.39 | 0.42 | 0.44 | 0.52 |
| | Limonarias | 360491.323 | 2046962.35 | 0.26 | 0.27 | 0.28 | 0.29 | 0.3 | 0.34 |
| | Tréboles | 360692.973 | 2046944.9 | 0.4 | 0.45 | 0.49 | 0.53 | 0.57 | 0.71 |

8.12. ÁREAS DE INUNDACIÓN

A fin de establecer las áreas de inundación con el objeto de conocer las colonias con una mayor cobertura de agua de lluvia, se toma como datos de partida los escenarios generados a partir del modelo de simulación hidráulica y se hace el cálculo para un periodo de retorno de 10 años, debido a que es el periodo que recomienda la CONAGUA para el diseño de obras pluviales ver Tabla 8.13.

Tabla 8.13 Áreas de inundación por colonias

| N | lo. | Colonia | Área (ha) |
|---|--------|---|-----------|
| 1 | 1 | Zona de Granjas | 20.99 |
| | 2 | Col. Adolfo López Mateos | 14.85 1 1 |
| 3 | 3 | Col. Centro | 14.04 |
| | 4 | Col. Proterritorio | 9.97 |
| 5 | 5 | Col. Barrio Bravo | 8.95 |
| | 6 | Col. Plutarco E. Calles | 8.3-2 |
| | 7 | Col. Constituyentes | 7.27 |
| 3 | 8 _ '' | Aeropuerto | 5.24 |
| ç | 9 | Fracc. Arboledas II Etapa y Sector B | 4.96 |
| 1 | .0 | Fracc. Flamboyanes | 4.53 |
| 1 | .1 | Col. David Gustavo | 4.51 |
| 1 | .2 | Fracc. Caribe I, II, III, IV, V, VI Etapa | 4.50 |
| 1 | .3 | Col. Solidaridad | 4.49 |
| 1 | .4 | Col. Andrés Quintana Roo | 3.32 |
| 1 | .5 | Col. Venustiano Carranza (Las Casitas) | 3.03 |
| 1 | .6 | Col. Leona Vicario | 2.79 |









Tabla 8.13 Áreas de inundación por colonias (continuación)

| No. | Colonia | Área (ha) |
|--------------|---|-----------|
| 17 | Bodega Aurrera Constituyentes | 2.59 |
| 18 | Fracc. Club Residencial Andaras | 2.58 |
| 19 | Col. Industrial | 2.43 |
| 20 | Fracc. Reforma | 2.39 |
| 21 | Col. Del Bosque | 2.35 |
| 22 | Col. 5 de Abril | 2.26 |
| 23 | Col. Pacto Obrero Campesino | 2.13 |
| 24 | Col. Primera Legis atura | 1.96 |
| 25 | Col. Antorchista | 1.86 |
| 26 | Fracc. Campestre | 1.86 |
| 27 | Col. Italia | 1.86 |
| 28 | Bachilleres II | _1.85 |
| 29 | Infonavit Aarón Merino Fernández | 1.78 |
| 30 | Col. Josefa Ortiz de Domínguez | 1.38 |
| 31 | Infonavit Fidel Velázquez | 1.37 |
| - 32 | Col. Payo Obispo | 1.23 |
| 33 | Col. S.A.H.O.P. | 1.22 |
| 34 | Fracc. Las Américas I Etapa | 1.14 |
| 35 | Grupo Domos ABC Zona Industrial | 1.14 |
| 36 | Col. Aserradero | 1.13 |
| 37 | Col. Lagunitas | 1.12 |
| 38 | Col. Ley Føderal del Agua | 1.12 |
| 39 | Col. Isabel Tenorio | 1.07 |
| 40 | Col. Territorio Federal de Q. R. | 0.99 |
| 41 | Col. Forjadores | 0.98 |
| 42 = | Col. Tamalcab (NUEVO PROGRESO)_ | 0.87 |
| 43 | Col. Jardines de Payo Obispo | 0.84 |
| 44 | | 0.82 |
| 45 | Fracc. Sian Kaan I Etapa | 0.79 |
| - 4 6 | Fracc. Proterritorio, I, II, III, IV, V, VI, VII y VIII | 0.78 |
| 47 | SORIANA | 0.75 |
| 48 | Col. Jardines | 0.75 |
| 49 | Col. Fracc. Los Monos | 0.74 |
| 50 | Infonavit Sa nta M aría | 0.73 |
| 51 | Fracc. Oxtan Kah I y II Etapa | 0.72 |
| 52 | Col. Ampliación Proterritorio | 0.65 |
| 53 | Col. 8 de Octubre | 0.64 |
| 54 | Col. Francisco J. Mújica | 0.63 |
| 55 | Fracc. Arboledas | 0.57 |
| 56 | Fracc. Villas Universitarias | 0.56 |
| 57 | ZOOLOGICO | 0.54 |









Tabla 8.13 Áreas de inundación por colonias (continuación)

| No. | Colonia | Área (ha) |
|----------------|--|--------------|
| 58 | Conjunto Habitacional Lomas del Caribe | 0.53 |
| 59 | Fracc. Mediterráneo I, II y III Etapa | 0.48 |
| 60 | Col. Lázaro Cárdenas | 0.47 |
| 61 | Col. Benito Juárez | 0.46 |
| 62 | Fracc. Nueva Generación | 0.45 |
| 63 | Fracc. Sian Kaan II Etapa | 0.43 |
| 64 | ltch - | 0.42 |
| 65 | Col. Jesús Martínez Ross | 0.39 |
| 66 | Fracc. Def Mar I y II | 0.39 |
| 67 | Infonavit Villas de Chetumal | 0.37 |
| 68 | Plaza las Américas | 0.34 |
| 69 | Residencial Caribe | 0.31 |
| 70 | Fracc. La Sabana | 0.30 |
| 71 | Col. 20 de Noviembre | 0.27 |
| - 72 | Fracc. La Isla | 0.26 |
| 73 | Col. Naval | 0.23 |
| - 74 | Fracc. Bahía | 0.20 |
| 75 | Col. Taxistas | 0.20 |
| - 76 | Ciudad de los Niños | 0.20 |
| 77 | Fracc. Gonzalo Guerrero | 0.19 |
| 78 | Col. Guadalupe Victoria | 0.18 |
| 79 | Col. ISSSTE | 0.18 |
| 80 | Fracc. Bosques del Lago | 0.17 |
| 81 | Infonavit Enrique Ramírez y Ramírez | 0.17 |
| 82 - | Fracc. Bugambilias | 0.16 |
| 83 | SECRETARIA DE MARINA | 0.14 |
| 84 | Col. Miraflores | 0.14 |
| 85 | Parque Ecológico | 0.14 |
| 86 | Infonavit Emancipación | 0.13 |
| - • 87 | Fracc. Félix González Canto | 0.12 |
| 88 | Fracc. Hacienda Chetumal | 0.12 |
| • 89 | PLAZAS COMERCIALES | 0.11 |
| 90 - | Col. Nuevo Progreso | 0.10 |
| 91 | Col. López Portillo | 0.10 |
| 92 | Col. Rafael E. Melgar | 0.09 |
| 93 | Fracc. El Encanto | 0.08 |
| 94 | Fracc. Payo Obispo VI Etapa | 0.08 |
| 95 | Fracc. Brisas | 0.08 |
| 96 | Col. FOVISSTE | 0.06 |









Tabla 8.13 Áreas de inundación por colonias (continuación)

| No. | Colonia | Área (ha) |
|--------------|--------------------------------------|--------------|
| 97 | Fracc. Aeropuerto | 0.06 |
| 98 | Fracc. Cumbres | 0.06 |
| 99 | Fracc. Tampico | 0.05 |
| 100 | Fracc. Payo Obispo III y IV Etapa | 0.03 |
| 101 | Fracc. Rojo Gómez II Etapa | 0.03 |
| 102 | Fracc. Cedros | 0.03 |
| 103 | Fracc. Miraflores | 0.03 |
| 104 | TELMEX | 0.03 |
| 105 | Fracc. Sian Kaan III Etapa | 0.02 |
| 106 | Fracc. Plutarco E. Calles | 0.01 |
| 107 | Fracc. Kinichna | 0.01 |
| 108 | Fracc. Maya Real | _0.01 |
| 109 | Fracc. Rojo Gómez I Etapa | 0.01 |
| 110 | Col. Militar | 0 <u>.01</u> |
| 111 | Multiplaza Chedrahui | 0.00 |
| - 112 | Fracc. Mediterráneo I, II y II Etapa | 0.00 |

8.13. ACCIONES IDENTIFICADAS

A partir de los datos obtenidos la acción a realizar es diseñar y construir obra pluvial en las zonas más vulnerables de Chetumal, la Tabla 8.13 presenta las 15 colonias que deben ser atendidas con mayor prioridad para poder aminorar las áreas y tirantes de inundación.

Toma en consideración los mapas de tirantes de máximo de inundación se pueden establecer las zonas a las cuales no se deben de realizar construcciones urbanas, debido a su naturaleza de ser zonas de retención del agua de lluvia. Es importante tomar estos mapas en cuenta, para establecer zonas de crecimiento donde se tenga una mayor seguridad en el desplante de nuevos desarrollos úrbanos.

Con el estudio del IMTA del año 2012, se propuso un colector denominado Gran Canal, se debe determinar hasta la zona denominada soriana, para r desalojar el agua de uno de los puntos más críticos de la ciudad.

8.14. CONCLUSIONES ESPECÍFICAS.

• El modelo de simulación se construyó a base de un MDE, la planimetría de la ciudad, caracterización geomorfológica de las microcuencas y el drenaje pluvial; tomando como condicional inicial lluvias de proyecto que van de los 2 a los 100 años de periodo de retorno, para poder generar el sentido y dirección del flujo superficial de todos los escenarios









- La CONAGUA recomienda para la construcción de obras pluviales el periodo de retorno de 10 años, por lo tanto se requiere de un estudio costo beneficio para conocer que puede resultar viable, construir nueva infraestructura o reparar el daño causado por el fenómeno hidrometeorológico. El daño estructural de viviendas asciende a 34.76 millones de pesos
- Con el análisis del Índice Contra Inundaciones (ICI) se puede establecer que para un periodo de retorno de 10 años (recomendación de la CONAGUA para el diseño de obras pluviales), se presenta una población de 13 309 habitantes con riesgo potencial de sufrir problemas relacionados con las inundaciones en la ciudad de Chetumal
- Uno de los problemas recurrentes al tiempo de las precipitaciones intensas es la afectación vial, de acuerdo con el modelo de simulación hidráulica para un periodo de retorno de 10 años, se tienen problemas en el 11.8 % de total de vialidades de la ciudad, esto puede llegar a acrecentarse casi al doble (Tr 100 años)
- De acuerdo con el mapa de tirantes máximos se presentan para una lluvia vinculadaja un periodo de retorno de 10 años, en la ciudad de Chetumal se tiene tirantes del orden de 0.27 a 2.02 m.
- Se calcularon las áreas de inundación para una lluvia vinculada a un periodo de retorno de 10 años, con esto se tienen 15 colonias que requieren ser atendidas mediante obras estructurales que permitan mitigar las inundaciones que se presentan
- A pesar de la infraestructura pluvial que le ha construido, se tienen problemas de inundaciones debidas en gran parte a la configuración topográfica de la ciudad, sin embargo se requiere de más obras estructurales para poder mitigar el problema de las inundaciones.

Se requiere de un plan de rehabilitación de colectores pluviales debido a las obstrucciones por basura o colapso de la tubería que presenta recurrentemente.

8.14.1. RECOMENDACIONES

- Realizar un levantamiento topográfico a detalle de toda la zona urbana para poder detallar zonas más específicas de inundación, ya que se trabaja con un MDE de 20 x 20 m
- Terminar la construcción del canal que va de la Soriana y descargará al mar, que permita desalojar agua que se anega en la zona, mejorando el entorno del agua con la sociedad
- No realizar construcciones donde el mapa de tirantes máximos presentan manchas de inundación en áreas verdes, para evitar que se tengan más problemas urbanos en zonas donde se presentan problemas.
- A partir de los mapas de riesgo por inundación, establecer un plan de emergencias contra inundaciones en la zona urbanas de la ciudad, para poder reducir los problemas de inundación
- Evaluar la factibilidad de apoyo en la operación del canal de desalojo con la construcción de un tanque tormenta equipado con las bombas autocebantes, para amortiguar los volúmenes excedentes que se presentan en la zona de soriana











BIBLIOGRAFÍA

Bautista, F., Palacio-Aponte, G., Quintana, P., Zinck, J.A., 2011, Spatial distribution and development of soils in tropical karst areas from the Peninsula of Yucatan, Mexico: Geomorphology 135, 308-321.

Blair, R.W., 1986, Karst Landforms and Lakes (en linea)! NASA, Geomorphology from Space, Chapter 7, http://disc.gsfc.nasa.gov/geomorphology/.

Blum J.D., Chamberlain C.P., Hingstone M.P., Koeberl C., Marin L.E., Schuraytz B.C., Sharpton V.L., 1993, Isotopic comparison of K/T boundary impact glass with melt rock from the Chicxulub and Manson impact structures. Nature 364: 325-327.

Bonet, F., Butterlin, J. 1962, Stratigraphy of the northern part of the Yucatán Peninsula, Guide Book: Field Trip to Peninsula of Yucatan: USA, New Orleans, New Orleans Geologycal Society, 52-57.

Butterlin, J. (1958). Reconocimiento Geologico Preliminar del Territorio de Quintana Roo. IN SPANISH. Preliminary Geological Reconnaissance of The Quintana Roo Territory.

Campa, M. F., Coney, P. J., 1983, Tectono-stratigraphic terranes and mineral resource distributions in Mexico: Canadian Journal of Earth Sciences, 20, 1040–1051.

CAPA (2015A) Información resguardada en el área de planeación, Comisión de Agua Potable y Alcantarillado del estado de Quintana Roo.

CAPA (2015B) Información resguardada en la base de datos del área de técnica, Comisión de Agua Potable y Alcantarillado del estado de Quintana Roo.

CAPA (2015C) Información resguardada en la base de datos en la dirección de Gestión Ambiental, Comisión de Agua Potable y Alcantarillado del estado de Quintana Roo.

Castillo, V (2004). Chetumal: modelo de desarrollo urbano en el trópico húmedo mexicano. Revista Cesla 2004. Uniwersytet Warszawski, Polonia.

Cenapred (2004). Guía básica para la elaboración de atlas estatales y municipales de peligros y riesgos. Centro Nacional de Prevención de desastres, México D.F. pp. 380-390.









Cenapred (2010) Mapas de precipitación para diferentes duraciones y periodos de retorno. Centro Nacional de Prevención de Desastres, Secretaria de Gobernación, México DF.

Cisneros, R; García, F; y Lopez, M. (2008). Alcantarillado Sanitario y Pluvial para tuberías corrugadas de polietileno de alta densidad. Primera edición. Benemérita Universidad Autónoma de Puebla. México.

COESPO Quintana Roo (2013). Consejo Estatal de Población de Quintana Roo para el 2013. Coespo.qroo.gob.

Covadonga noticias (2012). Fuertes lluvias dejan inundaciones y caos en Chetumal. Recuperado el 16 de agosto del 2012 de covadonganoticias.com

Custodio, E. y M. R., Llamas (1976). "Hidrología Subterránea", Ediciones Omega, Barcelona.

Dengo, G.. 1985, Mid America; Tectonic setting for the pacific margin from southern Mexico to northwestern Colombia; in Nairn, A.E.M, Stehli, F.G.(eds.) The oceanic Basins and Margins, v. 7^a. The Racific Ocean: New York, Plenum Press, p. 123-180

Drisgoll, G.F. (1986). "Groundwater and Wells. Johnson Division, St. Paul, Minn."

El Diario de Yucatán (2013). Inundaciones en Chetumal por la onda tropical 15. Recuperado el 24 de agosto del 2013 de yucatan.com.mx

El informador.mx (2010). Tormenta "Karl" golpea costas mexicanas. Recuperado el 15 de septiembre del 2010 de www.informador.com.mx

El informador.mx (2011). Onda tropical provoca inundaciones en Chetumal. Recuperado el 19 de del 2011 de www.informador.com.mx

El Universal (2012). Chetumal, en riesgo de inundaciones: Clonagua. Recuperado el 23 de mayo del 2012 de archivo.eluniversal.com.mx

ERIC II (Extractor rápido de información climatológica v.2.0) (1999), Instituto Mexicano de Tecnología del Agua, versión disco compacto.

Flores, G. (1952). Geology of Northern British Honduras: GEOLOGICAL NOTES. AAPG Bulletin, 36(2), 404-409.









Fragoso-Servón, P., Bautista, F., Frausto, O., & Pereira, A. (2014). Caracterización de las depresiones kársticas (forma, tamaño y densidad) a escala 1: 50,000 y sus tipos de inundación en el Estado de Quintana Roo, México. Revista mexicana de ciencias geológicas, 31(1), 127-137.

Freeze, R. A., y J.A. Cherry (1979). Groundwater. Prentice-Hall, Inc. Englewood Cliffs, N.J.

Gestenhauer, Armin, 1969, Eln Karst morphologischer Vergleich zwischen, Florida and Yucatán: Verhandlungen der deutschen Geographentages, v. 36, p. 332-341.

Heath, R.C (1982). Basic Ground-Water-Hydrology. U.S. Geological Survey Water-Supply Paper 2220.

INEGI (Instituto Nacional de Estadística, Geografía e Informática) (2004), extraído de la página web http://www.inegi.gob.mx

INEGI. (2015). Instituto Nacional de Estadística, Geografía e Informática. Obtenido de http://www.inegi.gob.mx

Keppie, J. D., 2004, Terranes of Mexico revisited: 1.3 billion year odyssey: International Geology Review, 46, 765-794.

La jornada (2010). Riesgo de inundación en Chetumal. Recuperado el 30 de Septiembre del 2010 de www. jornada.unam.mx

Lugo-Hubp, H.J., Aceves-Quesada, J.F., Espinoza-Pereña, R., 1992, Rasgos geomorfológicos mayores de la Península de Yucatán: Universidad Nacional Autónoma de México, Instituto de Geología, Revista, 10(2), 143-150.

MAPAS (2015) Drenaje pluvial urbano, Manual de Agua Potable, Alcantarillado y Saneamiento. Comisión Nacional del Agua, México D.F.

MAPAS (2015A) Alcantarillado Sanitario, Manual de Agua Polable, Alcantarillado y Saneamiento. Libro 20. Comisión Nacional del Agua, México D.F.

MAPAS (2015B) Datos Básicos para Proyectos de Agua Potable y Alcantarillado, Manual de Agua Potable, Alcantarillado y Saneamiento. Libro 4. Comisión Nacional del Agua, México D.F.

Morán-Zenteno, D. J., Cerca, M., & Keppie, J. D. (2005). La evolución tectónica y magmática cenozoica del suroeste de México: avances y problemas de interpretación. Boletín de la Sociedad Geológica Mexicana,57(3), 319-341.









Ortega-Guitiérrez, F., Elies_Herrera, M., Reyes-Salas, M., Macias-Romo, C., López, R., 1999, Late Ordovician-Early Silurian continental collisional orogeny in southern Mexico and its bearing on Godwana-Laurentia connections: Geology. 27(8): p. 719-722.

Ortega-Guitiérrez, F., Solari L.A., Ortega-Obregón C., Elías-Herrera M. Martens U., Morán-Icál S., Chiquín M., Keppie D.J., Torres de León. Y Shaaf P., 2007, The Maya Chortis Boundarie: A tectonostratigraphic approach. International Geology Review, v. 49, p. 1-29.

PDU (2005) Programa de Desarrollo Urbano del municipio de Othón P. Blanco del estado de Quintana Roo 2005 .México

Ramos, E. L. (1975). Geological summary of the Yucatan Peninsula. In The Gulf of Mexico and the Caribbean (pp. 257-282). Springer US.

Ribera, L. R. (2004). Los mapas de riesgo de inundaciones; representación de la vulnerabilidad y aportación de las innovaciones tencológicas. Doc. Anál. Georg. 43, 18.

Rodríguez V., J. M., Maldonado S., J., Albornoz G. P. M., & Alcocer Y., V. H. (2012). Programa para el manejo del agua pluvial de la ciudad de Chetumal, Quintana Roo. Jiutepec, Morelos, clave interna HC1235.3: IMTA

Rodríguez J., Alcocer-Yamanaka V., Albornoz P., Santos R. y Llaguno O. (2015). Il studio de Riesgo de inundaciones en zonas urbanas de la República Mexicana. Jiutepec: Fondo Sectorial de Investigación y Desarrollo sobre el Agua, CONAGUA, CONACYT, IMTA

Sapper, R. (1894). Informe sobre la geografía física y la geología de los estados de Chiapas y Tabasco. Agricultura, Minería e Industria, Boletín, 3, 187-211.

SARH, (1990) "Sinopsis Geohidrológica del Estado de Quintana Roo", Secretaría de Agricultura y Recursos Hidráulicos; Comisión Nacional del Agua; Subdirección General de Administración del Agua; Gerencia de Aguas Subterráneas.

SDP noticias (2011). Reportan inundaciones en Chetumal tras lluvias. Recuperado el 18 de junio del 2001 de www.sdpnoticias.com









SEDUMA (2016) Programa de ordenamiento ecológico local. Secretaría de Desarrollo Urbano y Medio Ambiente, Municipio de Othón P. Blanco, Chetumal.

Sedlock, R. L., Ortega-Gutiérrez, F., Speed, C., 1993, Tectonostratigraphic terranes and tectonic evolution of Mexico: Boulder, Colorado, Geological Society of America, Special Paper, 278, 153 p.

SGM, 2005. Carta geológico-minera E16-4-7 (Chetumal) escala 1:250 000. Geología y Geoquímica del Servicio Geológico Mexicano.

